

Rotinas em GAUSS.

Simulação, Testes e Estimação de Processos Estocásticos

João Nicolau
ISEG/ULisboa & CEMAPRE
(Janeiro de 2018)

Conteúdo

1	Introdução	8
2	Análise Espectral [ana_esp]	9
2.1	estima_espectro	9
2.2	estima_espectro1	10
2.3	estima_periodograma	11
2.4	picos_sign	11
3	Binary Choice [bc]	13
3.1	probit_01	13
4	Bull & Bear[bull_bear]	14
4.1	break_ET	14
4.2	bull_bear_cycles_Lunde_Timmerman	15
4.3	identify_financial_crisis	16
4.4	create_dummies_financial_crisis	17
4.5	create_dummies_financial_crisis2	17
5	Cadeias de Markov Multivariadas	19
5.1	MMC_3D_eq	19
5.2	MMC_5D_eq	20
5.3	MMC_preve_cat2_D	21
5.4	MMC_preve_cat5_D	22
5.5	mult_MC_estima_cat_2	23
5.6	mult_MC_estima_cat_3	23
5.7	mult_MC_estima_cat_4	24
5.8	mult_MC_estima_cat_5	24
5.9	mult_MC_estima_cat_5_B	26
5.10	mult_MC_estima_cat_2_C	27
5.11	mult_MC_estima_cat_3_C	28
5.12	mult_MC_estima_cat_3_C_prevel	29
5.13	mult_MC_estima_cat_5_C	30
5.14	mult_MC_estima_cat_2_D	31
5.15	mult_MC_estima_cat_3_D	32
5.16	mult_MC_estima_cat_3_D_prevel	33

5.17	mult_MC_estima_cat_5_D	34
5.18	mult_MC_estima_cat_5_D_preve1	35
5.19	multivariate_Markov_Chain_01	36
5.20	prediction_accuracy	38
5.21	preve_cat_3	39
5.22	standard_MMCC	40
5.23	test_independ_cat5	42
5.24	testa_nulidade_CMM	43
6	Diagnóstico [diagnos]	44
6.1	diagn	44
6.2	teste_RU_ao_longo amostra	46
7	Estimação de Equações Diferenciais Estocásticas [est_edc]	47
7.1	bootstrap1	47
7.2	bootstrap2	48
7.3	drift_kernel1	49
7.4	drift_kernel2	51
7.5	est_dens_Dacunha_Florens1	52
7.6	est_dens_fmgeneous	53
7.7	est_dens_Nao_Param	54
7.8	flvsmn	56
7.9	inf_ind	58
7.10	kernel_fdp_G	58
7.11	kernel_fdp_U	59
7.12	mv_inhomogeneous_BKM	59
7.13	mv_inhomogeneous_GBM	60
7.14	mv_inhomogeneous_ornstein	61
7.15	mv_mbg	62
7.16	mv_ornstein	63
7.17	mv_simulado_edc1	63
7.18	mv_simulado_edc2	65
7.19	mvs_pederson	66
7.20	pmv_cir	67
7.21	pmv_mom	68
7.22	pmv_s	71
7.23	pmv_vol_quad	72
7.24	pmvEuler	73
7.25	rs_tc_1	74
7.26	rs_tc_1a	75
7.27	rs_tc_2	76
7.28	rs_tc_3	77
7.29	rs_tc_4	78
7.30	rs_tc_5	79
7.31	var_kernel1	80
7.32	var_kernel2	81
7.33	var_kernel3	82
7.34	var_kernel4	83
7.35	var_kernel5	85
7.36	var_kernel6	86
7.37	var_kernel7	87

7.38 vqe_tc1	88
7.39 vqe_tc2	90
7.40 vq_tc3	91
7.41 vq_tc4	93
8 Estimação de Equações em Tempo Discreto[est_etd]	95
8.1 empirical_CDF	95
8.2 estima_arma11_hetero_1	95
8.3 estima_brw_01	97
8.4 estima_brw_01B	99
8.5 estima_brw_02	101
8.6 estima_categorical_TS_1	102
8.7 estima_CM	103
8.8 estima_CM1	104
8.9 estima_estar_1	105
8.10 estima_fdpKG	106
8.11 misture_normal_01	107
8.12 estima_nao_linear_01	107
8.13 estima_TAR_2Regimes	108
8.14 estima_TAR_3Regimes	109
8.15 EWMA_Multivariado	111
8.16 hac_estimator	112
8.17 hac_estimator_whitening	114
8.18 med_cond	115
8.19 med_cond1	115
8.20 med_cond2	117
8.21 Mult_GARCH11	118
8.22 normal_garch	120
8.23 pal_exponencial	121
8.24 pal_linear0	122
8.25 pal_linear1	123
8.26 pal_garch1	124
8.27 rs_td_1	125
8.28 rs_td_2	126
8.29 rs_td_2AR	128
8.30 rs_td_3	130
8.31 rs_td_4	131
8.32 rs_td_5	132
8.33 smoothed_probabilities	133
8.34 tStudent_1	134
8.35 tstudent_garch	135
8.36 var_cond	136
8.37 vq_td	137
8.38 vqe_td	138
8.39 vqe_td1	139
8.40 vqe_td2	140

9 Expected Time [ET]	142
9.1 bootstrap_block	142
9.2 bootstrap_ET	143
9.3 build_seq_123	145
9.4 expected_time	146
9.5 expected_time2	147
9.6 expected_time3	148
10 Histogram Time Series [hts]	149
10.1 bins_same_width	149
10.2 barycentric_histogram_v1	149
10.3 barycentric_histogram_v2	151
10.4 cdf_histogram	151
10.5 inverse_cdf_histogram	152
10.6 kernel_densityHTS	153
10.7 Mallows_distance	154
10.8 Mallows_distance_n	154
10.9 obtain_z_from_n_histograms	156
10.10 standardise_intervals	156
11 QORegression [qor]	159
11.1 QOR_II	159
12 Portfolio [portf]	161
12.1 portfolio_01	161
13 Realized Volatility [realvol]	162
13.1 CTS_1	162
13.2 CTS_1	162
13.3 dummies_int_rates	163
13.4 get_time_series_CTS_1	164
13.5 out_detection	165
13.6 real_covariance	166
13.7 real_vol_01	168
13.8 real_vol_WMY	168
13.9 real_volatility	170
13.10 RV_CTS_1	171
13.11 RV_CTS_2	172
14 Simula Equações Diferenciais Estocásticas [sim_edc]	173
14.1 cir	173
14.2 euler	173
14.3 euler1	175
14.4 euler2	176
14.5 euler_M2	176
14.6 mbg	178
14.7 mbg1	178
14.8 milstein	179
14.9 milstein1	180
14.10 milstein2	181
14.11 ornstein	181

14.12platen	182
14.13simula_b_bridge	183
14.14simula_b_bridge2	184
14.15simula_inhomogeneous_BKM	185
14.16simula_inhomogeneous_GBM	185
14.17simula_inhomogeneous_ornstein	186
14.18simula_rs_ornstein_ornstein	187
14.19simula_rs_ornstein_ornstein_1	188
14.20simula_Wiener	190
15 Simula Outros Processos Estocásticos [sim_ope]	191
15.1 cad_markov_TC	191
15.2 cad_markov_TD	192
15.3 cad_markov_TD_2	193
15.4 graph_BRW_01	194
15.5 graph_BRW_vs_ESTAR_1	195
15.6 graph_ESTAR_01	196
15.7 sim_setar_2R	197
15.8 sim_setar_3R	198
15.9 simula_AR1_beta	199
15.10simula_ARFIMA	200
15.11simula_Burr	201
15.12simula_brw_01	202
15.13simula_chauchy	204
15.14simula_diagonal_VECH	205
15.15simula_disc_dist	207
15.16simula_estar_1	208
15.17simula_F	210
15.18simula_GARCH11	211
15.19simula_GARCHpq	211
15.20simula_MMCI	213
15.21simula_MMCI2	215
15.22simula_palgarch	216
15.23simula_Pareto	217
15.24simula_paretoII	218
15.25simula_Poisson	219
15.26simula_RS_GARCH	219
15.27simula_stable_dist	221
15.28simula_stock_prices	222
15.29simula_tStudent	222
15.30simula_VAR1	223
15.31simula_varp	225
16 Testes [testes]	226
16.1 bds	226
16.2 change_break	227
16.3 goodnessfit	228
16.4 log_periodogram	229
16.5 lm_robinson	231
16.6 moses_test	232
16.7 runs_test	233

16.8 test_TAR1	233
16.9 teste_media_binomial	234
16.10testing_independence_01	235
16.11testing_linearity_01	236
17 Teoria dos Valores Extremos [tve]	238
17.1 dep_measure1	238
17.2 dep_measure2	239
17.3 estima_GEV	241
17.4 estimador_hill	242
17.5 reg_rank_size	243
17.6 reg_1	244
17.7 ParetoX_01	245
17.8 ParetoX_02	246
18 User [.]	247
18.1 binomial	247
18.2 delta_kron	247
18.3 gradp1	248
18.4 gradp2	248
18.5 seqal1	250
19 Utilidades [util]	251
19.1 acerta_datas_2	251
19.2 acerta_datas_3	251
19.3 acerta_datas_5	252
19.4 acerta_datas_10	253
19.5 agrega_observ_media_01	254
19.6 agrega_observ_media_02	255
19.7 arctanh	255
19.8 bootstrap	256
19.9 bootstrap1	256
19.10categoriza_01	257
19.11categoriza_02	258
19.12com	259
19.13convert_daily_to_monthly1	260
19.14cross_corr	260
19.15cumulative_chi_square_noncentral	261
19.16desfas1	263
19.17desfas2	263
19.18desfas3	264
19.19desfas4	265
19.20est_desc	265
19.21erf1	266
19.22erfi	266
19.23frequencias	267
19.24funções	268
19.25ierf	269
19.26cdf_logistic	270
19.27lngammaif	270
19.28max_mensal	271

19.29mod_bessel_1	271
19.30momentos_moveis	272
19.31rnd_int	272
19.32select1	273
19.33triang	274
19.34var_dummy	274
20 Value at Risk [var]	276
20.1 hybrid_approach_01	276
21 Outros [...]	277
21.1 Qreg	277
21.2 kpss	278
21.3 gera_AR	278
22 Anexos	281
22.1 Gráficos pgraph	281
22.2 Gráficos plot	283
22.2.1 Hip 1	283
22.2.2 Hip 2	283

1 Introdução

GAUSS é uma linguagem de programação similar às linguagens C e Pascal mas concebida especialmente para trabalhar com matrizes. Estão disponíveis inúmeros procedimentos e programas (muitos deles cedidos gratuitamente, via Internet), a maioria na área da estatística e econometria. O programa é comercializado pela Aptech Systems, Inc. (<http://www.aptech.com>).

Nota Importante: todas as rotinas foram criadas pelo autor; embora testadas, não se oferece garantia de qualquer espécie. Deverá o utilizador testar e verificar se as rotinas funcionam adequadamente. A utilização das rotinas em trabalhos publicados implica a referência a este documento. Está vedado o uso destas rotinas para efeitos comerciais.

2 Análise Espectral [ana_esp]

2.1 estima_espectro

► Objectivo

Estimar o espectro através da seguinte expressão

$$\hat{f}_W(\omega_j) = \sum_{k=-h}^h \left(\frac{h+1-|k|}{(h+1)^2} \right) \hat{f}(\omega_j)$$

onde $\hat{f}(\omega_j)$ é a estimativa do periodograma.

► Formato

{w, fw} = estima_espectro(w, I, h, graf);

► Input

w: $\omega_k = 2\pi k/n$, $k = 0, \dots, [n/2]$ (n é o número de observações)

I: Periodograma $I(\omega_k)$

h: bandwidth {1,2,...}

graf: se graf = 1 apresenta-se o gráfico de X e o do periodograma

► Output

w: $\omega_k = 2\pi k/n$, $k = 0, \dots, [n/2]$ (n é o número de observações)

fw: Espectro Estimado

► Library

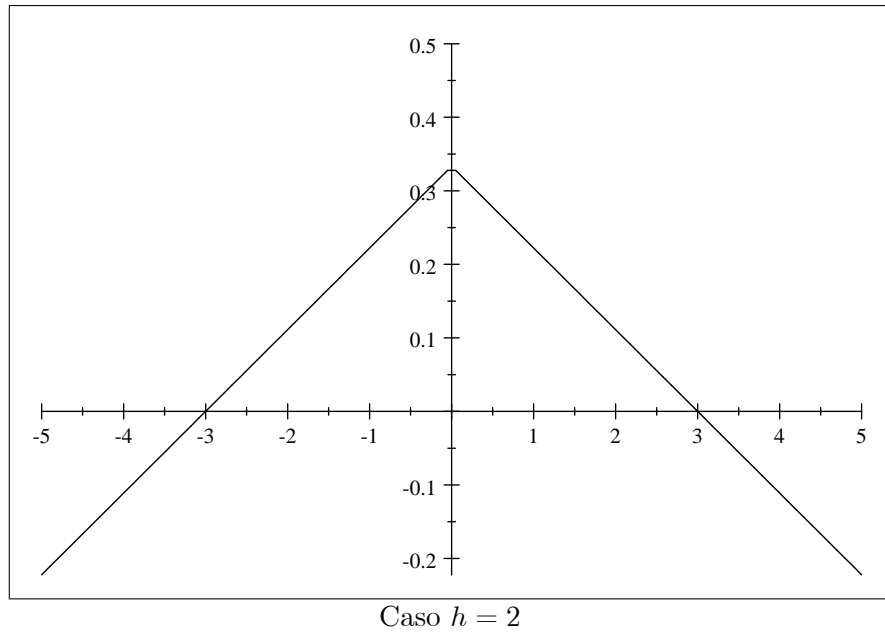
library ana_esp;

► Fonte

c:\gauss\srcnic\ana_esp\estimacao.src

► Observações

Apresenta-se na figura seguinte a estrutura de ponderações $\left(\frac{h+1-|k|}{(h+1)^2} \right)$ no caso $h = 2$.



2.2 estima_espectro1

► Objectivo

Apresentar graficamente o espectro estimado através da seguinte expressão

$$\hat{f}_W(\omega_j) = \sum_{k=-h}^h \left(\frac{h+1-|k|}{(h+1)^2} \right) \hat{f}(\omega_j)$$

onde $\hat{f}(\omega_j)$ é a estimativa do periodograma, usando os valores $h = 0, 2, 4, 6, 8, 10, 12, 14, 16$.

► Formato

call estima_espectro1(w,I);

► Input

w: $\omega_k = 2\pi k/n$, $k = 0, \dots, [n/2]$ (n é o número de observações)

I: Periodograma $I(\omega_k)$

► Output

Apresenta nove gráficos numa única folha.

► Library

library ana_esp;

► Fonte

c:\gauss\srcnic\ana_esp\estimacao.src

2.3 estima_periodograma

► Objectivo

O nome diz tudo.

► Formato

```
{w,I}=estima_periodograma(x,graf);
```

► Input

x: vetor das observações do processo.

graf: se graf = 1 apresenta-se o gráfico de X e o do periodograma

► Output

w: $\omega_k = 2\pi k/n$, $k = 0, \dots, [n/2]$ (n é o número de observações)

I: Periodograma $I(\omega_k)$ equação 12.1.14 de W.Wei)

► Library

```
library ana_esp;
```

► Fonte

c:\gauss\srcnic\ana_esp\estimacao.src

2.4 picos_sign

► Objectivo

Avaliar a significância dos maiores picos do periodograma (usa-se a expressão 12.1.21).

► Formato

```
call picos_sign(p,w,I);
```

► Input

p: número de picos que se pretende analisar

w: $\omega_k = 2\pi k/n$, $k = 0, \dots, [n/2]$

I: Periodograma $I(\omega_k)$, $k = 0, \dots, [n/2]$

► **Output**

Apresenta-se uma tabela com as seguintes colunas: Freq, Periodograma, Periodo, pvalue (aprox.)

► **Library**

```
library ana_esp;
```

► **Fonte**

```
c:\gauss\srcnic\ana_esp\estimacao.src;
```

3 Binary Choice [bc]

3.1 probit_01

► Objectivo

► Formato

```
{beta,f,cov,retcode}=probit_01(x,b0);
```

► Input

x: matriz de ordem $n \times (K + 1)$. Primeira coluna: variável binaria dependente; restantes variáveis: variáveis explicativas.

```
b0 = 0.1*ones(cols(x),1);
```

► Output

► Library

```
library bc,cml;
```

► Observações

► Fonte

```
c:\gauss\srcnic\binary_choice\models.src
```

4 Bull & Bear[bull_bear]

4.1 break_ET

► Purpose

From Nicolau (2016). Structural Change Test in Duration of Bull and Bear Markets:

“We propose a recursive test, derived from the fluctuations test of Ploberger-Kramer-Kontrus, with a finite sample adjustment, to test possible structural changes in duration of bull and bear markets.”

► Format

{Q2,sup_Q2,ET}=break_MC(S,estado,w);

► Input

S: $n \times 1$ state space $\{1, 2\}$ or $\{0, 1\}$

estado: indicates the state in which is test is applied

w: start-up value

► Output

Q2: $n \times 1$ sequence $Q_{i,n}([rn]) = \sqrt{\frac{[rn]-w}{n-w}} \frac{\sqrt{[rn]}}{\hat{\sigma}_i} (\hat{\theta}_{i,[rn]} - \hat{\theta}_{i,n})$, $i = 0, 1$ (the first w values are zero)

sup_Q2: $\max Q_{i,n}([rn])$

ET: $n \times 1$ expected time (assuming a first order MC)

► Library

library bull_bear;

► Fonte

c:\gauss\srcnic\bull_bear\rules.src

4.2 bull_bear_cycles_Lunde_Timmerman

► Purpose

Estimate Bull and Bear markets using the methodology of Lunde, A., & Timmermann, A. (2012). Duration dependence in stock prices. Journal of Business & Economic Statistics.

► Format

```
S= bull_bear_cycles_Lunde_Timmerman(p,lambda1,lambda2);
```

► Input

p: $n \times 1$ prices (not the log-prices)

lambda1: See Lunde and Timmermann. Common value 0.20

lambda2: See Lunde and Timmermann. Common value 0.15

► Output

S: $S = 2$ bull, $S = 1$ bear

► Library

```
library bull_bear;
```

► Fonte

```
c:\gauss\srcnic\bull_bear\rules.src
```

4.3 identify_financial_crisis

► **Objective**

VER create_dummies_financial_crisis(p,min0);

► **Formato**

{t0,t1,min,rA,x}=identify_financial_crisis (begins,ends,p);

► **Input**

► **Output**

► **Library**

library bull_bear;

► **Fonte**

c:\gauss\srcnic\bull_bear\rules.src

4.4 create_dummies_financial_crisis

► Objective

► Format

```
{w,d}=create_dummies_financial_crisis(p,min);
```

► Input

p: vector of prices $n \times 1$

min: scalar. The dummy variable takes on 1 in all the periods in which the return in percentage is lower than min

► Output

w: 4 columns: begins ~ends ~return ~return annualized. This matrix presents all-time low prices (begin date, end date and the associated returns)

d: dummy variable $n \times 1$

► Library

```
library bull_bear,pgraph;
```

► Source

```
c:\gauss\srcnic\bull_bear\rules.src
```

4.5 create_dummies_financial_crisis2

► Objective

► Format

```
{w,d,d_}=create_dummies_financial_crisis2(p,min,m);
```

► Input

p: vector of prices $n \times 1$

min: scalar. The dummy variable takes on 1 in all period in which the return in percentage is lower than min

m: m={1 2, 3 3,4 4} d_=d[.,1]+d[.,2] ~d[.,3] ~d[.,4]

► Output

w: 4 columns: begins ~ends ~return ~return annualized. This matrix presents all-time low prices (begin date, end date and the associated returns)

d: dummy variable $n \times 1$

d_: dummy variable $n \times \text{rows}(m)$

► **Library**

```
library bull_bear,pgraph;
```

► **Source**

```
c:\gauss\srcnic\bull_bear\rules.src
```

5 Cadeias de Markov Multivariadas

5.1 MMC_3D_eq

► Purpose

Estimates the parameters η_{ji} of the equation

$$P(S_{jt} = k | S_{1,t-1} = i_1, S_{2,t-1} = i_s) \\ = \frac{\Phi(\eta_{j0} + \eta_{j1}P(S_{jt} = k | S_{1,t-1} = i_1) + \eta_{j2}P(S_{jt} = k | S_{1,t-1} = i_2) + \eta_{j3}P(S_{jt} = k | S_{3,t-1} = i_3))}{\sum_{i=1}^m \Phi(\eta_{j0} + \eta_{j1}P(S_{jt} = i | S_{1,t-1} = i_1) + \eta_{j2}P(S_{jt} = i | S_{1,t-1} = i_2) + \eta_{j3}P(S_{jt} = i | S_{3,t-1} = i_3))}$$

using the maximum likelihood method (three categorical data). j is chosen by us.

► Format

```
{b,cov,logfv}= MMC_3D_eq(S,P,equation);
```

► Input

S: $n \times 3$ matrix, where n is the number of observations. Each element of S take values in the set $\{1, 2, \dots, m\}$.

P: P is obtained after running the code $\{f,p,x0\}=\text{multivariate_Markov_Chain_01}(S)$;

equation: scalar j , one element of the set $\{1, 2, 3\}$

► Output

b: Estimates of $\eta_{j0}, \eta_{j1}, \eta_{j2}, \eta_{j3}$ where j is defined according to input “equation”

cov:

logfv:

► Library

```
library cmm,cml;
```

► Fonte

```
c:\gauss\srcnic\cmm\estima4.src
```

5.2 MMC_5D_eq

► Purpose

Estimates the parameters η_{ji} of the equation

$$P(S_{jt} = k | S_{1,t-1} = i_1, \dots, S_{s,t-1} = i_s) \\ = p_{jk} = \frac{\Phi(\lambda_{j0} + \lambda_{j1}P(S_{jt} = k | S_{1,t-1} = i_1) + \dots + \lambda_{js}P(S_{jt} = k | S_{s,t-1} = i_s))}{\sum_{i=1}^m \Phi(\lambda_{j0} + \lambda_{j1}P(S_{jt} = i | S_{1,t-1} = i_1) + \dots + \lambda_{js}P(S_{jt} = i | S_{s,t-1} = i_s))}$$

using the maximum likelihood method (five categorical data). j is chosen by us.

► Format

```
{b,cov,logfv}= MMC_5D_eq(S,P,equation,b0);
```

► Input

S: $n \times 5$ matrix, where n is the number of observations. Each element of S take values in the set $\{1, 2, \dots, m\}$.

P: P is obtained after running the code $\{f,p,x0\}=\text{multivariate_Markov_Chain_01}(S)$;

equation: scalar j , one element of the set $\{1, 2, 3, 4, 5\}$

b0: 6×1 vector. If $b0=0$ all parameters are initialized with zero

► Output

b: Estimates of $\eta_{j0}, \eta_{j1}, \eta_{j2}, \dots, \eta_{j5}$ where j is defined according to input “equation”

cov:

logfv:

► Library

```
library cmm,cml;
```

► Fonte

```
c:\gauss\srcnic\cmm\estima4.src
```

5.3 MMC_preve_cat2_D

► Purpose

To calculate

$$\begin{aligned} & P(S_{j,t+h} = i_0 | S_{1t} = i_1, S_{2t} = i_2) \\ &= \frac{\Phi(\eta_{j0} + \eta_{j1}P(S_{j,t+h} = i_0 | S_{1t} = i_1) + \eta_{j2}P(S_{j,t+h} = i_0 | S_{2,t} = i_2))}{\sum_{k=1}^m \Phi(\eta_{j0} + \eta_{j1}P(S_{j,t+h} = i_0 | S_{1t} = i_1) + \eta_{j2}P(S_{j,t+h} = i_0 | S_{2,t} = i_2))} \end{aligned}$$

This expression requires

$$P(S_{j,t+h} = i_0 | S_{kt} = i_k) = \sum_{\alpha=1}^m P(S_{j,t+h} = i_0 | S_{k,t+h-1} = \alpha) P(S_{k,t+h-1} = \alpha | S_{kt} = i_k).$$

This expression is equal to the element (i_0, i_k) of the matrix product $P^{(jk)} (P^{(kk)})^{h-1}$ where $P^{(jk)}$ is a matrix with elements $P(S_{jt} = i_0 | S_{k,t-1} = i_k)$.

► Format

```
{preve1,preve2,s_preve1,s_preve2}=MMC_preve_cat2_D(b1,b2,P,s0,h);
```

► Input

b1: Is obtained from the code {b1,cov1,b2,cov2,prob}=mult_MC_estima_cat_2_D(S,P);

b2: Is obtained from the same code.

P: P is obtained after running {f,p,x0}=multivariate_Markov_Chain_01(S);

s0: vector (i_1, i_2) , where these elements are such that $S_{1,t} = i_1, S_{2,t} = i_2$ ($i_1, i_2 = 1, 2, \dots, m$)

► Output

preve1: $h \times m$ matrix associated with the forecasting of $S_{1,t+h}$. For example, the element (5, 2) represents

$$P(S_{1,t+5} = 2 | S_{1,t} = i_1, S_{2,t} = i_2)$$

preve2: $h \times m$ matrix associated with the forecasting of $S_{2,t+h}$. For example, the element (10, 3) represents

$$P(S_{2,t+10} = 3 | S_{1,t} = i_1, S_{2,t} = i_2)$$

s_preve1: $h \times 1$ gives the most likely state of $S_{1,t+h}$ (1 or 2 or ...m) for each h

s_preve2: $h \times 1$ gives the most likely state of $S_{2,t+h}$ (1 or 2 or ...m) for each h

► Library

library cmm;

► Fonte

c:\gauss\srcnic\cmm\preve.src

5.4 MMC_preve_cat5_D

► Purpose

Similar to MMC_preve_cat2_D, but for 5 categories.

► Format

{preve,s_preve}=MMC_preve_cat5_D(b1,P,s0,h);

► Input

b1: Is obtained from the code {b1,cov,logfv}= MMC_5D_eq(S,P,1);

P: P is obtained after running {f,p,x0}=multivariate_Markov_Chain_01(S);

s0: vector $(i_1, i_2, i_3, i_4, i_5)$, where these elements are such that $S_{1,t} = i_1, S_{2,t} = i_2, \dots, S_{5,t} = i_5$ ($i_1, i_2 = 1, 2, \dots, m$)

h:

► Output

preve: $h \times m$ matrix associated with the forecasting of $S_{1,t+h}$. For example, the element (5, 2) represents

$$P(S_{1,t+5} = 2 | S_{1,t} = i_1, S_{2,t} = i_2, \dots, S_{5,t} = i_5)$$

s_preve1: $h \times 1$ gives the most likely state of $S_{1,t+h}$ (1 or 2 or ...m) for each h

► Library

library cmm;

► Fonte

c:\gauss\srcnic\cmm\preve.src

5.5 mult_MC_estima_cat_2

► Objectivo

Estimar o modelo

$$E\left(\mathbf{x}_t^{(j)} \mid \mathcal{F}_{t-1}\right) = \lambda_{j1} \mathbf{P}^{(j1)} \mathbf{x}_{t-1}^{(1)} + \lambda_{j2} \mathbf{P}^{(j2)} \mathbf{x}_{t-1}^{(2)}, \quad j = 1, 2$$

► Formato

{b1,b2,f,cov1,cov2}=mult_MC_estima_cat_2(S0,P);

► Input

S0: Matrix de tipo $n \times 2$. A matrix $S0$ assume valores no conjunto $M = \{1, 2, \dots, m\}$. (usar a rotina categoriza_01).

P: obter P através da rotina {f,p,x0}=multivariate_Markov_Chain_01(S0);

► Output

b1: estimativas de λ_{11} e λ_{12}

b2: estimativas de λ_{21} e λ_{22}

f:

cov1:

cov2.

► Library

library cmm,cml;

► Fonte

c:\gauss\srcnic\cmm\estima0.src

5.6 mult_MC_estima_cat_3

► Objectivo

Estimar o modelo

$$E\left(\mathbf{x}_t^{(j)} \mid \mathcal{F}_{t-1}\right) = \lambda_{j1} \mathbf{P}^{(j1)} \mathbf{x}_{t-1}^{(1)} + \lambda_{j2} \mathbf{P}^{(j2)} \mathbf{x}_{t-1}^{(2)} + \lambda_{j3} \mathbf{P}^{(j3)} \mathbf{x}_{t-1}^{(3)}, \quad j = 1, 2, 3$$

► Formato

{b1,b2,b3,f,cov1,cov2,cov3,corr}=mult_MC_estima_cat_3(S0,P);

► Input

S0: Matrix de tipo $n \times 3$. A matrix $S0$ assume valores no conjunto $M = \{1, 2, \dots, m\}$.

P: obter P através da rotina {f,p,x0}=multivariate_Markov_Chain_01(S0);

► **Output**

► **Library**

```
library cmm,cml;
```

► **Fonte**

c:\gauss\srcnic\cmm\estim1.src

5.7 mult_MC_estima_cat_4

► **Objectivo**

Estimar o modelo

$$E\left(\mathbf{x}_t^{(j)} \mid \mathcal{F}_{t-1}\right) = \lambda_{j1} \mathbf{P}^{(j1)} \mathbf{x}_{t-1}^{(1)} + \dots + \lambda_{j4} \mathbf{P}^{(j4)} \mathbf{x}_{t-1}^{(4)}, \quad j = 1, \dots, 4$$

► **Formato**

{b1,b2,b3,b4,f,cov1,cov2,cov3,cov4}=mult_MC_estima_cat_4(S0,P);

► **Input**

S0: Matrix de tipo $n \times 4$. A matrix $S0$ assume valores no conjunto $M = \{1, 2, \dots, m\}$.

P: obter P através da rotina {f,p,x0}=multivariate_Markov_Chain_01(S0);

► **Output**

► **Library**

```
library cmm,cml;
```

► **Fonte**

c:\gauss\srcnic\cmm\estim1.src

5.8 mult_MC_estima_cat_5

► **Objectivo**

Estimar o modelo

$$E\left(\mathbf{x}_t^{(j)} \mid \mathcal{F}_{t-1}\right) = \lambda_{j1} \mathbf{P}^{(j1)} \mathbf{x}_{t-1}^{(1)} + \dots + \lambda_{j5} \mathbf{P}^{(j5)} \mathbf{x}_{t-1}^{(5)}, \quad j = 1, \dots, 5$$

► **Formato**

$\{b1, b2, b3, b4, b5, y1, y2, y3, y4, y5, cov1, cov2, cov3, cov4, cov5\} = \text{mult_MC_estima_cat_5}(S0, P);$

► **Input**

S0: Matrix de tipo $n \times 5$. A matrix $S0$ assume valores no conjunto $M = \{1, 2, \dots, m\}$.

P: obter P através da rotina $\{f, p, x0\} = \text{multivariate_Markov_Chain_01}(S0);$

► **Output**

y1: Vetor $nm \times 2$ (observações versus estimativas)

► **Library**

```
library cmm,cml;
```

► **Fonte**

```
c:\gauss\srcnic\cmm\estima1.src
```

5.9 mult_MC_estima_cat_5_B

► Objectivo

Estimar o modelo

$$E\left(\mathbf{x}_t^{(j)} \mid \mathcal{F}_{t-1}\right) = \Phi\left(\lambda_{j1}\mathbf{P}^{(j1)}\mathbf{x}_{t-1}^{(1)} + \dots + \lambda_{j5}\mathbf{P}^{(j5)}\mathbf{x}_{t-1}^{(5)}\right), \quad j = 1, \dots, 5$$

assumindo

$$\mathbf{x}_t^{(j)} \mid \mathcal{F}_{t-1} \sim Bernoulli\left(\Phi\left(\lambda_{j1}\mathbf{P}^{(j1)}\mathbf{x}_{t-1}^{(1)} + \dots + \lambda_{j5}\mathbf{P}^{(j5)}\mathbf{x}_{t-1}^{(5)}\right)\right).$$

ATENÇÃO PROBABILIDADES NÃO SOMAM 1 ...

► Formato

{b1,b2,b3,b4,b5,y1,y2,y3,y4,y5,cov1,cov2,cov3,cov4,cov5}=mult_MC_estima_cat_5_B(S0,P);

► Input

S0: Matrix de tipo $n \times 5$. A matrix $S0$ assume valores no conjunto $M = \{1, 2, \dots, m\}$.

P: obter P através da rotina {f,p,x0}=multivariate_Markov_Chain_01(S0);

► Output

y1: Vetor $nm \times 2$ (observações versus estimativas)

► Library

```
library cmm,cml;
```

► Fonte

```
c:\gauss\srcnic\cmm\estima2.src
```

5.10 mult _ MC _ estima _ cat _ 2 _ C

► **Objectivo**

► **Formato**

► **Input**

S0: Matrix de tipo $n \times 5$. A matrix S assume valores no conjunto $M = \{1, 2, \dots, m\}$.

P: obter P através da rotina $\{f, p, x_0\} = \text{multivariate_Markov_Chain_01}(S_0)$;

► **Output**

► **Library**

```
library cmm,cml;
```

► **Fonte**

```
c:\gauss\srcnic\cmm\estima3.src
```

5.11 mult_MC_estima_cat_3_C

► Purpose

Estimates the parameters λ_{ji} of the equation

$$P(S_{jt} = k | S_{1,t-1} = i_1, S_{2,t-1} = i_s) = \lambda_{j1} P(S_{jt} = k | S_{1,t-1} = i_1) + \lambda_{j2} P(S_{jt} = k | S_{2,t-1} = i_2) + \lambda_{j3} P(S_{jt} = k | S_{3,t-1} = i_3)$$

using the maximum likelihood method (three categorical data).

► Format

```
{a1,cov1,a2,cov2,a3,cov3}= mult_MC_estima_cat_3_C(S,P);
```

► Input

S: $n \times 3$ matrix, where n is the number of observations. Each element of S take values in the set $\{1, 2, \dots, m\}$.

P: P is obtained after running the code {f,p,x0}=multivariate_Markov_Chain_01(S);

► Output

a1: Estimates of $\lambda_{11}, \lambda_{12}, \lambda_{13}$

cov1: Covariance Matrix of $\hat{\lambda}_{11}, \hat{\lambda}_{12}, \hat{\lambda}_{13}$

a2: Estimates of $\lambda_{21}, \lambda_{22}, \lambda_{23}$

cov2: Covariance Matrix of $\hat{\lambda}_{21}, \hat{\lambda}_{22}, \hat{\lambda}_{23}$

a3: Estimates of $\lambda_{31}, \lambda_{32}, \lambda_{33}$

cov3: Covariance Matrix of $\hat{\lambda}_{31}, \hat{\lambda}_{32}, \hat{\lambda}_{33}$

► Library

```
library cmm,cml;
```

► Fonte

```
c:\gauss\srcnic\cmm\estima3.src
```

5.12 mult_MC_estima_cat_3_C_preve1

► Objectivo

Preve

$$P(S_{jt} = k | S_{1,t-1} = i_1, S_{2,t-1} = i_s) = \lambda_{j1} P(S_{jt} = k | S_{1,t-1} = i_1) + \lambda_{j2} P(S_{jt} = k | S_{2,t-1} = i_2) + \lambda_{j3} P(S_{jt}$$

dada a informação

$$S0 = \begin{bmatrix} S_{1,t-1} \\ S_{2,t-1} \\ S_{3,t-1} \end{bmatrix} = \begin{bmatrix} i_1 \\ i_2 \\ i_3 \end{bmatrix}, \quad i_1, i_2, i_3 \in \{1, \dots, m\}$$

► Formato

```
prob=mult_MC_estima_cat_3_C_preve1(b,P,s,equation);
```

► Input

b: vetor $\hat{\lambda}_{j1}, \dots, \hat{\lambda}_{jm}$ obtido através da rotina "mult_MC_estima_cat_3_D"

P: obter P através da rotina {f,p,x0}=multivariate_Markov_Chain_01(S);

S: Vector de tipo 3×1 . A matrix S assume valores no conjunto $M = \{1, 2, \dots, m\}$.

equation: escalar pertencente ao conjunto $\{1, 2, 3\}$ (3 equações). Deve ser compatível com a informação **b**

► Output

► Library

```
library cmm;
```

► Fonte

```
c:\gauss\srcnic\cmm\estima3.src
```

5.13 mult_MC_estima_cat_5_C

► Objectivo

Estima MMC sob a hipótese

$$P(S_{jt} = k | S_{1,t-1} = i_1, \dots, S_{s,t-1} = i_s) = \lambda_{j1} P(S_{jt} = k | S_{1,t-1} = i_1) + \dots + \lambda_{js} P(S_{jt} = k | S_{s,t-1} = i_s)$$

i.e.

$$E\left(\mathbf{x}_t^{(j)} \mid \mathcal{F}_{t-1}\right) = \lambda_{j1} \mathbf{P}^{(j1)} \mathbf{x}_{t-1}^{(1)} + \dots + \lambda_{j5} \mathbf{P}^{(j5)} \mathbf{x}_{t-1}^{(5)}, \quad j = 1, \dots, 5$$

através do método da máxima verosimilhança: (confirmar****)

$$\begin{aligned} & \max_{\lambda_{1j} \in (0,1)} \sum_{i_5 i_4 i_3 i_2 i_1 i_0}^m n_{i_5 i_4 i_3 i_2 i_1} \log \left(\sum_{j=1}^5 \lambda_{1j} P(S_{jt} = 1 | S_{j,t-1} = j) \right) \\ & \dots \\ & \max_{\lambda_{5j} \in (0,1)} \sum_{i_5 i_4 i_3 i_2 i_1 i_0}^m n_{i_5 i_4 i_3 i_2 i_1} \log \left(\sum_{j=1}^5 \lambda_{5j} P(S_{jt} = 5 | S_{j,t-1} = j) \right) \end{aligned}$$

► Formato

{b1,cov1,b2,cov2,b3,cov3,b4,cov4,b5,cov5}=mult_MC_estima_cat_5_C(S,P);

► Input

S0: Matrix de tipo $n \times 5$. A matrix S assume valores no conjunto $M = \{1, 2, \dots, m\}$.

P: obter P através da rotina {f,p,x0}=multivariate_Markov_Chain_01(S0);

► Output

► Library

```
library cmm,cml;
```

► Fonte

c:\gauss\srcnic\cmm\estima3.src

5.14 mult_MC_estima_cat_2_D

► **Objectivo**

► **Formato**

{b1,cov1,b2,cov2,prob}=mult_MC_estima_cat_2_D(S,P);

► **Input**

S:

P: obter P através da rotina {f,p,x0}=multivariate_Markov_Chain_01(S);

► **Output**

► **Library**

library cmm,cml;

► **Fonte**

c:\gauss\srcnic\cmm\estima4.src

5.15 mult _ MC _ estima _ cat _ 3 _ D

► Purpose

Estimates the parameters η_{ji} of the equation

$$P(S_{jt} = k | S_{1,t-1} = i_1, S_{2,t-1} = i_s) = \frac{\Phi(\eta_{j0} + \eta_{j1}P(S_{jt} = k | S_{1,t-1} = i_1) + \eta_{j2}P(S_{jt} = k | S_{1,t-1} = i_2))}{\sum_{i=1}^m \Phi(\eta_{j0} + \eta_{j1}P(S_{jt} = i | S_{1,t-1} = i_1) + \eta_{j2}P(S_{jt} = i | S_{1,t-1} = i_2))}$$

using the maximum likelihood method (three categorical data).

► Format

```
{a1,cov1,a2,cov2,a3,cov3,prob}= mult _ MC _ estima _ cat _ 3 _ D(S,P);
```

► Input

S: $n \times 3$ matrix, where n is the number of observations. Each element of S take values in the set $\{1, 2, \dots, m\}$.

P: P is obtained after running the code {f,p,x0}=multivariate _ Markov _ Chain _ 01(S);

► Output

a1: Estimates of $\eta_{10}, \eta_{11}, \eta_{12}, \eta_{13}$

cov1: Covariance Matrix of $\hat{\eta}_{10}, \hat{\eta}_{11}, \hat{\eta}_{12}, \hat{\eta}_{13}$

a2: Estimates of $\eta_{20}, \eta_{21}, \eta_{22}, \eta_{23}$

cov2: Covariance Matrix of $\hat{\eta}_{20}, \hat{\eta}_{21}, \hat{\eta}_{22}, \hat{\eta}_{23}$

a3: Estimates of $\eta_{30}, \eta_{31}, \eta_{32}, \eta_{33}$

cov3: Covariance Matrix of $\hat{\eta}_{30}, \hat{\eta}_{31}, \hat{\eta}_{32}, \hat{\eta}_{33}$

► Library

```
library cmm,cml;
```

► Fonte

```
c:\gauss\srcnic\cmm\estima4.src
```

5.16 mult_MC_estima_cat_3_D_preve1

► Objectivo

Preve

$$P(S_{jt} = k | S_{1,t-1} = i_1, \dots, S_{s,t-1} = i_s) \\ = p_{jk} = \frac{\Phi(\lambda_{j0} + \lambda_{j1}P(S_{jt} = k | S_{1,t-1} = i_1) + \dots + \lambda_{js}P(S_{jt} = k | S_{s,t-1} = i_s))}{\sum_{i=1}^m \Phi(\lambda_{j0} + \lambda_{j1}P(S_{jt} = i | S_{1,t-1} = i_1) + \dots + \lambda_{js}P(S_{jt} = i | S_{s,t-1} = i_s))}$$

dada a informação

$$S0 = \begin{bmatrix} S_{1,t-1} \\ S_{2,t-1} \\ S_{3,t-1} \end{bmatrix} = \begin{bmatrix} i_1 \\ i_2 \\ i_3 \end{bmatrix}, \quad i_1, i_2, i_3 \in \{1, \dots, m\}$$

► Formato

```
prob=mult_MC_estima_cat_3_D_preve1(b,P,s,equation);
```

► Input

b: vetor $\hat{\lambda}_{j1}, \dots, \hat{\lambda}_{jm}$ obtido através da rotina "mult_MC_estima_cat_3_D"

P: obter P através da rotina {f,p,x0}=multivariate_Markov_Chain_01(S);

S0: Vector de tipo 3×1 . A matrix S assume valores no conjunto $M = \{1, 2, \dots, m\}$.

equation: escalar pertencente ao conjunto $\{1, 2, 3\}$ (3 equações). Deve ser compatível com a informação **b**

► Output

► Library

```
library cmm,cml;
```

► Fonte

```
c:\gauss\srcnic\cmm\estima4.src
```

5.17 mult _ MC _ estima _ cat _ 5 _ D

► Objectivo

Estima MMC sob a hipótese

$$P(S_{jt} = k | S_{1,t-1} = i_1, \dots, S_{s,t-1} = i_s) \\ = p_{jk} = \frac{\Phi(\lambda_{j0} + \lambda_{j1}P(S_{jt} = k | S_{1,t-1} = i_1) + \dots + \lambda_{js}P(S_{jt} = k | S_{s,t-1} = i_s))}{\sum_{i=1}^m \Phi(\lambda_{j0} + \lambda_{j1}P(S_{jt} = i | S_{1,t-1} = i_1) + \dots + \lambda_{js}P(S_{jt} = i | S_{s,t-1} = i_s))}$$

através do método da máxima verosimilhança:

$$\max_{\lambda_{1j}} \sum_{i_5 i_4 i_3 i_2 i_1 i_0}^m n_{i_5 i_4 i_3 i_2 i_1} \log(p_{1i_0}) \\ \dots \\ \max_{\lambda_{5j}} \sum_{i_5 i_4 i_3 i_2 i_1 i_0}^m n_{i_5 i_4 i_3 i_2 i_1} \log(p_{5i_0})$$

► Formato

{b1,cov1,b2,cov2,b3,cov3,b4,cov4,b5,cov5,prob,FV}=mult _ MC _ estima _ cat _ 5 _ D(S,P);

► Input

S0: Matrix de tipo $n \times 5$. A matrix S assume valores no conjunto $M = \{1, 2, \dots, m\}$.

P: obter P através da rotina {f,p,x0}=multivariate _ Markov _ Chain _ 01(S);

► Output

prob: Matriz

$$\begin{bmatrix} p_{11} & \cdots & p_{51} \\ p_{12} & \cdots & p_{52} \\ \vdots & & \vdots \\ p_{1m} & \cdots & p_{5m} \end{bmatrix}$$

► Library

library cmm,cml;

► Fonte

c:\gauss\srcnic\cmm\estima4.src

5.18 mult_MC_estima_cat_5_D_preve1

► Objectivo

Preve

$$P(S_{jt} = k | S_{1,t-1} = i_1, \dots, S_{s,t-1} = i_s) \\ = p_{jk} = \frac{\Phi(\lambda_{j0} + \lambda_{j1}P(S_{jt} = k | S_{1,t-1} = i_1) + \dots + \lambda_{js}P(S_{jt} = k | S_{s,t-1} = i_s))}{\sum_{i=1}^m \Phi(\lambda_{j0} + \lambda_{j1}P(S_{jt} = i | S_{1,t-1} = i_1) + \dots + \lambda_{js}P(S_{jt} = i | S_{s,t-1} = i_s))}$$

dada a informação

$$S_0 = \begin{bmatrix} S_{1,t-1} \\ S_{2,t-1} \\ S_{3,t-1} \\ S_{4,t-1} \\ S_{5,t-1} \end{bmatrix} = \begin{bmatrix} i_1 \\ i_2 \\ i_3 \\ i_4 \\ i_5 \end{bmatrix}, \quad i_1, \dots, i_5 \in \{1, \dots, m\}$$

► Formato

`prob=mult_MC_estima_cat_5_D_preve1(b,P,S,equation);`

► Input

b: vetor $\hat{\lambda}_{j1}, \dots, \hat{\lambda}_{jm}$ obtido através da rotina "mult_MC_estima_cat_5_D"

P: obter P através da rotina `{f,p,x0}=multivariate_Markov_Chain_01(S)`;

S: Vector de tipo 5×1 . A matrix S assume valores no conjunto $M = \{1, 2, \dots, m\}$.

equation: escalar pertencente ao conjunto $\{1, 2, \dots, 5\}$ (5 equações) Deve ser compatível com a informação **b**

► Output

► Library

`library cmm,cml;`

► Fonte

`c:\gauss\srcnic\cmm\estima4.src`

5.19 multivariate _ Markov _ Chain _ 01

► Purpose

Estimates the following expressions of Ching e Ng (2006):

$$F^{(jk)} \text{ (page 145)}$$

$$P^{(jk)} \text{ (page 145)}$$

$$\hat{x} \text{ (page 145).}$$

Note-se

$$P_{ab}^{(jk)} = P(S_{jt} = a | S_{k,t-1} = b).$$

Reference: Ching W. e Ng M. (2006) Markov chains: models, algorithms and applications. New York: Springer.

► Formato

{f,p,x0}=multivariate_Markov_Chain_01(S);

► Input

S: $n \times s$ matrix where n is the number of observations and s is the number of categorical sequences. Each element of S take values in the set $M = \{1, 2, \dots, m\}$. Example:

$$S0 = \begin{bmatrix} 1 & 2 & 1 & 1 \\ 1 & 3 & 1 & 2 \\ 2 & 2 & 1 & 3 \\ 3 & 3 & 3 & 2 \\ 1 & 2 & 3 & 3 \end{bmatrix}$$

$$n = 5, s = 4, M = \{1, 2, 3\}.$$

► Output

F: $s \times s$ matrix of matrices. Each element of F is a $m \times m$ matrix. See page 145 of Ching e Ng (2006).

P: $s \times s$ matrix of matrices. Each element of P is a $m \times m$ matrix. See page 145 of Ching e Ng (2006). For example,

if $s = 2$ one has

$$\begin{bmatrix} \text{Plane}[1,\dots] & = P^{11} & \text{Plane}[3,\dots] & = P^{12} \\ \text{Plane}[2,\dots] & = P^{21} & \text{Plane}[4,\dots] & = P^{22} \end{bmatrix};$$

if $s = 3$ one has

$$\begin{bmatrix} \text{Plane}[1,\dots] & = P^{11} & \text{Plane}[4,\dots] & = P^{12} & \text{Plane}[7,\dots] & = P^{13} \\ \text{Plane}[2,\dots] & = P^{21} & \text{Plane}[5,\dots] & = P^{22} & \text{Plane}[8,\dots] & = P^{23} \\ \text{Plane}[3,\dots] & = P^{31} & \text{Plane}[6,\dots] & = P^{32} & \text{Plane}[9,\dots] & = P^{33} \end{bmatrix};$$

if $s = 5$ one has

$$\begin{bmatrix} [1,\dots] & = P^{11} & [6,\dots] & = P^{12} & [11,\dots] & = P^{13} & [16,\dots] & = P^{14} & [21,\dots] & = P^{15} \\ [2,\dots] & = P^{21} & [7,\dots] & = P^{22} & [12,\dots] & = P^{23} & [17,\dots] & = P^{24} & [22,\dots] & = P^{25} \\ [3,\dots] & = P^{31} & [8,\dots] & = P^{32} & [13,\dots] & = P^{33} & [18,\dots] & = P^{34} & [23,\dots] & = P^{35} \\ [4,\dots] & = P^{41} & [9,\dots] & = P^{42} & [14,\dots] & = P^{43} & [19,\dots] & = P^{44} & [24,\dots] & = P^{45} \\ [5,\dots] & = P^{51} & [10,\dots] & = P^{52} & [15,\dots] & = P^{53} & [20,\dots] & = P^{54} & [25,\dots] & = P^{55} \end{bmatrix}$$

x0: See page 145 of Ching e Ng (2006).

► **Library**

```
library cmm;
```

► **Fonte**

```
c:\gauss\srcnic\cmm\estimao.src
```

5.20 prediction_accuracy

► Objectivo

Calcula a % de vezes em que a maior probabilidade indica corretamente o evento futuro.

► Formato

```
{prob,pred}=prediction_accuracy3(&f,b,p,s,equation);
```

► Input

&f: hipóteses:

```
&mult_MC_estima_cat_2_D_preve1 ou  
&mult_MC_estima_cat_3_C_preve1 ou  
&mult_MC_estima_cat_3_D_preve1 ou  
&mult_MC_estima_cat_5_D_preve1
```

b:

p: estimativa obtida a partir da rotina {f,p,x0}=multivariate_Markov_Chain_01(S0);

s: vetor de dimensão $n \times 3$ ou $n \times 5$

► Output

prob: probabilidades estimadas dos vários estados ao longo do tempo (pode ser com-
parado com S[2:n,equation])

pred: % de vezes em que a maior probabilidade indica corretamente o evento futuro

► Library

```
library cmm,cml;
```

► Fonte

```
c:\gauss\srcnic\cmm\estima4.src
```

5.21 preve_cat_3

► Objectivo

Prevê o valor de $E\left(\mathbf{x}_t^{(j)} \mid \mathcal{F}_{t-1}\right)$ (são probabilidades) tendo em conta o modelo

$$E\left(\mathbf{x}_t^{(j)} \mid \mathcal{F}_{t-1}\right) = \lambda_{j1} \mathbf{P}^{(j1)} \mathbf{x}_{t-1}^{(1)} + \lambda_{j2} \mathbf{P}^{(j2)} \mathbf{x}_{t-1}^{(2)} + \lambda_{j3} \mathbf{P}^{(j3)} \mathbf{x}_{t-1}^{(3)}, \quad j = 1, 2, 3$$

► Formato

`xp=preve_cat_3(b1,b2,b3,p,s);`

► Input

b1,b2,b3: Estimativas obtidas a partir da rotina

{b1,b2,b3,f,cov1,cov2,cov3,corr}=mult_MC_estima_cat_3(S0,P);

p: estimativa obtida a partir da rotina {f,p,x0}=multivariate_Markov_Chain_01(S0);

s: vector de dimensão 3×1 . Representa as categorias em que S_1 , S_2 e S_3 se encontram no período anterior ao da previsão. Por exemplo, supondo que a previsão é para o período t , s=1|4|2 significa

$$S_{1t-1} = 1, S_{2t-1} = 4, S_{3t-1} = 2$$

ou (assumindo que $m = 4$)

$$\mathbf{x}_{t-1}^{(1)} = \begin{bmatrix} 1 \\ 0 \\ 0 \\ 0 \end{bmatrix}, \quad \mathbf{x}_{t-1}^{(2)} = \begin{bmatrix} 0 \\ 0 \\ 0 \\ 1 \end{bmatrix}, \quad \mathbf{x}_{t-1}^{(3)} = \begin{bmatrix} 0 \\ 1 \\ 0 \\ 0 \end{bmatrix}.$$

► Output

xp: vector $m \times 3$. Primeira coluna de xp fornece as probabilidades de S_1 se encontrar em cada uma das m categorias (valores de previsão). De igual forma para as outras colunas.

► Library

`library cmm,cml;`

► Fonte

`c:\gauss\srcnic\cmm\estimacao1.src`

5.22 standard _ MMC

► Purpose

Given S_{1t}, \dots, S_{st} with state space $\{1, \dots, m_1\}, \dots, \{1, \dots, m_s\}$ the procedure calculates

$$P(S_{1t} = i_0 | S_{1t-1} = i_1, \dots, S_{st-1} = i_s)$$

for $i_0 \in \{1, \dots, m_1\}, i_j \in \{1, \dots, m_j\}$.

$S_{1,t-1}$	$S_{s,t-1}$	S_{1t}	\dots	m_1
1	...	1	$P(S_{1t} = 1 S_{1t-1} = 1, \dots, S_{st-1} = 1)$	$P(S_{1t} = m_1 S_{1t-1} = 1, \dots, S_{st-1} = 1)$
\vdots	\dots	\vdots		\vdots
1	...	m_s	$P(S_{1t} = 1 S_{1t-1} = 1, \dots, S_{st-1} = m_s)$	\dots
\vdots	\vdots			\vdots
m_1	...	m_s	$P(S_{1t} = 1 S_{1t-1} = m_1, \dots, S_{st-1} = m_s)$	\dots
				$P(S_{1t} = m_1 S_{1t-1} = m_1, \dots, S_{st-1} = m_s)$

Let Q be the matrix associated with the table

$S_{1,t-1}$	$S_{s,t-1}$
1	...
\vdots	\vdots
1	m_s
\vdots	\vdots
m_1	m_s

and $P = [P(S_{1t} = i_0 | S_{1t-1} = i_1, \dots, S_{st-1} = i_s)]$

► Formato

{Q,P,SE}=call standard _ MMC(S,mostrar);

► Input

S: $n \times s$ matrix where n is the number of observations and s is the number of categorical sequences. The state space of each column may be different.

mostrar: if 1 then Q , P and t-ratios are printed

► Output

Q: $(m_1 m_2 \dots m_s) \times s$ matrix

P: $(m_1 m_2 \dots m_s) \times m_1$

SE: Standard Errors $SE[i, j] = \sqrt{P[i, j] * (1 - P[i, j]) / \hat{P}(S_{1t-1} = i_1, \dots, S_{st-1} = i_s) * \sqrt{1/n}}$

► **Library**

library cmm;

► **Fonte**

c:\gauss\srcnic\cmm\estima0.src

5.23 test_independ_cat5

► Objectivo

Testa

$$P(S_{jt} = k | S_{1,t-1} = i_1, \dots, S_{5,t-1} = i_s) = P(S_{jt} = k | S_{j,t-1} = i_j)$$

► Formato

```
{logfv_h0,logfv_H1,rv}=test_independ_cat5(S,P,logfv_H1);
```

► Input

► Output

► Library

```
library cmm;
```

► Fonte

```
c:\gauss\srcnic\cmm\test.src
```

5.24 testa_nulidade_CMM

► Objectivo

Testa a nulidade de parâmetros num modelo CMM através do teste rácio de verosimilhanças.

► Formato

```
call testa_nulidade_CMM(&f,logfv1,par_num,S,P,equation);
```

► Input

&f: Opções:

```
&MMC_3C_eq  
&MMC_3D_eq  
&MMC_5D_eq
```

logfv1: Valor máximo da função de verosimilhança do modelo sob hipótese alternativa (modelo sem restrições).

par_num: Escalar ou vector. Exemplo: par_num=2 testa a nulidade do segundo parâmetro; par_num=2|4 testa a nulidade do segundo e quarto parâmetro.

S: Matriz das observações da cadeia.

P: Estimativa obtida a partir da rotina {f,p,x0}=multivariate_Markov_Chain_01(S);

equation: número da equação (está relacionado com a ordem das colunas de S).

► Output

Fornece o valor da estatística rácio de verosimilhanças e o respetivo p-value

► Library

```
library cml, cmm;
```

► Fonte

```
c:\gauss\srcnic\cmm\test.src
```

6 Diagnóstico [diagnos]

6.1 diagn

► Purpose

Analyses the time series or analyses the estimated model.

► Format

```
diagn(x,media,var);
```

► Input

x: observations X .

media: scalar or conditional mean (same length as the dimension of X).

var: scalar or conditional variance.

► Output

If **media** is a scalar (one assumes that there wasn't estimation - the focus is only on the time series X) the procedures presents:

- *kurtosis*.
- *skewness*.
- standardized *kurtosis* (under $H_0: \text{kurt}=3$ the standardized kurtosis has $N(0,1)$ distribution).
- standardized *skewness* (under $H_0: \text{skew}=0$ the standardized skewness has $N(0,1)$ distribution).
- Bera-Jarque p-value (tests normality of X).
- Ljung-Box p-value (tests serial correlation of X). The autocorrelation order can be controlled through `ordem_aut` (default = 2).
- ARCH test p-value. (LM test). The order of the ARCH process can be controlled through `ordem_ARCH` (default = 1).
- Dickey-Fuller test:
 - ”ADF statistic for random walk without drift”
 - ”ADF statistic for random walk with drift”
 - ”ADF statistic for random walk with drift and trend”
- Graph of X over time.
- Graph - Autocorrelation function of X (the order of autocorrelation can be controlled through `ordem_aut`).

- Graph - Partial Autocorrelation function of X (the order of autocorrelation can be controlled through `ordem_aut`).
- Graph - kernel density versus density of $N(\bar{X}, \hat{\sigma}^2)$.

If media has the same dimension as X (one assumes a estimated model) the procedures presents the following statistics and graph of

$$\varepsilon_t = \frac{X_t - \hat{\mu}_t}{\hat{\sigma}_t}$$

- R squared
- *kurtosis* of ε .
- *skewness* of ε .
- standardized *kurtosis* of ε (under $H_0: kurt=3$ the standardized kurtosis has $N(0,1)$ distribution)
- standardized *skewness* de ε (under $H_0: skew=0$ the standardized skewness has $N(0,1)$ distribution).
- Bera-Jarque p-value (tests normality of ε).
- Ljung-Box p-value (tests serial correlation of X). The autocorrelation order can be controlled through `ordem_aut` (default = 2).
- ARCH test p-value. (LM test). The order of the ARCH process can be controlled through `ordem_ARCH` (default = 1).
- Graph of X and μ_t over time.
- Graph of ε over time.
- Graph of $\hat{\sigma}_t^2$ over time.
- Graph - Autocorrelation function of ε (the order of autocorrelation can be controlled through `ordem_aut`).
- Graph - Partial Autocorrelation function of ε (the order of autocorrelation can be controlled through `ordem_aut`).
- Graph - kernel density of ε versus density of $N(0, 1)$.

► Library

Library pgraph,diagnos;

► Remarks

Note: The graphics may not be displayed if `graf` is set to 0 (i.e. `graf=0`) (`graf` is a global variable). Other global variables: `coef_cor`, `ordem_aut` (default: 5), `ordem_arch` (default: 5), `ordem_lag` (default: 5) controls the number of lags of the dependent variable in the ADF test.

► Source

c:\gauss\srcnic\diagnos\diagnos.src

6.2 teste_RU_ao_longo amostra

► Objectivo

Calcular e apresentar graficamente as estatísticas rácio-t, valor crítico e parâmetro autoregressivo no instante t , respectivamente, r_t , vc_t e ϕ_t , associadas ao teste Dickey-Fuller (DF). Dada uma amostra de n observações de Y e fixado um valor n_inicio , aquelas estatísticas são calculadas considerando-se $(n-n_inicio+1)$ regressões do teste DF: a primeira regressão inclui os valores de Y_1, \dots, Y_{n_inicio} que fornece r_{n_inicio} , vc_{n_inicio} e ϕ_{n_inicio} , a segunda regressão inclui os valores de $Y_1, \dots, Y_{n_inicio+1}$ que fornece $r_{n_inicio+1}$, $vc_{n_inicio+1}$ e $\phi_{n_inicio+1}$, etc., até, finalmente Y_1, \dots, Y_n que fornece r_n , vc_n e ϕ_n .

► Formato

```
{raciot,vc,par_ar}=teste_RU_ao_longo_amostra(y,n_inicio,des,p,ns);
```

► Input

y: vetor das observações do processo

n_inicio: valor inteiro entre 5 e n (ver explicação em "objectivo").

des: número de desfasamentos de Y a incluir na regressão do teste DF.

p: ordem do polinómio a incluir na regressão do teste DF (fixar $p=-1$ no caso de não existir parte determinística).

ns: nível de significância do teste DF. Valores possíveis: 1, 5, 10, 90, 95, 99.

► Output

raciot: vetor de tipo $(n - n_inicio + 1) \times 1$ dos rácio-t.

vc: vetor de tipo $(n - n_inicio + 1) \times 1$ dos valores críticos.

par_ar: vetor de tipo $(n - n_inicio + 1) \times 1$ dos parâmetros autoregressivos.

► Library

```
library pgraph,diagnos,coin;
```

► Fonte

```
c:\gauss\srcnic\diagnos\diagnos.src
```

7 Estimação de Equações Diferenciais Estocásticas [est_edel]

7.1 bootstrap1

► Objectivo

Dado um conjunto de observações $(X_{t_1}, \dots, X_{t_n})$ e a EDE $dX_t = a(X_t; \theta_1) dt + b(X_t; \theta_2) dW_t$ determinar através de um procedimento bootstrap os vectores nc_{1,t_i} e nc_{2,t_i} tais que

$$nc_{1,t_i} : P[X_{t_i} \leq nc_{1,t_i}] = \frac{1 - ic}{2} \quad (\text{NC})$$

$$nc_{2,t_i} : P[X_{t_i} \geq nc_{2,t_i}] = \frac{1 + ic}{2} \quad (\text{NC})$$

para $i = 1, \dots, n$, ou determinar os vectores c_{1,t_i} e c_{2,t_i} tais que

$$c_{1,t_i} : P[X_{t_i} \leq c_{1,t_i} | X_{t_{i-1}}] = \frac{1 - ic}{2} \quad (\text{C})$$

$$c_{2,t_i} : P[X_{t_i} \geq c_{2,t_i} | X_{t_{i-1}}] = \frac{1 + ic}{2} \quad (\text{C})$$

para $i = 1, \dots, n$.

Nota: Numa aplicação concreta, depois de se estimar o modelo $dX_t = a(X_t; \theta_1) dt + b(X_t; \theta_2) dW_t$, tem interesse verificar se a trajectória observada de X se encontra delimitada, por exemplo, pelas trajectórias de nc_1 e nc_2 (ou c_1 e c_2). Como nc_1 e nc_2 (ou c_1 e c_2) são determinadas pelo modelo estimado $dX_t = a(X_t; \theta_1) dt + b(X_t; \theta_2) dW_t$, se ocorre com frequência observar que $X_{t_i} > nc_{2,t_i}$ ou $X_{t_i} < nc_{1,t_i}$ pode-se concluir que o modelo está mal especificado. Por exemplo, $nc_{2,t_i} = 100$ (para um certo i) significa que $(1 + ic)/2 \times 100\%$ dos valores de X_{t_i} simulados a partir de $dX_t = a(X_t; \theta_1) dt + b(X_t; \theta_2) dW_t$ se encontram acima do valor 100. Se o modelo especificado está correcto, deveremos esperar que a probabilidade de X_{t_i} se encontrar acima de 100 seja exactamente $(1 + ic)/2$. Sendo esta probabilidade, em princípio pequena, se de facto se observa $X_{t_i} > 100$, poderemos duvidar da especificação do modelo. Se entretanto ocorre com frequência observar $X_{t_i} > nc_{2,t_i}$ ou $X_{t_i} < nc_{1,t_i}$ (para vários i) teremos fortes razões para rejeitar o modelo.

A simulação de X é feita de acordo com a equação (??) onde o parâmetro N permite controlar a precisão do esquema de simulação.

► Formato

```
{liminf,limsup}=bootstrap1(&f1,&f2,par1,par2,x,d,s,nn,ic,cond);
```

► Input

&f1: ponteiro para um procedimento que define a especificação funcional do coeficiente $a(x; \theta_1)$.

&f2: ponteiro para um procedimento que define a especificação funcional do coeficiente $b(x; \theta_2)$.

par1: valor do vector θ_1 .

par2: valor do vector θ_2 .

x: vector das observações do processo.

d: Δ , intervalo entre duas observações consecutivas, constante.

s: número de simulações.

nn: valor do parâmetro N [ver equação (??)].

ic: parâmetro ic ($0 < \text{ic} < 1$).

cond: se cond=0 consideram-se as equações (NC); se cond=1 consideram-se as equações (C).

► Output

liminf: vector nc_1 de tipo $n \times 1$ no caso cond=0; vector c_1 de tipo $n \times 1$ no caso cond=1.

limsup: vector nc_2 de tipo $n \times 1$ no caso cond=0; vector c_2 de tipo $n \times 1$ no caso cond=1.

► Library

```
library pgraph,diagnos,est_ed;
```

► Fonte

```
c:\gauss\srcnic\diagnos\bootstra.src
```

7.2 bootstrap2

► Objectivo

Determinar, através de um procedimento bootstrap, os intervalos de confiança das estimativas não paramétricas $\hat{a}(x)$ e $\hat{v}(x)$ (ver "drift_kernel2" e "var_kernel3") associado ao processo $dX_t = a(X_t; \theta) dt + b(X_t; \theta) dW_t$.

► Formato

```
{liminf_med,limsup_med,liminf_var,limsup_var}=bootstrap2(&f1,&f2,&f3,par1,par2,d,n,x0,s,nn,ic)
```

► Input

&f1: ponteiro para um procedimento que define a especificação funcional do coeficiente $a(x; \theta_1)$.

&f2: ponteiro para um procedimento que define a especificação funcional do coeficiente $b(x; \theta_2)$.

&f3: ponteiro para um procedimento que define o esquema de discretização para simular X . Pode assumir &f3=&simulaNC1 - X é simulado de acordo com a equação (??) ou &f3=&simulaNC2 - X é simulado de acordo com o esquema de Milstein.

par1: valor do vector θ_1 .

par2: valor do vector θ_2 .

d: Δ , intervalo entre duas observações consecutivas, constante.

n: número de observações de cada trajectória de X .

x0: valor inicial de X .

s: número de simulações

nn: valor do parâmetro N [ver a equação (??)].

ic: intervalo de confiança ($0 < \text{ic} < 1$).

► Output

liminf_med: limite inferior do intervalo de confiança para $\hat{a}(x)$

limsup_med: limite superior do intervalo de confiança para $\hat{a}(x)$

liminf_var: limite inferior do intervalo de confiança para $v(x)$

limsup_var: limite superior do intervalo de confiança para $v(x)$

Library

```
library est_edc,diagnos;
```

► Observações

A variável global pontos permite definir o número de pontos x_i (por defeito assume-se 15 pontos). A variável global _ic permite definir o parâmetro ic nas rotinas drift_kernel2 e var_kernel3 (por defeito _ic=0.95; não confundir este parâmetro com o parâmetro o ic da presente rotina).

► Fonte

```
c:\gauss\srcnic\diagnos\bootsra.src
```

7.3 drift_kernel1

► Objectivo

Estimar não parametricamente o coeficiente de tendência infinitesimal $a(x)$ (da equação $dX_t = a(X_t) dt + b(X_t) dW_t$). O estimador é:

$$\hat{a}(x) = \frac{\sum_{i=1}^n \mathcal{I}_{\{|X_{t_i}-x|<h\}} \frac{(X_{t_{i+1}} - X_{t_i})}{\Delta}}{\sum_{i=1}^n \mathcal{I}_{\{|X_{t_i}-x|<h\}}}.$$

► **Formato**

{x,med,medy,k,lim_inf,lim_sup} = drift_kernel1(y,d,pontos,h,interpola,controle,z);

► **Input**

y: vetor de observações $(X_{t_1}, \dots, X_{t_n})$ do processo X .

d: Δ , intervalo entre duas observações consecutivas, constante.

pontos: número de pontos x_i para os quais se calcula $\hat{a}(x_i)$. Isto é $i = 1, 2, \dots, \text{pontos}$.
Aconselha-se um valor entre 10 e 15.

interpola: assume $\{0, 1\}$. Se interpola = 1 calcula, por interpolação, $a(x_i)$, onde x_i assume todos os valores observados do processo X .

controle: assume $\{1, 2, \dots\}$. O procedimento calcula estimativas para $a(x)$ apenas quando

$$\sum_{i=1}^n \mathcal{I}_{\{|X_{t_i}-x|<h\}} \geq \text{controle}.$$

Aconselha-se um valor entre 10 e 20.

z: quantil para o cálculo do intervalo de confiança de a (por exemplo, z = 1.96 - tem associado um intervalo de confiança de 95%)

► **Output**

x: vetor x de tipo $k \times 1$ onde $k \leq \text{pontos}$.

med: vetor $\hat{a}(x)$ de tipo $k \times 1$

medy: igual a zero se interpola = 0 e igual a $\hat{a}(x_i)$ de tipo $n \times 1$ onde n é o número de observação de X se interpola = 1.

k: vetor $\sum_{i=1}^n \mathcal{I}_{\{|X_{t_i}-x|<h\}}$ de tipo $k \times 1$.

lim_inf: vetor de tipo $\text{pontos} \times 1$ referente ao limite inferior do intervalo de confiança para $\hat{a}(x_i)$.

lim_sup: vetor de tipo $\text{pontos} \times 1$ referente ao limite superior do intervalo de confiança para $\hat{a}(x_i)$.

► **Library**

library est_ed;

► **Fonte**

c:\gauss\srcnic\est_ed\ nao_p_tc.src

7.4 drift_kernel2

► Objectivo

Estimar não parametricamente o coeficiente de tendência infinitesimal $a(x)$ (da equação $dX_t = a(X_t) dt + b(X_t) dW_t$). O estimador é:

$$\hat{a}(x) = \frac{\sum_{i=1}^{n-1} K\left(\frac{X_{t_i}-x}{h}\right) \frac{(X_{t_i}-X_{t_{i+1}})}{\Delta}}{\sum_{i=1}^{n-1} K\left(\frac{X_{t_i}-x}{h}\right)}$$

onde $K(u) = (2\pi)^{-\frac{1}{2}} e^{-\frac{u^2}{2}}$ e $h = (4/3)^{1/5} \hat{\sigma}_X n^{-1/5}$.

► Formato

```
{x,m}=drift_kernel2(y,pontos,ic,d);
```

► Input

y: vetor de observações $(X_{t_1}, \dots, X_{t_n})$ do processo X .

d: Δ , intervalo entre duas observações consecutivas, constante.

pontos: número de pontos x_i para os quais se calcula $\hat{a}(x_i)$. Isto é $i = 1, 2, \dots, \text{pontos}$.

Se pontos = 0, calcula-se $\hat{a}(x_i)$ onde x_i assume todos os valores da amostra $(X_{t_1}, \dots, X_{t_n})$ que satisfazem o parâmetro ic (ver a seguir).

ic: assume um valor no intervalo $]0, 1]$. Se $ic \in]0, 1[$ o procedimento é apenas executado para os valores $(X_{t_1}, \dots, X_{t_n})$ que se encontram entre o percentil $(1 - ic)/2$ e o percentil $(1 + ic)/2$. As estimativas de $a(x)$ são portanto aparadas. Se $ic = 1$ o procedimento é executado para todos os valores da amostra.

► Output

x: vetor x .

med: vetor $\hat{a}(x)$.

► Library

```
library est_ed;
```

► Fonte

```
c:\gauss\srcnic\est_ed\ nao_p_tc.src
```

7.5 est_dens_Dacunha_Florens1

► Objectivo

Estimar, através de simulação, a densidade de transição $p(\Delta, x, y)$ associada à EDE $dX_t = a(X_t; \theta) dt + \sigma dW_t$ considerando [ver Dacunha-Castelle e Florens-Zmirou (1986)]:

$$\hat{p}(\Delta, x, y) = \frac{1}{\sqrt{2\pi\sigma^2}} \exp \left\{ -\frac{(x - y)^2}{2\sigma^2\Delta} + \frac{G(y) - G(x)}{\sigma^2} \right\} \hat{\psi}$$

(ver as notações no capítulo ??).

► Formato

```
p=est_dens_Dacunha_Florens1(&drift,&derivada,&funcao_G,S,delta,d,x,y,b,seed);
```

► Input

&f1: ponteiro para um procedimento que define a especificação funcional do coeficiente $a(x; \theta)$.

&f2: ponteiro para um procedimento que define a especificação funcional de $da(x; \theta) / dx$.

&f3: ponteiro para um procedimento que define a especificação funcional de $G(y)$.

S: valor do parâmetro n_s .

delta: valor entre 0 e 1 (tal que $1/\text{delta}$ seja inteiro) associado à precisão da integração numérica $\int_0^1 g(z_u(x, y) + \sqrt{\sigma^2\Delta}B_u(\omega)) du$. A precisão aumenta quando delta diminui. Concretamente delta tem a ver com a forma como o processo de Wiener é simulado para se obter $B_t = W_t - uW_1$. Fixado delta, tem-se $t_i = i \times \text{delta}$, $i = 0, 1, \dots, 1/\text{delta}$ e $W_{t_i} = W_{t_{i-1}} + \sqrt{\text{delta}}\varepsilon_i$ onde ε_i é $N(0, 1)$ i.i.d. (notar: $\text{delta} = N^{-1}$).

d: Δ , intervalo de tempo entre $X_\Delta = y$ e $X_0 = x$.

x: valor inicial.

y: valor final.

b: vetor $[\theta \sigma]'$.

seed: valor *seed* (inteiro) associado à simulação dos valores aleatórios.

► Output

p: estimativa para $p(\Delta, x, y)$.

► Library

```
library est_ed;
```

► Exemplo

Considere-se $dX_t = \beta(\tau - X_t) dt + \sigma dW_t$. Identificando $(\beta, \tau, \sigma) = (b[1], b[2], b[3])$, tem-se:

```
library est_edc;  
  
proc drift(b,x);  
    retp(b[1]*(b[2]-x));  
endp;  
  
proc derivada(b,x);  
    retp(-b[1]);  
endp;  
  
proc funcao_G(b,x);  
    retp(b[1]*b[2]*x-b[1]*x^2/2);  
endp;  
  
/* Introduzir os valores de S, delta,d, x,y,b,seed */  
p=est_dens_Dacunha_Florens1(&drift,&derivada,&funcao_G,S,delta,d,x,y,b,seed);
```

► Fonte

c:\gauss\srcnic\est_edc\est_fdpc.src

7.6 est_dens_fmogeneous

► Objectivo

$$\hat{p}(s, x, t, y) =$$

► Formato

p=est_dens_inhomogeneous(&zeta,&f,&A1,&B1,s,x,t,y,b,NN,simula,seed);

► Input

ζ

&f:

&A1:

&B1:

s: t_0

x:

t: scalar

y:

b:

NN:

simula:

seed:

► Output

p:

► Library

```
library est_ed;
```

► Exemplo

► Fonte

```
c:\gauss\srcnic\est_ed\est_fdpc.src
```

7.7 est_dens_Nao_Param

► Objectivo

Estimar, através de simulação, a densidade de transição de $X_\Delta = y$ dado $X_0 = x$, $p(\Delta, x, y)$, onde X é solução da EDE $dX_t = a(X_t; \theta_1) dt + b(X_t; \theta_2) dW_t$. O estimador é

$$\hat{p}(\Delta, x, y) = \frac{1}{n_s h} \sum_{j=1}^{n_s} K\left(\frac{y - Y_j^{(N)}}{h}\right)$$

onde, $Y_j^{(N)}$ é a j -ésima aproximação para X_Δ dado $X_0 = Y_0 = x$, $K(u) = (2\pi)^{-1/2} e^{-u^2/2}$ e $h = (4/3)^{1/5} \hat{\sigma}_Y n_s^{-1/5}$.

► Formato

```
p=est_dens_Nao_Param(&f1,&f2,&f3,par1,par2,NN,ns,d,x,y);
```

► Input

&f1: ponteiro para um procedimento que define a especificação funcional do coeficiente $a(x; \theta_1)$ (se &f1=0 o drift é nulo).

&f2: ponteiro para um procedimento que define a especificação funcional do coeficiente $b(x; \theta_2)$.

&f3: ponteiro para um procedimento que define a simulação do processo (se &simula o processo é simulado de acordo com a equação (??). Se &f3 é diferente de "&simula" os inputs "nn" e "ns" não são considerados, embora se devam escrever números nas entradas respeitantes a estes inputs.

par1: valor inicial para o vector θ_1 .

par2: valor inicial para o vector θ_2 .

nn: valor (inteiro) do parâmetro N [ver equação (??)] (valores altos aumentam a precisão da simulação e, por essa via, da estimativa).

ns: valor do parâmetro n_s .

d: Δ , intervalo de tempo entre $X_\Delta = y$ e $X_0 = x$.

x: valor inicial.

y: valor final.

► Output

p: estimativa para $p(\Delta, x, y)$.

► Library

```
library cml,est_ed;
```

► Exemplo

Exemplo de um procedimento para &f3:

```
proc simula_flvsmn(b,x);
local ys,e;
e=rndn(1,_ns);
ys=b[2]+(x-b[2])*exp(-b[1]*d)+sqrt((b[3]^2)/(2*b[1])*(1-exp(-2*b[1]*d))).*e;
retlp(ys);
endp;
```

Nota: as variáveis _ns, _d, respectivamente n_s e Δ , são variáveis "globais" cujo valor é passado de procedimento para procedimento. Não alterar esta notação.

► Fonte

c:\gauss\srcnic\est_ed\est_fdpc.src

7.8 flvsmn

► Objectivo

Estimar uma EDE através do método da função log-verosimilhança simulada não parametricamente, i.e., considerando o problema

$$\max_{\theta} \frac{1}{n} \sum_i^n \log \left[\frac{1}{n_s h} \sum_{j=1}^{n_s} K \left(\frac{X_{t_i} - Y_{t_i,j}^{(N)}(\theta)}{h} \right) \right].$$

► Formato

```
{b,f0,g,cov,retcode}=flvsmn(&f1,&f2,&f3,seed,par1,res1,par2,res2,y,d,nn,ns);
```

► Input

&f1: ponteiro para um procedimento que define a especificação funcional do coeficiente $a(x; \theta_1)$ (se &f1=0 o drift é nulo).

&f2: ponteiro para um procedimento que define a especificação funcional do coeficiente $b(x; \theta_2)$.

&f3: Se zero (i.e., &f3=0) X é simulado de acordo com a equação (??). No caso em que &f3 é efectivamente um ponteiro, definir o procedimento que simula X (ver exemplo abaixo). Neste último caso os inputs "nn" e "ns" não são considerados, embora se devam escrever números nas entradas respeitantes a estes inputs.

seed:

par1: valor inicial para o vector θ_1 .

res1: vector de zeros e uns de dimensão igual à do vector θ_1 . Os zeros indicam que deve ser considerada a restrição de não negatividade; os uns indicam ausência de restrição.

par2: valor inicial para o vector θ_2 .

res2: vector de zeros e uns de dimensão igual à do vector θ_2 . Os zeros indicam que deve ser considerada a restrição de não negatividade; os uns indicam ausência de restrição.

y: vector das observações do processo.

d: Δ , intervalo entre duas observações consecutivas, constante.

nn: valor do parâmetro N [ver equação (??)].

ns: valor do parâmetro n_s .

► Output

b: vector das estimativas de θ_1 e θ_2 .

f0: média do logaritmo da função de verosimilhança no maximizante.

gra: *score* no maximizante

cov: matriz das estimativas das variâncias-covariâncias de b (de pseudo máxima verosimilhança).

retcode: convergência. Se retcode = 0 convergência atingida.

► Library

```
library cml,est_ed;
```

► Exemplo

(1) Estimar a EDE $dX_t = b_1(b_2 - X_t)dt + b_3X_t^{b_4}dW_t$

...

```
/* ler o vector y */
```

...

```
/*introduzir valores para seed, par1, etc., por exemplo:*/
```

```
seed=123456;
```

```
par1={1,10}; /* guess */
```

```
rest1={0,1}; /*  $b_1 \geq 0$  */
```

```
par2={1,.5};
```

```
rest2={0,0}; /*  $b_3, b_4 \geq 0$  */
```

```
d=.05;
```

```
nn=10;
```

```
ns=30;
```

```
{beta,f,g,cov,retcode}=flvsmn(&linear1,&potencia,0,seed,par1,rest1,par2,rest2,y,d,nn,ns);
```

```
/* nota &f3=0 */
```

(2) Exemplo de um procedimento para &f3:

```
proc simula_flvsmn(b,x);
```

```
local ys,e;
```

```
e=rndn(1,_ns);
```

```
ys=b[2]+(x-b[2])*exp(-b[1]*d)+sqrt((b[3]^2)/(2*b[1])*(1-exp(-2*b[1]*d))).*e;
```

```
retp(ys);
```

```
endp;
```

Nota: as variáveis `_ns`, `_d`, respectivamente n_s e Δ , são variáveis "globais" cujo valor é passado de procedimento para procedimento. Não alterar esta notação.

► Observações

A variável global `_mostrar` permite controlar a apresentação do output. Se `_mostrar = 0` o resultado da estimação não é apresentado (conveniente para simulações Monte Carlo).

► Fonte

```
c:\gauss\srcnic\est_ed\flvsmn.src
```

7.9 inf_ind

► Objectivo

(Rotina em desenvolvimento - o comando abaixo funciona mas é necessário melhorar vários aspectos)

Estimar uma EDE através do método da inferência indirecta.

► Formato

```
b_inf_ind=inf_ind(&f1,&f2,&f3,par1,rest1,par2,rest2,y,d,nn,ns,seed);
```

7.10 kernel_fdp_G

► Objectivo

Estimar a densidade de probabilidade $f(\cdot)$ no ponto x . Estimador:

$$\frac{1}{nh} \sum_{i=1}^n K\left(\frac{x - X_i}{h}\right)$$

onde $K(\cdot)$ é o kernel Gaussiano.

► Formato

```
p = kernel_fdp_G(vectory,x);
```

► Input

vectory: vector de observações X_i .

► Output

p: escalar, estimativa para $f(x)$.

► **Library**

```
library est_ed;
```

► **Fonte**

```
c:\gauss\srcnic\est_ed\ao_p_tc.src
```

7.11 kernel_fdp_U

► **Objectivo**

Estimar a densidade de probabilidade $f(\cdot)$ no ponto x . Estimador:

$$\frac{1}{nh} \sum_{i=1}^n K\left(\frac{x - X_i}{h}\right)$$

onde $K(\cdot)$ é o kernel uniforme.

► **Formato**

```
p = kernel_fdp_U(vector,x);
```

► **Input**

vector: vetor de observações X_i .

► **Output**

p: escalar, estimativa para $f(x)$.

► **Library**

```
library est_ed;
```

► **Fonte**

```
c:\gauss\srcnic\est_ed\ao_p_tc.src
```

7.12 mv_inhomogeneous_BKM

► **Objectivo**

Estimates the parameters of the EDE

$$dX_t = X_t \left(e^{\tau t} + \frac{\sigma^2}{2} - \alpha \log X_t \right) + \sigma X_t dW_t$$

through the maximum likelihood method.

► **Format**

```
{bmv,f0,grad,cov,retcode,media,var}=mv_inhomogeneous_BKM(b0,s,d,y);
```

► **Input**

b0: (τ, α, σ)

s: The initial value of time t_0

d:

y:

► **Output**

b:

f0:

gra:

cov:

retcode:

► **Library**

```
library cml,est_ed;
```

► **Source**

```
c:\gauss\srcnic\est_ed\mv_inhomogeneous.src
```

7.13 mv_inhomogeneous_GBM

► **Objectivo**

Estimates the parameters of the EDE

$$dX_t = \beta X_t dt + \sigma e^{\alpha t} X_t dW_t$$

through the maximum likelihood method.

► **Format**

```
{bmv,f0,grad,cov,retcode,media,var}=mv_inhomogeneous_GBM(b0,s,d,y);
```

► **Input**

b0: (β, σ, α)

s: The initial value of time t_0

d:

y:

► **Output**

b: $(\hat{\beta}, \hat{\sigma}, \hat{\alpha})$

f0:

gra:

cov:

retcode:

► **Library**

library cml,est_edc;

► **Source**

c:\gauss\srcnic\est_edc\mv_inhomogeneous.src

7.14 mv_inhomogeneous_ornstein

► **Objectivo**

Estimates the parameters of the EDE

$$dX_t = -\beta X_t dt + \sigma e^{\alpha t} dW_t$$

through the maximum likelihood method.

► **Format**

{bmv,f0,grad,cov,retcode,media,var}=mv_inhomogeneous_ornstein(b0,s,d,y);

► **Input**

b0:

s: The initial value of time t_0

d:

y:

► **Output**

b: $(\hat{\beta}, \hat{\alpha}, \hat{\sigma})$

f0:
gra:
cov:
retcode:

► **Library**

library cml,est_ed;

► **Source**

c:\gauss\srcnic\est_ed\mv_inhomogeneous.src

7.15 mv_mbg

► **Objectivo**

Estimar a EDE $dX_t = \alpha X_t dt + \beta X_t dW_t$ através do método da máxima verosimilhança.

► **Formato**

{b,f0,grad,cov,retcode}=mv_mbg(b0,d,y);

► **Input**

b0: valor inicial para o vetor (α, β) .

d: Δ , intervalo entre duas observações consecutivas, constante.

y: vetor das observações do processo.

► **Output**

b: vetor das estimativas para (α, β) .

f0: média do logaritmo da função de verosimilhança no maximizante.

gra: score no maximizante

cov: matriz das estimativas das variâncias-covariâncias de b (de pseudo máxima verosimilhança).

retcode: convergência. Se retcode = 0 convergência atingida.

► **Library**

library cml,est_ed;

► **Fonte**

c:\gauss\srcnic\est_ed\mv_mbg.src

7.16 mv_ornstein

► Purpose

Estimates the SDE $dX_t = \beta(\tau - X_t) dt + \sigma dW_t$ using the ML method.

► Format

```
{b,f0,grad,cov,retcode,media,var}=mv_ornstein(b0,d,y);
```

► Input

b0: starting values (β, τ, σ) .

d: Δ interval between two consecutive observations (constant)

y: observations

► Output

b: estimates of (β, τ, σ) .

f0: average likelihood function

gra: *score*

cov: Cov (b)

retcode: convergence. If retcode = 0 convergence is reached.

media: vector of the conditional mean

var:

► Library

```
library cml,est_ed;
```

► Fonte

```
c:\gauss\srcnic\est_ed\mv_ornstein.src
```

7.17 mv_simulado_edel

► Purposes

Estimates a SDE

$$dX_t = a(X_t; \theta) dt + \sigma dW_t$$

through a simulated based method. The optimization problem is

$$\max_{\theta} \frac{1}{n} \sum_i^n \log \left[\frac{1}{n_s} \sum_{j=1}^{n_s} \hat{p}(\Delta, x, y) \right].$$

► Format

```
{b,f0,grad,cov,retcode}=mv_simulado_edel(&drift,&derivada,&funcao_G,b0,rest,d,y,S,delta);
```

► Input

&f1: pointer to a procedures that defines $a(x; \theta)$. Note: the output is a vector (has the same number of rows as that of x).

&f2: pointer to a procedures that defines $da(x; \theta) / dx$. Note: the output is a vector (has the same number of rows as that of x).

&f3: pointer to a procedures that defines $G(y)$. Note: the output is a vector (has the same number of rows as that of x).

b0: starting values of $[\theta \sigma]'$.

rest: vector of ones and zeros of the same dimension of $[\theta \sigma]'$. The zeros indicate a nonnegative restrictions; the ones indicate no restriction.

d: Δ ,interval between observations (constant)

y: observations of the process

S: scalar n_s .

delta: scalar between 0 and 1 related to the precision of the numerical integration $\int_0^1 g(z_u(x, y) + \sqrt{\sigma^2 \Delta} B_u(\omega)) du$. The lower the delta, the higher the precision (you may start with delta = .001).

► Output

b: estimates of $[\theta \sigma]'$

f0: mean of the likelihood function

gra: *score*

cov: Cov(b)

retcode: convergence. If retcode = 0 convergence is reached.

► Library

```
library cml,est_ed;
```

► Example

Take $dX_t = \beta(\tau - X_t) dt + \sigma dW_t$ and $(\beta, \tau, \sigma) = (b[1], b[2], b[3])$.

```
library cml,est_ed;
```

```
proc drift(b,x);
```

```

    retp(b[1]*(b[2]-x));
endp;

proc derivada(b,x);
    retp(-b[1]);
endp;

proc funcao_G(b,x);
    retp(b[1]*b[2]*x-b[1]*x^2/2);
endp;

{b,f0,grad,cov,retcode}=mv_simulado_edel(&drift,&derivada,&funcao_G,1|1|1|1,.1,y,5,.001);

```

► **Source**

c:\gauss\srcnic\est_edel\mv_simu.src

7.18 mv_simulado_edel

► **Objectivo**

Estimates θ in the SDE

$$dX_t = a(t, X_t; \theta) dt + b(t, X_t; \theta) dW_t$$

using the simulated maximum likelihood method. The optimization problem is

$$\max_{\theta} \frac{1}{n} \sum_i^n \log \left[\frac{1}{n_s} \sum_{j=1}^{n_s} \hat{p}(s, x, t, y) \right]$$

where $\hat{p}(s, x, t, y)$ is estimated using the routine:

```
p=est_dens_inhomogeneous(&sigma,&f,&A1,&B1,s,x,t,y,b,NN,simula,seed);
```

► **Formato**

```
{b,f0,grad,cov,retcode}=mv_simulado_edel(&sigma,&f,&A1,&B1,s,d,y,b0,NN,simula,rest);
```

► **Input**

s: initial value of t

► **Output**

► **Library**

```
library cml,est_edel;
```

► **Exemplo**

► **Fonte**

c:\gauss\srcnic\est_ed\mv_simu.src

7.19 mvs_pederson

► **Objectivo**

Estimar a EDE com coeficiente de difusão constante,

$$dX_t = a(X_t; \theta) dt + b(X_t; \theta) dW_t$$

através do método da máxima verosimilhança simulada de acordo com Pedersen(1995). O problema de optimização é

$$\max_{\theta} \frac{1}{n} \sum_i^n \log \left[\frac{1}{n_s} \sum_{j=1}^{n_s} \hat{p}(\Delta, X_{t_{i-1}}, X_{t_i}; \theta) \right]$$

onde

$$\hat{p}(\Delta, x, y; \theta) = \frac{1}{S} \sum_{s=1}^S h\left(\frac{\Delta}{N}, Y_{(N-1)\Delta/N, s}^{(N)}, y; \theta\right).$$

► **Formato**

{b,f0,grad,cov,retcode}=mvs_pederson(&f1,&f2,&f3,seed,par1,rest1,par2,rest2,y,d,nn,ns);

► **Input**

&f1: ponteiro para um procedimento que define a especificação funcional do coeficiente $a(x; \theta)$. Nota: o output é um vector com o mesmo número de linhas de x .

&f2: ponteiro para um procedimento que define a especificação funcional de $b(x; \theta)$. Nota: o output é um vector com o mesmo número de linhas de x .

&f3: ponteiro para um procedimento que define o esquema de simulação. Existem dois procedimentos disponíveis: &simula1 e &simulaSM1. Ambos baseiam-se no esquema de Euler com uma precisão associada de Δ/N . No segundo assume-se $a(x; \theta) = 0$. No caso &f3=0 o procedimento de simulação é &simula1 e se simultaneamente &f1=0 o procedimento é &simulaSM1.

seed: semente.

par1: valor inicial para o vector de parâmetros definidos em $a(x; \theta)$

rest1: vector de zeros e uns de dimensão igual à do vector θ definido em $a(x; \theta)$. Os zeros indicam que deve ser considerada a restrição de não negatividade; os uns indicam ausência de restrição.

par2: valor inicial para o vector de parâmetros definidos em $b(x; \theta)$

rest2: vetor de zeros e uns de dimensão igual à do vector θ definido em $b(x; \theta)$. Os zeros indicam que deve ser considerada a restrição de não negatividade; os uns indicam ausência de restrição.

y: vetor das observações do processo.

d: Δ , intervalo entre duas observações consecutivas, constante.

nn: valor de N .

ns: valor de n_s .

► Output

b: vetor das estimativas de θ .

f0: média do logaritmo da função de verosimilhança no maximizante.

gra: *score* no maximizante

cov: matriz das estimativas das variâncias-covariâncias de b (de pseudo máxima verosimilhança).

retcode: convergência. Se retcode = 0 convergência atingida.

► Library

```
library cml,est_ed;
```

► Fonte

c:\gauss\srcnic\est_ed\mvs_pede.src

7.20 pmv_cir

► Objectivo

Estimar a EDE $dX_t = \beta(\tau - X_t)dt + \sigma\sqrt{X_t}dW_t$ através do método da pseudo máxima verosimilhança.

► Formato

```
{b,f0,grad,cov,retcode,media,var}=pmv_cir(b0,d,y);
```

► Input

b0: valor inicial de (τ, β, σ) .

d: Δ , intervalo entre duas observações consecutivas, constante.

y: vetor das observações do processo.

► Output

b: vector das estimativas de (τ, β, σ) .

f0: média do logaritmo da função de verosimilhança no maximizante.

gra: *score* no maximizante

cov: matriz das estimativas das variâncias-covariâncias de b (de pseudo máxima verosimilhança).

retcode: convergência. Se retcode = 0 convergência atingida.

media: vector da média condicional de tipo $(n - 1) \times 1$ onde n é o número de observações.

var: vector da média condicional de tipo $(n - 1) \times 1$ onde n é o número de observações.

► Library

```
library cml,est_ed;
```

► Observações

O *score* é escrito analiticamente.

► Fonte

c:\gauss\srcnic\est_ed\pmv_cir.src

7.21 pmv_mom

► Objectivo

Estimar uma EDE através do método de pseudo máxima verosimilhança.

► Formato

```
{beta,f0,grad,cov,retcode,media,var}=pmv_mom(&f,b0,rest,y,d);
```

► Input

&f: ponteiro para um procedimento que define a especificação da média e variância condicional.

b0: valor inicial para o vector θ

rest: vector de zeros e uns de dimensão igual à do vector θ . Os zeros indicam que deve ser considerada a restrição de não negatividade; os uns indicam ausência de restrição.

y: vector das observações do processo.

d: Δ , intervalo entre duas observações consecutivas, constante.

► Output

beta: vetor das estimativas θ .

f0: média do logaritmo da função de verosimilhança no maximizante.

gra: *score* no maximizante

cov: matriz das estimativas das variâncias-covariâncias de b (de pseudo máxima verosimilhança).

retcode: convergência. Se retcode = 0 convergência atingida.

media: vetor da média condicional de tipo $(n - 1) \times 1$ onde n é o número de observações.

var: vetor da média condicional de tipo $(n - 1) \times 1$ onde n é o número de observações.

► Library

```
library est_edc, cml;
```

► Exemplo

(1) Estimação dos parâmetros da EDE $dX_t = \theta X_t dt + dW_t$ através do estimador baseado numa discretização de ordem 1.5 (ver exemplo ??, p. ??) (nota: os parâmetros desta EDE devem ser estimados pelo método da máxima verosimilhança - serve este exemplo apenas para ilucidar a aplicação do procedimento). A média condicional aproximada é $X_{t_{i-1}} + \theta X_{t_{i-1}} \Delta + \theta^2 X_{t_{i-1}} \frac{\Delta^2}{2}$. O programa a considerar é

```
library est_edc,cml; /* localização da rotinas */

...
/* ler o vector das observações y */
...
proc (2)=momentos(b,x);
    media=x + d*b[1]*x + d^2/2*b[1]^2*x;      /* em lugar de b[1] pode-se escrever,
simplemente, b */
    var=d;
    retp(media,var);
endp;

...
/* introduzir o valor inicial para b (guess), por exemplo: */
b=1;
```

```

rest = 0; /* impomos  $\theta \geq 0$  */
d = 0.05;
{beta,f0,grad,cov,retcode,media,var}=pmv_mom(&zmomentos,b0,rest,y,d);

```

(2) Estimação dos parâmetros da EDE

$$dX_t = b_1(b_2 - X_t)dt + b_3 X_t^{b_4} dW_t.$$

Os momentos condicionais são aproximados através de uma expansão de Ito-Taylor.

```

library est_edcml; /* localização da rotinas */

...
ler o vector das observações y
...
proc (2)=momentos(b,x);
  media=x + d*b[1]*(-x + b[2]) - (d^2*b[1]^2*(-x + b[2]))/2 + (d^3*b[1]^3*(-x
+ b[2]))/6 -
    (d^4*b[1]^4*(-x + b[2]))/24 + (d^5*b[1]^5*(-x + b[2]))/120;
  var=d*x^(2*b[4])*b[3]^2 - d^2*x^(2*b[4])*b[1]*b[3]^2 +
    (2*d^3*x^(2*b[4])*b[1]^2*b[3]^2)/3 - (d^4*x^(2*b[4])*b[1]^3*b[3]^2)/3 +
    (2*d^5*x^(2*b[4])*b[1]^4*b[3]^2)/15;
  retp(media,var);
endp;
...
/* introduzir o valor inicial para b (guess), por exemplo: */
b0 = {5,100,1,.3};
rest = {1,1,0,0}; /* impomos  $b_3$  e  $b_4$  maiores ou iguais a zero */
d = 0.05;
{beta,f0,grad,cov,retcode,media,var}=pmv_mom(&zmomentos,b0,rest,y,d);

```

Nota Final: O procedimento está construído para que "x" definido no "ponteiro" "proc (2)=momentos(b,x);" seja um vector. Se na média ou var definido em "proc (2)=momentos(b,x);" existir um produto do tipo $g(x)x$ onde $g(x)$ e x são vectores é necessário escrever $g(x).*x$ e não $g(x)*x$. Neste último caso o programa GAUSS tentaria, sem êxito, realizar um produto matricial quando na verdade o produto deve ser entre elementos homólogos.

► **Fonte**

c:\gauss\srcnic\est_ed\pmv_mom.src

7.22 pmv_s

► **Objectivo**

Estimar uma EDE através do método da pseudo máxima verosimilhança simulada [a média e a variância condicional são estimados através de simulações do processo - ver equação (??)]

► **Formato**

{b,f0,g,cov,retcode}=pmv_s(&f1,&f2,par1,res1,par2,res2,y,d,nn,ns);

► **Input**

&f1: ponteiro para um procedimento que define a especificação funcional do coeficiente $a(x; \theta_1)$.

&f2: ponteiro para um procedimento que define a especificação funcional do coeficiente $b(x; \theta_2)$.

par1: valor inicial para o vector θ_1 .

res1: vector de zeros e uns de dimensão igual à do vector θ_1 . Os zeros indicam que deve ser considerada a restrição de não negatividade; os uns indicam ausência de restrição.

par2: valor inicial para o vector θ_2 .

res2: vector de zeros e uns de dimensão igual à do vector θ_2 . Os zeros indicam que deve ser considerada a restrição de não negatividade; os uns indicam ausência de restrição.

y: vector das observações do processo.

d: Δ , intervalo entre duas observações consecutivas, constante.

nn: valor do parâmetro N [ver equação (??)].

ns: valor do parâmetro n_s .

► **Output**

b: vector das estimativas de θ_1 e θ_2 .

f0: média do logaritmo da função de verosimilhança no maximizante.

gra: *score* no maximizante

cov: matriz das estimativas das variâncias-covariâncias de b (de pseudo máxima verosimilhança).

retcode: convergência. Se retcode = 0 convergência atingida.

► **Library**

```
library cml,est_ed;
```

► **Fonte**

```
c:\gauss\srcnic\est_ed\pmv_s.src
```

7.23 pmv_vol_quad

► **Objectivo**

Estimar a EDE $dX_t = \beta(\tau - X_t)dt + \sqrt{\sigma + \lambda(X_t - \mu)^2}dW_t$ através do método da pseudo máxima verosimilhança.

► **Formato**

```
{b,f0,grad,cov,retcode,media,var}=pmv_vol_quad(b0,d,y);
```

► **Input**

b0: valor inicial de $(\beta, \tau, \sigma, \lambda, \mu)$.

d: Δ , intervalo entre duas observações consecutivas, constante.

y: vetor das observações do processo.

► **Output**

b: vetor das estimativas de $(\beta, \tau, \sigma, \lambda, \mu)$.

f0: média do logaritmo da função de verosimilhança no maximizante.

gra: *score* no maximizante.

cov: matriz das estimativas das variâncias-covariâncias de b (de pseudo máxima verosimilhança).

retcode: convergência. Se retcode = 0 convergência atingida.

media: vetor da média condicional de tipo $(n - 1) \times 1$ onde n é o número de observações.

var: vetor da média condicional de tipo $(n - 1) \times 1$ onde n é o número de observações.

► **Library**

```
library cml,est_ed;
```

► **Fonte**

```
c:\gauss\srcnic\est_ed\pmv_vq.src
```

7.24 pmvEuler

► Objectivo

Estimar uma EDE através do método de máxima verosimilhança da equação discretizada de acordo com o esquema de Euler (pode também ser considerado um método de pseudo máxima verosimilhança).

► Formato

```
{b,f0,grad,cov,retcode,media,var} = pmvEuler(&f1,&f2,par1,res1,par2,res2,y,d);
```

► Input

&f1: ponteiro para um procedimento que define a especificação funcional do coeficiente $a(x; \theta_1)$ (se $\&f1 = 0$ o drift é nulo).

&f2: ponteiro para um procedimento que define a especificação funcional do coeficiente $b(x; \theta_2)$.

par1: valor inicial para o vector θ_1 .

res1: vetor de zeros e uns de dimensão igual à do vector θ_1 . Os zeros indicam que deve ser considerada a restrição de não negatividade; os uns indicam ausência de restrição.

par2: valor inicial para o vector θ_2 .

res2: vetor de zeros e uns de dimensão igual à do vector θ_2 . Os zeros indicam que deve ser considerada a restrição de não negatividade; os uns indicam ausência de restrição.

y: vetor das observações do processo.

d: Δ , intervalo entre duas observações consecutivas, constante.

► Output

b: vetor das estimativas de θ_1 e θ_2

f0: média do logaritmo da função de verosimilhança no maximizante.

gra: *score* no maximizante

cov: matriz das estimativas das variâncias-covariâncias de b (de pseudo máxima verosimilhança).

retcode: convergência. Se retcode = 0 convergência atingida.

media: vetor da média condicional de tipo $(n - 1) \times 1$ onde n é o número de observações.

var: vetor da média condicional de tipo $(n - 1) \times 1$ onde n é o número de observações.

► **Library**

```
library est_edc, cml;
```

► **Exemplo**

Estimação dos parâmetros da EDE $dX_t = (\alpha_1 + \alpha_2 X_t) dt + \sqrt{\beta_1 + \beta_2 (X_t - \beta_3)^2} dW_t$.

```
library pmveuler,cml; /* localização da rotinas */
```

```
...
```

```
ler o vector das observações y
```

```
...
```

```
par1 = {10,-0.1};
```

```
res1 = {1,1}; /*  $\alpha_1$  e  $\alpha_2$  não estão sujeitos a restrições */
```

```
par2 = {0.1,0.1,100};
```

```
res2 = {0,0,1}; /*  $\beta_1$  e  $\beta_2$  estão sujeitos a restrições de não negatividade */
```

```
d = 0.05;
```

```
{b,f0,grad,cov,retcode,media,var} = pmveuler(&linear,&quadratica,par1,res1,par2,res2,y,d);
```

Nota: os "ponteiros" estão já definidos (são "conhecidos" pelo GAUSS) - ver FUNÇÕES no apêndice ??.

► **Fonte**

```
c:\gauss\srcnic\est_edc\pmvEuler.src
```

7.25 rs_tc_1

► **Objectivo**

Estimar o modelo com alterações de regime, $dX_t = a(t, X_t) dt + b(t, X_t) dW_t$ onde $a(t, x) = \beta_1(\tau_1 - X_t) I_1(t) + \beta_2(\tau_2 - X_t) I_2(t)$, $b(t, x) = \sigma_1 I_1(t) + \sigma_2 I_2(t)$, $I_1(t) = 1$ se em t , $S = 1$ (zeros noutros casos) e $I_2(t) = 1 - I_1(t)$. $S_i = S_{i\Delta}$ é uma cadeia de Markov homogénea em tempo discreto, $i \in \{1, 2, \dots, n\}$, com espaço de estados $\{1, 2\}$ e com probabilidades de transição

$$P = \begin{bmatrix} \alpha_{11} & 1 - \alpha_{11} \\ 1 - \alpha_{22} & \alpha_{22} \end{bmatrix}.$$

O modelo é estimado através do procedimento de Hamilton (1994) de acordo com as hipóteses A e B2 do ponto ??.

► **Formato**

```
{b,cov,m1,m2,media,var,prob1}=rs_tc_1(y,d,b0);
```

► **Input**

y: vector das observações do processo.

d: Δ , intervalo entre duas observações consecutivas (pode ser um vector).

b0: valor inicial para o vector dos parâmetros $(\tau_1, \beta_1, \sigma_1, \tau_2, \beta_2, \sigma_2, \alpha_{11}, \alpha_{22}, p_0)$, onde $p_0 = P [S_1 = 1 | X_{t_1}]$ (começar por considerar $p_0 = 0.5$).

► Output

b: vector das estimativas de $(\tau_1, \beta_1, \sigma_1, \tau_2, \beta_2, \sigma_2, \alpha_{11}, \alpha_{22}, p_0)$.

cov: matriz das estimativas das variâncias-covariâncias de b (de pseudo máxima verosimilhança).

m1: vector da média condicional do regime 1 ($S = 1$) de tipo $(n - 1) \times 1$ onde n é o número de observações.

m2: vector da média condicional do regime 2 ($S = 2$) de tipo $(n - 1) \times 1$ onde n é o número de observações.

media: vector da média condicional do processo de tipo $(n - 1) \times 1$.

var: vector da variância condicional do processo de tipo $(n - 1) \times 1$.

prob1: vector das probabilidades $P [S_{i-1} = 1 | X_{t_{i-1}}]$ estimadas de tipo $(n - 1) \times 1$ ($i = 2, \dots, n$ onde n é o número de observações).

► Library

```
library cml,est_ed;
```

► Fonte

c:\gauss\srcnic\est_ed\rs_tc.src

7.26 rs_tc_1a

► Objectivo

Igual a RS_TC1 com a diferença de que agora $\beta_1 = \tau_1 = 0$ (o regime 1 é um processo de Wiener).

► Formato

```
{b,f0,cov,f1,f2,m1,m2,media,var,prob1,retcode}=rs_tc_1a(y,d,b0);
```

► Input

y: vector das observações do processo.

d: Δ , intervalo entre duas observações consecutivas (pode ser um vector).

b0: valor inicial para o vector dos parâmetros $(\sigma_1, \tau_2, \beta_2, \sigma_2, \alpha_{11}, \alpha_{22}, p_0)$, onde $p_0 = P [S_1 = 1 | X_{t_1}]$ (começar por considerar $p_0 = 0.5$).

► Output

b: vector das estimativas de $(\sigma_1, \tau_2, \beta_2, \sigma_2, \alpha_{11}, \alpha_{22}, p_0)$.

cov: matriz das estimativas das variâncias-covariâncias de b (de pseudo máxima verosimilhança).

f1: vector de tipo $n \times 1$ densidade associada ao regime 1

f2: vector de tipo $n \times 1$ densidade associada ao regime 2

m1: vector da média condicional do regime 1 ($S = 1$) de tipo $(n - 1) \times 1$ onde n é o número de observações.

m2: vector da média condicional do regime 2 ($S = 2$) de tipo $(n - 1) \times 1$ onde n é o número de observações.

media: vector da média condicional do processo de tipo $(n - 1) \times 1$.

var: vector da variância condicional do processo de tipo $(n - 1) \times 1$.

prob1: vector das probabilidades $P [S_{i-1} = 1 | X_{t_{i-1}}]$ estimadas de tipo $(n - 1) \times 1$ ($i = 2, \dots, n$ onde n é o número de observações).

retcode:

► Library

```
library cml,est_ed;
```

► Fonte

```
c:\gauss\srcnic\est_ed\rs_tc.src
```

7.27 rs_tc_2

► Objectivo

Estimar o modelo com alterações de regime, $dX_t = a(t, X_t) dt + b(t, X_t) dW_t$ onde $a(t, x) = \beta_1(\tau_1 - X_t)I_1(t) + \beta_2(\tau_2 - X_t)I_2(t)$, $b(t, x) = \sigma_1\sqrt{X_t}I_1(t) + \sigma_2\sqrt{X_t}I_2(t)$ (ver notações em RS_TC_1).

► Formato

```
{b,cov,m1,m2,media,var,prob1}=rs_tc_2(r,d,b0);
```

► Input

y: vector das observações do processo.

d: Δ , intervalo entre duas observações consecutivas (pode ser um vector).

b0: valor inicial para o vector dos parâmetros $(\tau_1, \beta_1, \sigma_1, \tau_2, \beta_2, \sigma_2, \alpha_{11}, \alpha_{22}, p_0)$, onde $p_0 = P[S_1 = 1 | X_{t_1}]$ (começar por considerar $p_0 = 0.5$).

► Output

b: vector das estimativas de $(\tau_1, \beta_1, \sigma_1, \tau_2, \beta_2, \sigma_2, \alpha_{11}, \alpha_{22}, p_0)$.

cov: matriz das estimativas das variâncias-covariâncias de b (de pseudo máxima verosimilhança).

m1: vector da média condicional do regime 1 ($S = 1$) de tipo $(n - 1) \times 1$ onde n é o número de observações.

m2: vector da média condicional do regime 2 ($S = 2$) de tipo $(n - 1) \times 1$ onde n é o número de observações.

media: vector da média condicional do processo de tipo $(n - 1) \times 1$.

var: vector da variância condicional do processo de tipo $(n - 1) \times 1$.

prob1: vector das probabilidades $P[S_{i-1} = 1 | X_{t_{i-1}}]$ estimadas de tipo $(n - 1) \times 1$ ($i = 2, \dots, n$ onde n é o número de observações).

► Library

```
library cml,est_ed;
```

► Fonte

```
c:\gauss\srcnic\est_ed\rs_tc.src
```

7.28 rs_tc_3

► Objectivo

Estimar o modelo com alterações de regime, $dX_t = a(t, X_t) dt + b(t, X_t) dW_t$ onde $a(t, x) = \beta_1(\tau_1 - X_t)I_1(t)$, $b(t, x) = \sigma_1\sqrt{X_t}I_1(t) + \sigma_2\sqrt{X_t}I_2(t)$ (ver notações em RS_TC_1).

► Formato

```
{b,cov,m1,m2,media,var,prob1}=rs_tc_3(y,d,b0);
```

► Input

y: vector das observações do processo.

d: Δ , intervalo entre duas observações consecutivas (pode ser um vector).

b0: valor inicial para o vector dos parâmetros $(\tau_1, \beta_1, \sigma_1, \tau_2, \beta_2, \sigma_2, \alpha_{11}, \alpha_{22}, p_0)$, onde $p_0 = P[S_1 = 1 | X_{t_1}]$ (começar por considerar $p_0 = 0.5$).

► Output

b: vetor das estimativas de $(\tau_1, \beta_1, \sigma_1, \sigma_2, \alpha_{11}, \alpha_{22}, p_0)$.

cov: matriz das estimativas das variâncias-covariâncias de b (de pseudo máxima verosimilhança).

m1: vetor da média condicional do regime 1 ($S = 1$) de tipo $(n - 1) \times 1$ onde n é o número de observações.

m2: vetor da média condicional do regime 2 ($S = 2$) de tipo $(n - 1) \times 1$ onde n é o número de observações.

media: vetor da média condicional do processo de tipo $(n - 1) \times 1$.

var: vetor da variância condicional do processo de tipo $(n - 1) \times 1$.

prob1: vetor das probabilidades $P [S_{i-1} = 1 | X_{t_{i-1}}]$ estimadas de tipo $(n - 1) \times 1$ ($i = 2, \dots, n$ onde n é o número de observações).

► Library

```
library cml,est_ed;
```

► Fonte

c:\gauss\srcnic\est_ed\rs_tc.src

7.29 rs_tc_4

► Objectivo

Estimar o modelo com alterações de regime, $dX_t = a(t, X_t) dt + b(t, X_t) dW_t$ onde $a(t, x) = \beta_1(\tau_1 - X_t) I_1(t)$ e $b(t, x) = \sigma_1 X_t I_1(t) + \sigma_2 \sqrt{X_t} I_2(t)$ (ver notações em RS_TC_1).

► Formato

```
{b,cov,m1,m2,media,var,prob1}=rs_tc_4(y,d,b0);
```

► Input

y: vetor das observações do processo.

d: Δ , intervalo entre duas observações consecutivas (pode ser um vetor).

b0: valor inicial para o vetor dos parâmetros $(\tau_1, \beta_1, \sigma_1, \sigma_2, \alpha_{11}, \alpha_{22}, p_0)$, onde $p_0 = P [S_1 = 1 | X_{t_1}]$ (começar por considerar $p_0 = 0.5$).

► Output

b: vetor das estimativas de $(\tau_1, \beta_1, \sigma_1, \sigma_2, \alpha_{11}, \alpha_{22}, p_0)$.

cov: matriz das estimativas das variâncias-covariâncias de b (de pseudo máxima verosimilhança).

m1: vector da média condicional do regime 1 ($S = 1$) de tipo $(n - 1) \times 1$ onde n é o número de observações.

m2: vector da média condicional do regime 2 ($S = 2$) de tipo $(n - 1) \times 1$ onde n é o número de observações.

media: vector da média condicional do processo de tipo $(n - 1) \times 1$.

var: vector da variância condicional do processo de tipo $(n - 1) \times 1$.

prob1: vector das probabilidades $P [S_{i-1} = 1 | X_{t_{i-1}}]$ estimadas de tipo $(n - 1) \times 1$ ($i = 2, \dots, n$ onde n é o número de observações).

► Library

```
library cml,est_ed;
```

► Fonte

```
c:\gauss\srcnic\est_ed\rs_tc.src
```

7.30 rs_tc_5

► Objectivo

Estimar o modelo com alterações de regime, $dX_t = a(t, X_t) dt + b(t, X_t) dW_t$ onde $a(t, x) = \beta_1(\tau_1 - x)I_1(t) + \beta_2(\tau_2 - x)I_2(t)$, $b(t, x) = \sqrt{\sigma_1^2 + \lambda_1(x - \mu_1)^2}I_1(t) + \sqrt{\sigma_2^2 + \lambda_2(x - \mu_2)^2}I_2(t)$ (ver notações em RS_TC_1).

► Formato

```
{b,cov,m1,m2,media,var,prob1}=rs_tc_5(y,d,b0);
```

► Input

y: vector das observações do processo.

d: Δ , intervalo entre duas observações consecutivas (pode ser um vector).

b0: valor inicial para o vector dos parâmetros $(\beta_1, \tau_1, \sigma_1, \lambda_1, \mu_1, \beta_2, \tau_2, \sigma_2, \lambda_2, \mu_2, \alpha_{11}, \alpha_{22}, p_0)$, onde $p_0 = P [S_1 = 1 | X_{t_1}]$ (começar por considerar $p_0 = 0.5$).

► Output

b: vector das estimativas de $(\beta_1, \tau_1, \sigma_1, \lambda_1, \mu_1, \beta_2, \tau_2, \sigma_2, \lambda_2, \mu_2, \alpha_{11}, \alpha_{22}, p_0)$.

cov: matriz das estimativas das variâncias-covariâncias de b (de pseudo máxima verosimilhança).

m1: vetor da média condicional do regime 1 ($S = 1$) de tipo $(n - 1) \times 1$ onde n é o número de observações.

m2: vetor da média condicional do regime 2 ($S = 2$) de tipo $(n - 1) \times 1$ onde n é o número de observações.

media: vetor da média condicional do processo de tipo $(n - 1) \times 1$.

var: vetor da variância condicional do processo de tipo $(n - 1) \times 1$.

prob1: vetor das probabilidades $P [S_{i-1} = 1 | X_{t_{i-1}}]$ estimadas de tipo $(n - 1) \times 1$ ($i = 2, \dots, n$ onde n é o número de observações).

► Library

```
library cml,est_ed;
```

► Fonte

```
c:\gauss\srcnic\est_ed\rs_tc.src
```

7.31 var_kernel1

► Objectivo

Estimar não parametricamente o coeficiente $b^2(x)$ (da equação $dX_t = a(X_t) dt + b(X_t) dW_t$). O estimador é:

$$S_n(x) = \frac{\sum_{i=1}^{n-1} \mathcal{I}_{\{|X_{t_i}-x|<h\}} \frac{(X_{t_{i+1}}-X_{t_i})^2}{\Delta}}{\sum_{i=1}^{n-1} \mathcal{I}_{\{|X_{t_i}-\xi|<h\}}}.$$

► Formato

```
{x,v,vary,k,liminf,limsup} = var_kernel1(y,d,pontos,h,interpola,controle);
```

► Input

y: vetor de observações $(X_{t_1}, \dots, X_{t_n})$ do processo X .

d: Δ , intervalo entre duas observações consecutivas, constante.

pontos: número de pontos x_i para os quais se calcula $S_n(x_i)$. Isto é $i = 1, 2, \dots, \text{pontos}$.

h: bandwith

interpola: assume $\{0, 1\}$. Se interpola = 1 calcula, por interpolação, $S_n(x_i)$, onde x_i assume todos os valores observados do processo X .

controle: assume $\{1, 2, \dots\}$. O procedimento calcula estimativas para $b^2(x)$ apenas quando

$$\sum_{i=1}^n \mathcal{I}_{\{|X_{t_i}-x|<h\}} \geq \text{controle}.$$

Aconselha-se um valor entre 10 e 20.

► Output

x: vetor x de tipo $k \times 1$ onde $k \leq$ pontos.

v: vetor $S_n(x)$ de tipo $k \times 1$

vary: igual a zero se interpola = 0 e igual a $S_n(x_i)$ de tipo $n \times 1$ onde n é o número de observações de X se interpola = 1.

k: vetor $\sum_{i=1}^n \mathcal{I}_{\{|X_{t_i}-x|<h\}}$ de tipo $k \times 1$.

liminf: vetor de tipo $k \times 1$ que representa o limite inferior do intervalo de confiança a 95% para $b^2(x)$.

limsup: vetor de tipo $k \times 1$ que representa o limite superior do intervalo de confiança a 95% para $b^2(x)$.

► Library

```
library est_ed;
```

► Fonte

```
c:\gauss\srcnic\est_ed\ nao_p_tc.src
```

7.32 var_kernel2

► Objectivo

Estimar não parametricamente o coeficiente $b^2(x)$ (da equação $dX_t = a(X_t) dt + b(X_t) dW_t$). O estimador é:

$$V_n(\xi) = \frac{\sum_{i=1}^{n-1} \mathcal{I}_{\{|X_{t_i}-x|<h\}} \frac{(X_{t_{i+1}} - X_{t_i} - a(X_{t_i}))^2}{\Delta}}{\sum_{i=1}^{n-1} \mathcal{I}_{\{|X_{t_i}-x|<h\}}}.$$

onde se admite que a é do tipo $a(x; \theta) = \theta_1 + \theta_2 x$.

► Formato

```
{x,v,vary,k,liminf,limsup} = var_kernel2(y,d,pontos,h,interpola,controle);
```

► Input

y: vetor de observações $(X_{t_1}, \dots, X_{t_n})$ do processo X .

d: Δ , intervalo entre duas observações consecutivas, constante.

pontos: número de pontos ξ_i . Isto é $i = 1, 2, \dots, n$ pontos.

interpola: assume $\{0, 1\}$. Se interpola = 1 calcula, por interpolação, $b^2(x_i)$, onde x_i assume todos os valores observados do processo X .

controle: assume $\{1, 2, \dots\}$. O procedimento calcula estimativas para $b^2(x_i)$ apenas quando

$$\sum_{i=1}^n \mathcal{I}_{\{|X_{t_i}-x|<h\}} \geq \text{controle}.$$

Aconselha-se um valor entre 10 e 20.

► Output

x: vetor x de tipo $k \times 1$ onde $k \leq$ pontos.

v: vetor $V_n(x)$ de tipo $k \times 1$

vary: igual a zero se interpola = 0 e igual a $V_n(x_i)$ de tipo $n \times 1$ onde n é o número de observações de X se interpola = 1.

k: vetor $\sum_{i=1}^n \mathcal{I}_{\{|X_{t_i}-x|<h\}}$ de tipo $k \times 1$.

liminf: vetor de tipo $k \times 1$ que representa o limite inferior do intervalo de confiança a 95% para $b^2(x)$.

limsup: vetor de tipo $k \times 1$ que representa o limite superior do intervalo de confiança a 95% para $b^2(x)$.

► Library

```
library est_ed;
```

► Observações

Os parâmetros do coeficiente a são estimados pelo método dos mínimos quadrados.

► Fonte

```
c:\gauss\srcnic\est_ed\ nao_p_tc.src
```

7.33 var_kernel3

► Objectivo

Estimar não parametricamente o coeficiente $b^2(x)$ (da equação $dX_t = a(X_t)dt + b(X_t)dW_t$). O estimador é:

$$v(x) = \frac{\sum_{i=1}^{n-1} K\left(\frac{X_{t_i}-x}{h}\right) \frac{(X_{t_{i+1}}-X_{t_i})^2}{\Delta}}{\sum_{i=1}^{n-1} K\left(\frac{X_{t_i}-x}{h}\right)}$$

onde $K(u) = (2\pi)^{-\frac{1}{2}} e^{-\frac{u^2}{2}}$ e $h = (4/3)^{1/5} \hat{\sigma}_X n^{-1/5}$.

► Formato

```
{x,v,liminf,limsup}=var_kernel3(y,pontos,ic,d);
```

► Input

y: vetor de observações $(X_{t_1}, \dots, X_{t_n})$ do processo X .

pontos: número de pontos x_i para os quais se calcula $v(x_i)$. Isto é $i = 1, 2, \dots$, pontos.

Se pontos = 0, calcula-se $v(x_i)$ onde x_i assume todos os valores da amostra $(X_{t_1}, \dots, X_{t_n})$ que satisfazem o parâmetro ic (ver a seguir).

ic: assume um valor no intervalo $]0, 1]$. Se $ic \in]0, 1[$ o procedimento é apenas executado para os valores $(X_{t_1}, \dots, X_{t_n})$ que se encontram entre o percentil $(1 - ic)/2$ e o percentil $(1 + ic)/2$. As estimativas de $b(x)$ são portanto aparadas.

d: Δ , intervalo entre duas observações consecutivas, constante.

► Output

x: vetor x .

v: vetor $v(x)$.

liminf: vetor com dimensão igual à do vetor x que representa o limite inferior do intervalo de confiança a 95% para $b^2(x)$.

limsup: vetor com dimensão igual à do vetor x que representa o limite superior do intervalo de confiança a 95% para $b^2(x)$.

► Library

```
library est_ed;
```

► Fonte

```
c:\gauss\srcnic\est_ed\ nao_p_tc.src
```

7.34 var_kernel4

► Objectivo

Estimar não parametricamente o coeficiente $b^2(x)$ (da equação $dX_t = a(X_t)dt + b(X_t)dW_t$). O estimador é:

$$V_n^*(x) = \frac{\sum_{i=1}^{n-1} \mathcal{I}_{\{|X_{t_i}-x|<h\}} \frac{(X_{t_{i+1}} - X_{t_i} - T_n(X_{t_i}))\Delta}{\Delta}}{\sum_{i=1}^{n-1} \mathcal{I}_{\{|X_{t_i}-x|<h\}}}.$$

onde T_n é o estimador DRIFT_KERNEL1.

► Formato

```
{xM,med,medy,kM,liminfM,limsupM,xV,v,vary,kV,liminfV,limsupV} =
```

```
var_kernel4(y,d,pontosM,pontosV,h,interpola,controle);
```

► Input

y: vetor de observações $(X_{t_1}, \dots, X_{t_n})$ do processo X .

d: Δ , intervalo entre duas observações consecutivas, constante.

pontosM: (referente a T_n) número de pontos x_i . Isto é $i = 1, 2, \dots$, pontos. Aconselha-se um valor alto.

pontosV: (referente a V_n^*) número de pontos x_i . Isto é $i = 1, 2, \dots$, pontos.

h: bandwith.

interpola: assume $\{0, 1\}$. Se interpola = 1 calcula, por interpolação, $b^2(x_i)$, onde x_i assume todos os valores observados do processo X .

controle: assume $\{1, 2, \dots\}$. O procedimento calcula estimativas para $b^2(\xi_i)$ apenas quando

$$\sum_{i=1}^n \mathcal{I}_{\{|X_{t_i}-x|<h\}} \geq \text{controle}.$$

Aconselha-se um valor entre 10 e 20.

► Output

xM: vetor x de tipo $k \times 1$ onde $k \leq$ pontos.

med: vetor $\hat{a}(x)$ de tipo $k \times 1$

medy: igual a zero se interpola = 0 e igual a $\hat{a}(x_i)$ de tipo $n \times 1$ onde n é o número de observação de X se interpola = 1.

kM: vetor $\sum_{i=1}^n \mathcal{I}_{\{|X_{t_i}-x|<h\}}$ de tipo $kM \times 1$ (relativo ao estimador T_n).

lim_infM: vetor de tipo pontos $\times 1$ referente ao limite inferior do intervalo de confiança a 95% para $\hat{a}(x_i)$.

lim_supM: vetor de tipo pontos $\times 1$ referente ao limite superior do intervalo de confiança a 95% para $\hat{a}(x_i)$.

xV: vetor x de tipo $kV \times 1$ onde $kV \leq$ pontosV.

v: vetor $V_n^*(x)$ de tipo $k \times 1$

vary: igual a zero se interpola = 0 e igual a $V_n^*(x_i)$ de tipo $n \times 1$ onde n é o número de observações de X se interpola = 1.

kV: vetor $\sum_{i=1}^n \mathcal{I}_{\{|X_{t_i}-x|<h\}}$ de tipo $kV \times 1$ (relativo ao estimador V_n^*).

liminfV: vetor de tipo $kV \times 1$ que representa o limite inferior do intervalo de confiança a 95% para $b^2(x)$.

limsupV: vetor de tipo $kV \times 1$ que representa o limite superior do intervalo de confiança a 95% para $b^2(x)$.

► Library

library est_ed;

► Fonte

c:\gauss\srcnic\est_ed\ nao_p_tc.src

7.35 var_kernel5

► Objectivo

Estimar não parametricamente os coeficientes $a(x)$ e $b^2(x)$ (da equação $dX_t = a(X_t)dt + b(X_t)dW_t$). Os estimador são:

$$T_n(x) = \frac{\sum_i K\left(\frac{X_{t_i}-x}{h}\right) \frac{(X_{t_{i+1}}-X_{t_i})}{\Delta}}{\sum_i K\left(\frac{X_{t_i}-x}{h}\right)}, S_n(x) = \frac{\sum_i K\left(\frac{X_{t_i}-x}{h}\right) \frac{(X_{t_{i+1}}-X_{t_i})^2}{\Delta}}{\sum_i K\left(\frac{X_{t_i}-x}{h}\right)}$$

onde K é o kernel gaussiano.

► Formato

{x,B,drift,ic_drift,diffusion,ic_diffusion}=var_kernel5(y,xi,pontos,d,ic,controle);

► Input

y: vector de observações $(X_{t_1}, \dots, X_{t_n})$ do processo X .

xi: vector $x = (x_1, \dots)$ em relação aos quais se calculam as estimativas para $a(x_1)$, $a(x_2), \dots$ e $b^2(x_1)$, $b^2(x_2), \dots$. Seja rows(x)=p. Se p>1 então pontos=p (qualquer que seja o valor atribuído a pontos) e x (output) vem igual a xi. Se p=1 o procedimento calcula internamente xi de acordo com o valor atribuído em "pontos". Neste caso o output x resulta do procedimento. A variável controle é posta em zero.

pontos: número de pontos x_i . Isto é $i = 1, 2, \dots, \text{pontos}$. (ver xi)

d: Δ , intervalo entre duas observações consecutivas, constante.

ic: nível de confiança do intervalo de confiança.

controle: assume $\{1, 2, \dots\}$. O procedimento calcula estimativas para $b^2(\xi_i)$ apenas quando

$$\sum_i K\left(\frac{X_{t_i}-x}{h}\right) > \text{controle}.$$

(ver xi)

► Output

x: vector x de tipo $k \times 1$ onde $k \leq \text{pontos}$. (ver xi em input)

B: vector $B_n(x) = \sum_i K\left(\frac{X_{t_i}-x}{h}\right)$ de tipo $k \times 1$ (estimativa da fdp estacionária).

drift:

ic_drift:

ic_diffusion:

► Library

library est_ed;

► Observações

A bandwith é definida como $h = \text{_factor_h} * (4/3)^{0.2} * \text{sigmay}^{(n-1)^{-1/5}}$. Por default, $\text{_factor_h}=1$. Esta variável é global.

► Fonte

c:\gauss\srcnic\est_ed\ nao_p_tc.src

7.36 var_kernel6

► Purpose

Estimates $a(x)$ and $b^2(x)$ (in the SDE $dX_t = a(X_t)dt + b(X_t)dW_t$). The estimators for $a(x)$ and $b^2(x)$ are respectively

$$T_n(x) = \frac{\sum_i K\left(\frac{X_{t_i}-x}{h}\right) \frac{(X_{t_{i+1}}-X_{t_i})}{\Delta}}{\sum_i K\left(\frac{X_{t_i}-x}{h}\right)}, \quad V_n^*(x) = \frac{\sum_i K\left(\frac{X_{t_i}-x}{h}\right) \frac{(X_{t_{i+1}}-X_{t_i}-T_n(x)\Delta)^2}{\Delta}}{\sum_i K\left(\frac{X_{t_i}-x}{h}\right)}$$

where K is the Gaussian kernel.

► Format

{x,B,drift,ic_drift,diffusion,ic_diffusion}=var_kernel6(y,xi,points,d,ic,control);

► Input

y: vector of observation $(X_{t_1}, \dots, X_{t_n})$

xi: vector or scalar. Vector $x = (x_1, \dots)$ from which the estimates $a(x_1), a(x_2), \dots$ and $b^2(x_1), b^2(x_2), \dots$ are calculated. If xi is a scalar (regardless its value) the procedure calculates x_i (using seqa function) according to the value defined in points. In this case “control” takes on the value zero.

points: scalar, number of points x_i .

d: scalar, Δ , interval between two consecutive observations

ci: confidence interval (e.g. 0.95)

control: scalar. The procedure estimates $b^2(\xi_i)$ if

$$\sum_i K\left(\frac{X_{t_i} - x}{h}\right) > \text{control.}$$

► Output

x: $k \times 1$ vector x_i ($k \leq \text{points}$).

B: $k \times 1$ vector $B_n(x) = \sum_i K\left(\frac{X_{t_i} - x}{h}\right)$

drift:

ic_drift:

ic_diffusion:

► Library

library est_ed;

► Remark

The bandwidth is defined as $h = \text{factor_h} * (4/3)^{.2} * \text{sigmay}^{(n-1)^{(-1/5)}}$. By default `_factor_h=1`. This variable is global.

► Source

c:\gauss\srcnic\est_ed\ nao_p_tc.src

7.37 var_kernel7

► Objectivo

Estimar não parametricamente os coeficientes $a(x)$ e $b^2(x)$ (da equação $dX_t = a(X_t) dt + b(X_t) dW_t$). Os estimador são:

$$T_n(x) = \frac{\sum_i K\left(\frac{X_{t_i} - x}{h}\right) \frac{(X_{t_{i+1}} - X_{t_i})}{\Delta}}{\sum_i K\left(\frac{X_{t_i} - x}{h}\right)}, V_n^{**}(x) = \frac{\sum_i K\left(\frac{X_{t_i} - x}{h}\right) \frac{(X_{t_{i+1}} - X_{t_i} - a(x;\theta)\Delta)^2}{\Delta}}{\sum_i K\left(\frac{X_{t_i} - x}{h}\right)}$$

onde K é o kernel gaussiano.

► Formato

```
{x,B,drift,driftV(par1,x),ic_drift,diffusion,ic_diffusion}=var_kernel7(&driftV,par1,y,pontos,d,ic,com
```

► Input

driftV: ponteiro para $a(x;\theta)$. Ver V_n^{**} .

par1: θ

y: vetor de observações $(X_{t_1}, \dots, X_{t_n})$ do processo X .

pontos: número de pontos x_i . Isto é $i = 1, 2, \dots$, pontos.

d: Δ , intervalo entre duas observações consecutivas, constante.

ic: nível de confiança do intervalo de confiança.

controle: assume $\{1, 2, \dots\}$. O procedimento calcula estimativas para $b^2(\xi_i)$ apenas quando

$$\sum_i K\left(\frac{X_{t_i} - x}{h}\right) > \text{controle}.$$

► Output

x: vetor x de tipo $k \times 1$ onde $k \leq$ pontos.

B: vetor $B_n(x) = \sum_i K\left(\frac{X_{t_i} - x}{h}\right)$ de tipo $k \times 1$ (estimativa da fdp estacionária).

drift: vetor $T_n(x)$ de tipo $k \times 1$ onde $k \leq$ pontos.

driftV: vetor $a(x; \theta)$ de tipo $k \times 1$ onde $k \leq$ pontos.

ic_drift:

ic_diffusion:

► Library

library est_ed;

► Observações

A bandwith é definida como $h = \text{factor_h} * (4/3)^{.2} * \text{sigmay}^{(n-1)^{(-1/5)}}$. Por defeito, $\text{factor_h}=1$. Esta variável é global.

► Fonte

c:\gauss\srcnic\est_ed\ nao_p_tc.src

7.38 vqe_tc1

► Objectivo

Estimar o modelo

$$dX_t = \sqrt{\alpha_0^2 + \alpha_1 (X_t - \mu_t)^2} dW_t,$$
$$d\mu_t = \lambda (X_t - \mu_t) dt + \sigma dW_{t,2}$$

através do problema de optimização $\min_{\theta} Q_n(\theta)$ onde $\theta = (\alpha_0, \alpha_1, \lambda, \sigma, \mu_0)$,

$$Q_n(\theta) = \frac{1}{n} \sum_{i=1}^n \left(\frac{1}{2} \log \overline{Var} [X_{t_i} | X_{t_{i-1}}, \tilde{\mu}; \theta] + \frac{1}{2} \frac{(X_{t_i} - X_{t_{i-1}})^2}{\overline{Var} [X_{t_i} | X_{t_{i-1}}, \tilde{\mu}; \theta]} \right),$$

$$\overline{Var} [X_{t_i} | X_{t_{i-1}}, \tilde{\mu}; \theta] = \frac{1}{S} \sum_{h=1}^S Var [X_{t_i} | X_{t_{i-1}}, \mu_{t_{i-1}}^h; \theta], \quad (a)$$

$$Var [X_{t_i} | X_{t_{i-1}}; \theta] = \frac{2\alpha_0^2 \lambda + \alpha_1 \sigma^2}{2\lambda - a_1} \Delta + \frac{\alpha_1 (a_0^2 + \sigma^2) (-1 + e^{(\alpha_1 - 2\lambda)\Delta})}{(2\lambda - a_1)^2}$$

$$+ \frac{\alpha_1 (1 - e^{(\alpha_1 - 2\lambda)\Delta})}{2\lambda - \alpha_1} (X_{t_{i-1}} - \mu_{t_{i-1}}^h)^2.$$

Dado $\mu_{t_0} = \mu_0$, o processo μ_t pode ser simulado por uma das seguintes hipóteses

$$\mu_{t_i}^h = \mu_{t_{i-1}}^h + \lambda (X_{t_{i-1}} - \mu_{t_{i-1}}^h) \Delta + \sigma \sqrt{\Delta} \varepsilon_{t_i}, \quad (i)$$

$$\mu_{t_i}^h = e^{-\lambda \Delta} \lambda \left(\frac{X_{t_i} e^{\lambda \Delta} + X_{t_{i-1}}}{2} \right) \Delta + e^{-\lambda \Delta} \mu_{t_{i-1}}^h + \sqrt{\frac{\sigma^2}{2\lambda} (1 - e^{-2\lambda \Delta})} \varepsilon_{t_i}, \quad (ii)$$

$$\mu_{t_i}^h = (1 - e^{-\lambda \Delta}) X_{t_{i-1}} + e^{-\lambda \Delta} \mu_{t_{i-1}}^h + \sqrt{\frac{\sigma^2}{2\lambda} (1 - e^{-2\lambda \Delta})} \varepsilon_{t_i} \quad (iii)$$

$$\varepsilon_{t_i} \sim N(0, 1).$$

► Formato

{b,f0,grad,cov,retcode,miu,media,var}=vqe_tc1(y,d,aprox,s,seed,b0);

► Input

y: vetor das observações do processo.

d: Δ , intervalo entre duas observações consecutivas, constante.

aprox: Define a aproximação a considerar para μ_t , (i), (ii) ou (iii), respectivamente, $aprox=1$, $aprox=2$, $aprox=3$.

s: número de simulações S .

b0: vetor dos parâmetros iniciais.

► Output

b: vetor das estimativas.

f0: média do logaritmo da função de verosimilhança no maximizante.

gra: score no maximizante

cov: matriz das estimativas das variâncias-covariâncias de b (de pseudo máxima verosimilhança).

retcode: convergência. Se retcode = 0 convergência atingida.

miu: vetor das estimativas de μ_t .

media: vetor da média condicional.

var: vetor da variância condicional obtida de acordo com (a).

► Library

```
library cml, est_ed;
```

► Fonte

```
c:\gauss\srcnic\est_etd\vqe_tc.src
```

7.39 vqe_tc2

► Objectivo

Estimar o modelo

$$dX_t = \sqrt{\alpha_0^2 + \alpha_1 (X_t - \mu_t)^2} dW_t$$

$$d\mu_t = \lambda (X_t - \mu_t) dt,$$

através do problema de optimização $\min_{\theta} Q_n(\theta)$ onde $\theta = (\alpha_0, \alpha_1, \lambda, \mu_0)$,

$$Q_n(\theta) = \frac{1}{n} \sum_{i=1}^n \left(\frac{1}{2} \log \text{Var} [X_{t_i} | X_{t_{i-1}}, \mu_{t_{i-1}}; \theta] + \frac{1}{2} \frac{(X_{t_i} - X_{t_{i-1}})^2}{\text{Var} [X_{t_i} | X_{t_{i-1}}, \mu_{t_{i-1}}; \theta]} \right),$$

$$\text{Var} [X_{t_i} | X_{t_{i-1}}; \theta] = \frac{2\alpha_0^2\lambda + \alpha_1\sigma^2}{2\lambda - a_1}\Delta + \frac{\alpha_1(a_0^2 + \sigma^2)(-1 + e^{(\alpha_1 - 2\lambda)\Delta})}{(2\lambda - a_1)^2}$$

$$+ \frac{\alpha_1(1 - e^{(\alpha_1 - 2\lambda)\Delta})}{2\lambda - \alpha_1} (X_{t_{i-1}} - \mu_{t_{i-1}})^2.$$

Dado $\mu_{t_0} = \mu_0$, o processo μ_t é aproximado por uma das seguintes hipóteses

$$\mu_{t_i} = \mu_{t_{i-1}} + \lambda (X_{t_{i-1}} - \mu_{t_{i-1}}) \Delta, \quad (\text{i})$$

$$\mu_{t_i} = e^{-\lambda\Delta} \lambda \left(\frac{X_{t_i} e^{\lambda\Delta} + X_{t_{i-1}}}{2} \right) \Delta + e^{-\lambda\Delta} \mu_{t_{i-1}}, \quad (\text{ii})$$

$$\mu_{t_i} = (1 - e^{-\lambda\Delta}) X_{t_{i-1}} + e^{-\lambda\Delta} \mu_{t_{i-1}}. \quad (\text{iii})$$

► Formato

```
{b,f0,grad,cov,retcode,miu,media,var}=vqe_tc2(x,d,aprox,b0);
```

► Input

y: vetor das observações do processo.

d: Δ , intervalo entre duas observações consecutivas, constante.

aprox: Define a aproximação a considerar para μ_t , (i), (ii) ou (iii), respectivamente, $\text{aprox}=1$, $\text{aprox}=2$, $\text{aprox}=3$.

b0: vetor dos parâmetros iniciais.

► Output

b: vetor das estimativas.

f0: média do logaritmo da função de verosimilhança no maximizante.

gra: *score* no maximizante

cov: matriz das estimativas das variâncias-covariâncias de b (de pseudo máxima verosimilhança).

retcode: convergência. Se $\text{retcode} = 0$ convergência atingida.

miu: vetor das estimativas de μ_t .

media: vetor da média condicional.

var: vetor da variância condicional.

► Library

```
library cml, est_ed;
```

► Fonte

c:\gauss\srcnic\est_etd\vqe_tc.src

7.40 vq_tc3

► Objectivo

Estimar o modelo

$$dX_t = (k_0 + k_1 X_t) dt + \sqrt{\alpha_0^2 + \alpha_1 (X_t - \mu_t)^2} dW_t$$

$$d\mu_t = \lambda (X_t - \mu_t) dt,$$

através do problema de optimização $\min_{\theta} Q_n(\theta)$ onde $\theta = (k_0, k_1, \alpha_0, \alpha_1, \lambda, \mu_0)$ e

$$Q_n(\theta) = \frac{1}{n} \sum_{i=1}^n \left(\frac{1}{2} \log v_{t_i} (\theta, X_{t_{i-1}}, \mu_{t_{i-1}}, \varepsilon) + \frac{1}{2} \frac{(X_{t_i} - m_{t_i} (\theta, X_{t_{i-1}}, \mu_{t_{i-1}}, \varepsilon))^2}{v_{t_i} (\theta, X_{t_{i-1}}, \mu_{t_{i-1}}, \varepsilon)} \right)$$

sendo que $m_{t_i}(\theta, X_{t_{i-1}}, \mu_{t_{i-1}}, \varepsilon) = m_{t_i}(\theta, X_{t_{i-1}})$ é a média condicional exacta

$$m_{t_i}(\theta, X_{t_{i-1}}) = -\frac{k_0}{k_1} + \frac{e^{k_1 \Delta} (k_0 + k_1 X_{t_{i-1}})}{k_1}$$

e $v_{t_i}(\theta, X_{t_{i-1}}, \mu_{t_{i-1}}, \varepsilon)$ é a variância condicional obtida por simulação. O estimador para $\text{Var}[X_\Delta | X_0, \mu_0; \theta]$ (supondo conhecida a média condicional):

$$v_\Delta(\theta, X_0, \mu_0, \varepsilon) = \frac{1}{S} \sum_{k=1}^S \left(Y_{k,\Delta}^{(N)} - m_{t_i}(\theta, X_{t_{i-1}}) \right)^2$$

onde $Y_{k,\Delta}^{(N)} = Y_\Delta^{(N)}$ (k -ésima aproximação para o valor X_Δ) é obtido de acordo com o esquema de Euler (ver o ponto ??; note-se que $\lim_{N \rightarrow +\infty} E[v_\Delta(\theta, X_0, \mu_0, \varepsilon) | X_0, \mu_0] = \text{Var}[X_\Delta | X_0, \mu_0; \theta]$).

► Formato

{b,f0,grad,cov,retcode,media,var}=vq_tc3(y,d,N,s,seed,b0);

► Input

y: vetor das observações do processo.

d: Δ , intervalo entre duas observações consecutivas, constante.

N: valor maior ou igual a um.

s: Número de simulações S .

b0: vetor dos parâmetros iniciais.

► Output

b: vetor das estimativas.

f0: média do logaritmo da função de verosimilhança no maximizante.

gra: *score* no maximizante

cov: matriz das estimativas das variâncias-covariâncias de b (de pseudo máxima verosimilhança).

retcode: convergência. Se retcode = 0 convergência atingida.

media: vetor da média condicional.

var: vetor da variância condicional.

► Library

library cml, est_edc;

► Observações

O vector μ encontra-se em memória. Basta invocar `miu`.

► Fonte

`c:\gauss\srcnic\est_etd\vqe_tc.src`

7.41 vq_tc4

► Objectivo

Estimar o modelo

$$dX_t = \sqrt{\alpha_0^2 + \alpha_1 (X_t - \mu_t)^2} dW_t \\ d\mu_t = \lambda (X_t - \mu_t) dt,$$

através do problema de optimização $\min_{\theta} Q_n(\theta)$ onde $\theta = (\alpha_0, \alpha_1, \lambda, \mu_0)$ e

$$Q_n(\theta) = \frac{1}{n} \sum_{i=1}^n \left(\frac{1}{2} \log v_{t_i}(\theta, X_{t_{i-1}}, \mu_{t_{i-1}}, \varepsilon) + \frac{1}{2} \frac{(X_{t_i} - X_{t_{i-1}})^2}{v_{t_i}(\theta, X_{t_{i-1}}, \mu_{t_{i-1}}, \varepsilon)} \right)$$

sendo $v_{t_i}(\theta, X_{t_{i-1}}, \mu_{t_{i-1}}, \varepsilon)$ a variância condicional obtida por simulação. O estimador para $Var[X_{\Delta} | X_0, \mu_0; \theta]$ (supondo conhecida a média condicional):

$$v_{\Delta}(\theta, X_0, \mu_0, \varepsilon) = \frac{1}{S} \sum_{k=1}^S \left(Y_{k,\Delta}^{(N)} - m_{t_i}(\theta, X_{t_{i-1}}) \right)^2$$

onde $Y_{k,\Delta}^{(N)} = Y_{\Delta}^{(N)}$ (k -ésima aproximação para o valor X_{Δ}) é obtido de acordo com o esquema de Euler (ver o ponto ??; note-se que $\lim_{N \rightarrow +\infty} E[v_{\Delta}(\theta, X_0, \mu_0, \varepsilon) | X_0, \mu_0] = Var[X_{\Delta} | X_0, \mu_0; \theta]$).

► Formato

{b,f0,grad,cov,retcode,media,var}=vq_tc4(y,d,N,s,seed,b0);

► Input

y: vector das observações do processo.

d: Δ , intervalo entre duas observações consecutivas, constante.

N: valor maior ou igual a um.

s: Número de simulações S .

b0: vector dos parâmetros iniciais.

► Output

b: vector das estimativas.

f0: média do logaritmo da função de verosimilhança no maximizante.

gra: *score* no maximizante

cov: matriz das estimativas das variâncias-covariâncias de b (de pseudo máxima verosimilhança).

retcode: convergência. Se retcode = 0 convergência atingida.

media: vector da média condicional.

var: vector da variância condicional.

► Library

```
library cml, est_ed;
```

► Observações

O vector μ encontra-se em memória. Basta invocar miu.

► Fonte

```
c:\gauss\srcnic\est_etd\vqe_tc.src
```

8 Estimação de Equações em Tempo Discreto[est_etd]

8.1 empirical_CDF

► Objectivo

Dado $\{y_1, \dots, y_n\}$ estima $\{F_n(y_1), \dots, F_n(y_n)\}$ onde

$$\hat{\tau}_i \equiv F_n(y_i) = \frac{1}{n} \sum_{k=1}^n \mathcal{I}_{\{y_k \leq y_i\}}$$

► Formato

```
tau=empirical_CDF(y);
```

► Input

y: vetor das observações do processo.

► Output

tau: $\{F_n(y_1), \dots, F_n(y_n)\}$.

► Library

```
library est_etd;
```

► Fonte

```
c:\gauss\srcnic\est_etd\nao_p_td.src
```

8.2 estima_arma11_hetero_1

► Objectivo

Estima ARMA(1,1) com heterocedasticidade dependente da matriz X e com distribuição normal ou t-student

► Formato

```
{b,f0,grad,cov,retcode,media,var}=estima_arma11_hetero_1(b0,y,x,g,gl,p,q);
```

► Input

b0: se b0=0 os valores iniciais são calculados pelo procedimento

y:

x: matriz das variáveis explicativas na média

g: matriz das variáveis explicativas na variância condicional

gl: se gl=0 \Rightarrow distribuição normal; se gl > 0 \Rightarrow distribuição tStudent e gl funciona como valor inicial para o nº de graus de liberdade

p: se p=0 não estima o AR1

q: se q=0 não estima o MA1

► **Output**

► **Library**

```
library est_etd;
```

► **Fonte**

```
c:\gauss\srcnic\est_etd\arma_hetero.src
```

8.3 estima_brw_01

► Purpose

Estimates the model

$$\begin{aligned}y_t &= y_{t-1} - \beta_1 F(y_{t-1} - \mu_t) + \beta_1 F(-y_{t-1} + \mu_t) + \sigma \varepsilon_t \\ \mu_t &= \lambda y_{t-1} + (1 - \lambda) \mu_{t-1} \\ F(x) &= \frac{1}{1 + \exp(-\gamma(x - \alpha))}\end{aligned}$$

► Formato

```
{b,f0,grad,cov,retcode,media}=estima_brw_01(b0,rest,y);
```

► Input

b0: initial values of $(\beta_1, \beta_2, \lambda, \alpha, \gamma, \mu_0)$

rest: example: rest=-999|-999|0|-999|-999|2 means that there are two restrictions: $\lambda = 0$ and $\mu_0 = 2$

y:

► Output

Along with the usual results, the output includes

```
*****
```

SSR and var_res BRW

SSR and var_res RW

lnFV BRW

lnFV RW

```
*****
```

```
***** AR MODEL *****
```

SSR AR

```
*****
```

»

► Library

```
library cml,est_etd;
```

► Remarks

Imposing the restriction $\lambda = 0$, leads to the model

$$y_t = y_{t-1} - \beta_1 F(y_{t-1} - \mu) + \beta_1 F(-y_{t-1} + \mu) + \sigma \varepsilon_t$$
$$F(x) = \frac{1}{1 + \exp(-\gamma(x - \alpha))}.$$

The estimate of μ is μ_0 (last element of b).

► **Fonte**

c:\gauss\srcnic\est_etd\ nao_linear.src

8.4 estima_brw_01B

► Purpose

Estimates the model

$$y_t = y_{t-1} - \beta_1 F_1(y_{t-1} - \mu_t) + \beta_2 F_2(-y_{t-1} + \mu_t) + \sigma \varepsilon_t$$
$$\mu_t = \lambda y_{t-1} + (1 - \lambda) \mu_{t-1}$$
$$F_1(x) = \frac{1}{1 + \exp(-\gamma_1(x - \alpha))}, F_2(x) = \frac{1}{1 + \exp(-\gamma_2(x - \alpha))}$$

► Formato

```
{b,f0,grad,cov,retcode,media}=estima_brw_01B(b0,rest,y);
```

► Input

b0: initial values of $(\beta_1, \beta_2, \lambda, \alpha, \gamma_1, \gamma_2, \mu_0)$

rest: example: rest=-999|-999|0|-999|-999|-999|2 means that there are two restrictions:
 $\lambda = 0$ and $\mu_0 = 2$

y:

► Output

Along with the usual results, the output includes the following:

```
*****
```

SSR and var_res BRW

SSR and var_res RW

lnFV BRW

lnFV RW

```
*****
```

```
***** AR MODEL *****
```

SSR AR

```
*****
```

»

► Library

```
library cml,est_etd;
```

► Remarks

Imposing the restriction $\lambda = 0$, leads to the model

$$y_t = y_{t-1} - \beta_1 F_1(y_{t-1} - \mu) + \beta_2 F_2(-y_{t-1} + \mu) + \sigma \varepsilon_t$$
$$F_1(x) = \frac{1}{1 + \exp(-\gamma_1(x - \alpha))}, F_2(x) = \frac{1}{1 + \exp(-\gamma_2(x - \alpha))}$$

The estimate of μ is μ_0 (last element of b).

► **Fonte**

c:\gauss\srcnic\est_etd\ nao_linear.src

8.5 estima_brw_02

► Purpose

Estimates the model

$$\begin{aligned}y_t &= y_{t-1} - \beta_1 F(y_{t-1} - \mu_t) + \beta_1 F(-y_{t-1} + \mu_t) + u_t, & u_t &= \sigma_t \varepsilon_t \\ \mu_t &= \lambda y_{t-1} + (1 - \lambda) \mu_{t-1} \\ \sigma_t^2 &= v_0 + v_1 u_{t-1}^2 + v_2 \sigma_{t-1}^2 \\ F(x) &= \frac{1}{1 + \exp(-\gamma(x - \alpha))}\end{aligned}$$

► Formato

{b,f0,grad,cov,retcode,media,var}=estima_brw_02(b0,rest,y);

► Input

b0: initial values of $(\beta_1, \beta_2, \lambda, \alpha, \gamma, \mu_0, v_0, v_1, v_2)$

rest: example: rest=-999|-999|0|-999|-999|2|-999|-999|-999 means that there are two restrictions: $\lambda = 0$ and $\mu_0 = 2$

y:

► Output

► Library

library cml,est_etd;

► Remarks

Imposing the restriction $\lambda = 0$, leads to the model

$$\begin{aligned}y_t &= y_{t-1} - \beta_1 F(y_{t-1} - \mu) + \beta_1 F(-y_{t-1} + \mu) + \sigma_t \varepsilon_t \\ \sigma_t^2 &= v_0 + v_1 u_{t-1}^2 + v_2 \sigma_{t-1}^2 \\ F(x) &= \frac{1}{1 + \exp(-\gamma(x - \alpha))}.\end{aligned}$$

The estimate of μ is μ_0 .

► Fonte

c:\gauss\srcnic\est_etd\nao_linear.src

8.6 estima_categorical_TS_1

► Purpose

Let

$$y_{tj} = \begin{cases} 1 & \text{if the } j\text{th category is observed at time } t \\ 0 & \text{otherwise} \end{cases}$$

The procedure estimates the model

$$\begin{cases} P(y_{t1} = 1 | \mathcal{F}_{t-1}) = \frac{\exp(\beta_{11}x_{t1} + \dots + \beta_{1k}x_{tk})}{1 + \sum_{i=1}^{m-1} \exp(\beta_{i1}x_{t1} + \dots + \beta_{ik}x_{tk})} \\ \dots \\ P(y_{tm} = 1 | \mathcal{F}_{t-1}) = \frac{\exp(\beta_{m1}x_{t1} + \dots + \beta_{mk}x_{tk})}{1 + \sum_{i=1}^{m-1} \exp(\beta_{i1}x_{t1} + \dots + \beta_{ik}x_{tk})} \\ P(y_{tm} = 1 | \mathcal{F}_{t-1}) = 1 - P(y_{t1} = 1 | \mathcal{F}_{t-1}) - \dots - P(y_{tm-1} = 1 | \mathcal{F}_{t-1}) \end{cases}$$

through the ML method,

$$\max_{\boldsymbol{\beta}} \sum_{t=1}^n \sum_{j=1}^m y_{tj} \log P(y_{t1} = j | \mathcal{F}_{t-1}; \boldsymbol{\beta}).$$

► Formato

{b,p}=estima_categorical_TS_1(y,x);

► Input

y: $n \times m$ matrix (m categories)

x: $n \times k$ matrix (k explanatory variables)

► Output

b: $(m - 1) * k \times 1$ vector.

$$b = \begin{bmatrix} \beta \text{ first equation} \\ \beta \text{ second equation} \\ \dots \\ \beta \text{ last equation} \end{bmatrix} = \begin{bmatrix} \beta_{11} \\ \beta_{12} \\ \dots \\ \beta_{21} \\ \beta_{22} \\ \dots \\ \beta_{m-1,1} \\ \dots \\ \beta_{m-1,k} \end{bmatrix}$$

► Library

library cml,cm;

► Fonte

c:\gauss\srcnic\est_etd\cm.src

8.7 estima_CM

► Purpose

Estimates the transition probability matrix from a Markov chain.

► Format

{c,p,se,sp}=estima_CM(s);

► Input

s: Observations of S .

► Output

c: absolute frequencies table

p: transition probability matrix

se: standard errors ($p./se \rightarrow$ gives the t ratios). See Basawa, p.55.

sp: stationary probabilities

► Library

library est_etd;

► Fonte

c:\gauss\srcnic\est_etd\cm.src

8.8 **estima_CM1**

► Purpose

Estimates the transition probability matrix from a Markov chain. Calculates log-likelihood and BIC

► Format

```
{c,p,st_erroes,stat_prob,ll,bic,par_independentes}=estima_CM1(s);
```

► Input

s: Observations of S .

► Output

c: absolute frequencies table

p: transition probability matrix

se: standard errors ($p./se \rightarrow$ gives the t ratios). See Basawa, p.55.

sp: stationary probabilities

ll: log-likelihood

BIC: $BIC = -2ll + q \ln(n)$ where q is the number of independent parameters.

par_independentes:

► Remark

The terms in which $\hat{p}_{ij} = 0$ have no contribution to the log-likelihood. Also, the value q excludes the cases where $\hat{p}_{ij} = 0$.

► Library

```
library est_etd;
```

► Fonte

```
c:\gauss\srcnic\est_etd\cm.src
```

8.9 estima_estar_1

► Purpose

Estimates the model

$$y_t = \mu + \phi_1(y_{t-1} - \mu) + \phi_2(y_{t-1} - \mu) \left(1 - \exp\left(-\theta^2(y_{t-1} - \mu)^2\right)\right) + \sigma \varepsilon_t$$

assuming that $\{\varepsilon_t\}$ is a Gaussian white noise.

► Formato

```
{b,f0,grad,cov,retcode,media}= estima_estar_1(b0,y);
```

► Input

b0: initial values of $(\phi_1, \phi_2, \mu, \theta, \sigma)$

y: vector of observations.

► Output

Along with the usual results, the output includes

```
*****
```

SSR and var_res BRW

SSR and var_res RW

lnFV BRW

lnFV RW

```
*****
```

```
***** AR MODEL *****
```

SSR AR

```
*****
```

► Library

```
library cml,est_etd;
```

► Fonte

```
c:\gauss\srcnic\est_etd\nao_linear.src
```

8.10 estima_fdpKG

► Objectivo

Estimar a fdp de um vector de observações através do kernel Gaussiano

► Formato

```
{x,p,ic,pg}=estima_fdpKG(y,pontos,h,int_conf);
```

► Input

y: vector das observações do processo.

pontos: escalar = número de pontos equidistantes para os quais se obtém a correspondente estimativa. Caso pontos = $\{x_1, \dots, x_k\}$ é calculada uma estimativa para cada um destes pontos.

h: Igual 1 bandwith usual (valor maior (menor) maior (menor) alisamento).

int_conf: nível de confiança

► Output

x: $\{x_1, \dots, x_k\}$ onde $k =$ pontos.

p: estimativas de $\{f(x_1), \dots, f(x_k)\}$.

pg: fdp gaussiana com média \bar{y} e variância $\hat{\sigma}_y^2$.

ic

► Library

```
library est_etd;
```

► Fonte

```
c:\gauss\srcnic\est_etd\nao_p_td.src
```

8.11 misture_normal_01

► Objectivo

Estima os parâmetros α , μ_1 , σ_1 , μ_2 e σ_2 da mistura

$$f(x) = \alpha f_{x|u}(x|0) + (1 - \alpha) f_{x|u}(x|1), \quad 0 \leq \alpha \leq 1$$

sendo $f_{x|u}(x|0)$ a fdp da distribuição $N(\mu_1, \sigma_1^2)$ e $f_{x|u}(x|1)$ a dfp da distribuição $N(\mu_2, \sigma_2^2)$.

► Formato

```
{b,f0,grad,cov,retcode}=misture_normal_01(b0,y);
```

► Input

b0: Se b0=0 => b0=0.4|meanc(y)|meanc(y)|stdc(y)|stdc(y);

y: vetor das observações;

► Output

► Library

```
library est_etd, cml;
```

► Fonte

```
c:\gauss\srcnic\est_etd\misture_normal_01.src
```

8.12 estima_nao_linear_01

► Objectivo

Estima o modelo

$$\begin{aligned} y_t &= \beta' \mathbf{x}_t + \phi_1 y_{t-1} + \dots + \phi_p y_{t-p} \\ &\quad + \xi_1 u_{t-1} + \dots \\ &\quad + \xi_{11} u_{t-1} u_{t-2} + \dots \\ &\quad + \xi_{11} u_{t-1} u_{t-2} u_{t-3} + \dots \\ &\quad + \dots + u_t \end{aligned}$$

► Formato

```
{b,f0,grad,cov,retcode,media,var}=estima_nao_linear_01(y,x,ar,par);
```

► Input

y:

x:

ar: vetor de valores inteiros. $\text{ar}=1|3|5 \Rightarrow$ estima o $\phi_1 y_{t-1} + \phi_3 y_{t-3} + \phi_5 y_{t-5}$. Se $\text{ar}=\{\}$ não estima a componente AR

par: matriz. Exemplo:

$$par = \begin{bmatrix} 1 & 2 & 0 \\ 1 & 2 & 3 \end{bmatrix}$$

Estima $\xi_{12} u_{t-1} u_{t-2} + \xi_{123} u_{t-1} u_{t-2} u_{t-3}$. Se

$$par = \begin{bmatrix} 1 \\ 2 \\ 4 \end{bmatrix}$$

Estima MA(3). Se

$$par = [1 \ 3 \ 4 \ 5]$$

Estima $\xi_{1345} u_{t-1} u_{t-3} u_{t-4} u_{t-5}$. NOTA: nº de linhas de par corresponde ao número de parâmetros ξ a estimar

► **Output**

► **Library**

```
library est_etd,util;
```

► **Fonte**

c:\gauss\srcnic\est_etd\nao_linear.src

8.13 estima_TAR_2Regimes

► **Purposes**

Estimates

$$y_t = \begin{cases} \phi_{10} + \phi_{11} y_{t-1} + \dots + \phi_{1p} y_{t-p} + u_t q_{t-d} \leq \gamma \\ \phi_{20} + \phi_{21} y_{t-1} + \dots + \phi_{2p} y_{t-p} + u_t q_{t-d} > \gamma \end{cases}$$

and AR(p).

► **Format**

```
{d_opt,g_opt,min_sqr_mean,Fobs,resid}=estima_TAR_2Regimes(y,q,dmax,p,alfa);
```

► **Input**

y:

q:

dmax: Maximum value of d (the routine finds the optimal value in the set $\{1, 2, \dots, dmax\}$).

p: Order of p .

alfa: scalar between 0 and 1. Proportion of observations trimmed in the set $\tilde{\Gamma}$ (see Hansen, B. E. (2000), Sample Splitting and Threshold Estimation. *Econometrica*, 68: 575–603). You may start with alfa=0.1 (a value too high makes the procedure faster, but the possibility of discarding the optimal γ value increases).

► Output

d_opt: \hat{d} from the solution $(\hat{\gamma}, \hat{d}) = \arg \min_{\gamma \in \tilde{\Gamma}, d \in D} \hat{\sigma}^2(\gamma, d)$

g_opt: $\hat{\gamma}$ from the solution $(\hat{\gamma}, \hat{d}) = \arg \min_{\gamma \in \tilde{\Gamma}, d \in D} \hat{\sigma}^2(\gamma, d)$

min_sqr_mean: minimum $\hat{\sigma}^2(\gamma, d)$

Fobs: $F_n = n (\tilde{\sigma}_n^2 - \hat{\sigma}_n^2) / \hat{\sigma}_n^2$ (see Hansen, 2000)

resid:

► Library

library pgraph, est_etd,util;

► Fonte

c:\gauss\srcnic\est_etd\tar.src

► Observações

Run the routine test_TAR1 to test the AR against the TAR.

8.14 estima_TAR_3Regimes

► Objectivo

Estimar

$$y_t = \begin{cases} \phi_{10} + \phi_{11}y_{t-1} + \dots + \phi_{1p}y_{t-p} + u_t & q_{t-d} < \gamma_1 \\ \phi_{20} + \phi_{21}y_{t-1} + \dots + \phi_{2p}y_{t-p} + u_t & \gamma_1 \leq q_{t-d} \leq \gamma_2 \\ \phi_{30} + \phi_{31}y_{t-1} + \dots + \phi_{3p}y_{t-p} + u_t & q_{t-d} > \gamma_2 \end{cases}$$

e o AR(p)

► Formato

{d_opt,g1_opt,g2_opt,min_sqr_mean,Fobs,resid}=estima_TAR_3Regimes(y,q,dmax,p,alfa,min2)

► Input

y:

q:

dmax: Valor máximo a considerar para d .

p: Ordem do AR

alfa: valor entre 0 e 1. Fracção das observações aparadas no conjunto $\tilde{\Gamma}$ (ver o manual “Séries Temporais Financeiras”). Considerar por exemplo alfa=0.1 (um alfa mais alto torna o procedimento mais rápido, mas a possibilidade de descartar o $\hat{\gamma}$ óptimo amenta).

min2: n^o mínimo de obs. no segundo regime

► Output

d_opt: \hat{d} da solução $(\hat{\gamma}_1, \hat{\gamma}_2, \hat{d}) = \arg \min_{\gamma_1, \gamma_2 \in \tilde{\Gamma}, d \in D} \hat{\sigma}^2(\gamma_1, \gamma_2, d)$

g1_opt: $\hat{\gamma}_1$ da solução $(\hat{\gamma}_1, \hat{\gamma}_2, \hat{d}) = \arg \min_{\gamma_1, \gamma_2 \in \tilde{\Gamma}, d \in D} \hat{\sigma}^2(\gamma_1, \gamma_2, d)$

g2_opt: $\hat{\gamma}_2$ da solução $(\hat{\gamma}_1, \hat{\gamma}_2, \hat{d}) = \arg \min_{\gamma_1, \gamma_2 \in \tilde{\Gamma}, d \in D} \hat{\sigma}^2(\gamma_1, \gamma_2, d)$

min_sqr_mean: $\hat{\sigma}^2(\gamma, d)$ minimo

Fobs: $F_n = n (\tilde{\sigma}_n^2 - \hat{\sigma}_n^2) / \hat{\sigma}_n^2$ (ver o manual “Séries Temporais Financeiras”)

resid:

► Library

```
library pgraph, est_etd,util;
```

► Fonte

c:\gauss\srcnic\est_etd\tar.src

► Observações

Não está ainda implementado um teste AR versus STAR

8.15 EWMA _ Multivariado

► Objectivo

Estima a matriz de variâncias-covariâncias condicionais através do modelo

$$\mathbf{H}_t = (1 - \lambda) \mathbf{y}_{t-1} \mathbf{y}'_{t-1} + \lambda \mathbf{H}_{t-1}$$

e no caso $m = 3$ apresenta informação gráfica.

► Formato

```
G=EWMA_Multivariado(y, lam);
```

► Input

y: matriz das observações do processo ($y_1 \sim y_2 \sim \dots$) reportados todos à mesma data

► Output

G: $vech(H)$, isto é,

$$\begin{aligned}
G[., 1] &\rightarrow \text{série da } \text{Var}[y_{1t} | \mathcal{F}_{t-1}] \\
G[., 2] &\rightarrow \text{série da } \text{Cov}(y_{1t}, y_{2t} | \mathcal{F}_{t-1}) \\
G[., 3] &\rightarrow \text{série da } \text{Var}[y_{3t} | \mathcal{F}_{t-1}] \\
G[., 4] &\rightarrow \text{série da } \text{Cov}(y_{1t}, y_{3t} | \mathcal{F}_{t-1}) \\
&\dots
\end{aligned}$$

► Library

```
library est_etd;
```

► Observações

Acertar primeiro as datas, por exemplo, com:

```
{data,y1,y2,y3}=acerta_datas_3(data1,y1,data2,y2,data3,y3);
```

Incompleto (aumentar a informação gráfica para outros valores de m)

► Fonte

```
c:\gauss\srcnic\est_etd\mult_volati.src
```

8.16 hac _ estimator

► Objective

(1) Estimate

$$\begin{aligned}\mathbf{S} &= \text{Var} \left(\sqrt{n} \frac{1}{n} \sum_{i=1}^n \mathbf{x}_i u_i \right) = \frac{1}{n} \text{Var} \left(\sum_{i=1}^n \mathbf{x}_i u_i \right) \\ &= E(u_t^2 \mathbf{x}_t \mathbf{x}'_t) + \frac{1}{n} \sum_{j=1}^{n-1} \sum_{t=j+1}^n (E(u_t u_{t-j} \mathbf{x}_t \mathbf{x}'_{t-j}) + E(u_{t-j} u_t \mathbf{x}_{t-j} \mathbf{x}'_t))\end{aligned}$$

using the HAC estimator (see below), \mathbf{S}_{HAC} . Note that this estimator can also estimate the long run variance of $\{\mathbf{y}_t\}$, i.e

$$\frac{1}{n} \text{Var} \left(\sum_{i=1}^n \mathbf{y}_i \right)$$

$(m \times 1)$.

(2) Gives the diagonal of the matrix

$$\widehat{\text{Var}}(\mathbf{b}) = \hat{\Sigma}_{\mathbf{xx}}^{-1} \mathbf{S}_{HAC} \hat{\Sigma}_{\mathbf{xx}}^{-1} / n$$

where

$$\hat{\Sigma}_{\mathbf{xx}}^{-1} = \left(\frac{1}{n} \sum_{t=1}^n \mathbf{x}_t \mathbf{x}'_t \right)^{-1} = \left(\frac{\mathbf{X}' \mathbf{X}}{n} \right)^{-1}.$$

Context: Given

$$\sqrt{n} (\hat{\beta} - \beta) = \left(\frac{1}{n} \sum_{i=1}^n \mathbf{x}_i \mathbf{x}'_i \right)^{-1} \left(\sqrt{n} \frac{1}{n} \sum_{i=1}^n \mathbf{x}_i u_i \right)$$

and

$$\left(\sqrt{n} \frac{1}{n} \sum_{i=1}^n \mathbf{x}_i u_i \right) \xrightarrow{d} N(\mathbf{0}, \mathbf{S})$$

we have

$$\sqrt{n} (\hat{\beta} - \beta) = \left(\frac{1}{n} \sum_{i=1}^n \mathbf{x}_i \mathbf{x}'_i \right)^{-1} \left(\sqrt{n} \frac{1}{n} \sum_{i=1}^n \mathbf{x}_i u_i \right) \xrightarrow{d} N(\mathbf{0}, \Sigma_{\mathbf{xx}}^{-1} \mathbf{S} \Sigma_{\mathbf{xx}}^{-1}).$$

To estimate \mathbf{S} in the presence of heteroskedasticity and autocorrelation of unknown form one considers

$$\hat{\mathbf{S}} = \mathbf{S}_{HAC} = \frac{1}{n} \sum_{t=1}^n \hat{u}_t^2 \mathbf{x}_t \mathbf{x}'_t + \frac{1}{n} \sum_{j=1}^L \sum_{t=j+1}^n \omega(j) (\hat{u}_t \hat{u}_{t-j} \mathbf{x}_t \mathbf{x}'_{t-j} + \hat{u}_{t-j} \hat{u}_t \mathbf{x}_{t-j} \mathbf{x}'_t)$$

where the weighting function $\omega(j)$ is

$$\omega(j) = 1 - \frac{j}{L+1}.$$

Note

$$\text{Avar}(\mathbf{b}) = \boldsymbol{\Sigma}_{\mathbf{xx}}^{-1} \mathbf{S} \boldsymbol{\Sigma}_{\mathbf{xx}}^{-1}$$

and

$$\widehat{\text{Var}}(b_i) = \left[\hat{\boldsymbol{\Sigma}}_{\mathbf{xx}}^{-1} \mathbf{S}_{HAC} \hat{\boldsymbol{\Sigma}}_{\mathbf{xx}}^{-1} / n \right]_{ii}$$

► **Format**

{S,SE}=hac_estimator(e,x,L);

► **Input**

e: residuals from an econometric model

x: matrix of explanatory variables

L: See above

► **Remark**

It is also possible to estimate the long-run variance of a $m \times 1$ vector \mathbf{y}_t , i.e.

$$\frac{1}{n} \text{Var} \left(\sum_{i=1}^n \mathbf{y}_i \right).$$

In this case use the instruction S=hac_estimator(1,y,L);

Note also that “S=hac_estimator(e,x,L);” and “S=hac_estimator(1,x.*e,L);” lead to the same S matrix.

► **Output**

S: $\hat{\mathbf{S}}_{HAC}$

SE: Vector with the standard errors $\sqrt{\widehat{\text{Var}}(b_i)}$, where $\widehat{\text{Var}}(b_i) = \left[\hat{\boldsymbol{\Sigma}}_{\mathbf{xx}}^{-1} \mathbf{S}_{HAC} \hat{\boldsymbol{\Sigma}}_{\mathbf{xx}}^{-1} / n \right]_{ii}$.

► **Library**

library est_etd;

► **Fonte**

c:\gauss\srcnic\est_etd\estima_cov.src

8.17 hac _ estimator _ whitening

► Objective

See Andrews and Monahan (1992).

► Format

```
SE=hac_estimator_whitening(x,e,desf,L);
```

► Input

e: residuals from an econometric model

x: matrix of explanatory variables

desf:

L:

► Output

SE: Vector with the standard errors $\sqrt{\widehat{\text{Var}}(b_i)}$.

► Library

```
library est_etd;
```

► Fonte

```
c:\gauss\srcnic\est_etd\estima_cov.src
```

8.18 med_cond

► Objectivo

Estimar não parametricamente a média condicional $E[X_t | X_{t-k}]$, $k \geq 1$, a partir das observações (X_1, X_2, \dots, X_n) . O estimador é

$$\mu(x) = \frac{\sum_{i=1}^{n-1} K\left(\frac{X_{t-k}-x}{h}\right) X_t}{\sum_{i=1}^{n-1} K\left(\frac{X_{t-k}-x}{h}\right)}$$

onde $K(u) = (2\pi)^{-\frac{1}{2}} e^{-\frac{u^2}{2}}$ e $h = (4/3)^{1/5} \hat{\sigma}_X n^{-1/5}$.

► Formato

```
{x,m}=med_cond(y,pontos,des);
```

► Input

y: vetor de observações (X_1, X_2, \dots, X_n) do processo X .

pontos: número de pontos x_i para os quais se calcula $\mu(x_i)$. Isto é $i = 1, 2, \dots, \text{pontos}$.

Se pontos = 0, calcula-se $\mu(x_i)$ onde x_i assume todos os valores da amostra (X_1, X_2, \dots, X_n) .

des: valor de k .

► Output

x: vetor x .

m: vetor $\mu(x)$.

► Library

```
library est_etd;
```

► Fonte

```
c:\gauss\srcnic\est_etd\nao_p_td.src
```

8.19 med_cond1

► Objectivo

Estimar não parametricamente a média condicional $E[X_t | X_{t-1}]$ e obter um intervalo de confiança a partir das observações (X_1, X_2, \dots, X_n) . O estimador é

$$\mu(x) = \frac{\sum_{i=1}^{n-1} K\left(\frac{X_{t-1}-x}{h}\right) X_t}{\sum_{i=1}^{n-1} K\left(\frac{X_{t-1}-x}{h}\right)}$$

onde $K(u) = (2\pi)^{-\frac{1}{2}} e^{-\frac{u^2}{2}}$ e $h = (4/3)^{1/5} \hat{\sigma}_X n^{-1/5}$. O intervalo de confiança é dado por

$$\mu(x) \pm z \sqrt{\frac{kv(x)}{f(x)nh}}$$

onde z é um quantil da distribuição normal, $v(x)$ é a variância condicional (estimada) de X_t dado $X_{t-1} = x$ (ver VAR_COND), $k = \int K(u)^2 du$ e $f(x)$ é a densidade estacionária (estimada) de X (ver KERNEL_FDP_G).

► Formato

```
{x,m,var,lim_infM,lim_supM,densidade}=med_cond1(y,pontos,aparar,int_conf);
```

► Input

y: vetor de observações (X_1, X_2, \dots, X_n) do processo X .

pontos: número de pontos x_i para os quais se calcula $\mu(x_i)$. Isto é $i = 1, 2, \dots, \text{pontos}$.

Se pontos = 0, calcula-se $\mu(x_i)$ onde x_i assume todos os valores da amostra (X_1, X_2, \dots, X_n) .

aparar: assume um valor no intervalo $]0, 1]$. Se aparar $\in]0, 1[$ o procedimento é apenas executado para os ponto x_i que se encontram entre o percentil $(1 - \text{aparar})/2$ e o percentil $(1 + \text{aparar})/2$ da distribuição amostral de (X_1, X_2, \dots, X_n) . Se aparar = 1 então $x_1 = \min_{i=1,\dots,n}(X_i)$ e $x_{\text{pontos}} = \max_{i=1,\dots,n}(X_i)$.

int_conf: valor entre 0 e 1 referente ao nível de confiança do intervalo.

► Output

x: vetor x .

m: vetor $\mu(x)$.

var: vetor $v(x)$.

lim_inf: limite inferior do intervalo de confiança para $\mu(x)$

lim_inf: limite superior do intervalo de confiança.

densidade: vetor $f(x)$.

► Library

```
library est_etd;
```

► Fonte

```
c:\gauss\srcnic\est_etd\nao_p_td.src
```

8.20 med_cond2

► Objectivo

Estimar não parametricamente $E[X_t - X_{t-1} | X_{t-1}]$ e obter um intervalo de confiança a partir das observações (X_1, X_2, \dots, X_n) . O estimador é

$$\mu(x) = \frac{\sum_{i=1}^{n-1} K\left(\frac{X_{t-1}-x}{h}\right)(X_t - X_{t-1})}{\sum_{i=1}^{n-1} K\left(\frac{X_{t-1}-x}{h}\right)}$$

onde $K(u) = (2\pi)^{-\frac{1}{2}} e^{-\frac{u^2}{2}}$ e $h = \text{factor_h} (4/3)^{1/5} \hat{\sigma}_X n^{-1/5}$. O intervalo de confiança é dado por

$$\mu(x) \pm z \sqrt{\frac{kv(x)}{f(x)nh}}$$

onde z é um quantil da distribuição normal, $v(x)$ é a variância condicional (estimada) de $X_t - X_{t-1}$ dado $X_{t-1} = x$, $k = \int K(u)^2 du$ e $f(x)$ é a densidade estacionária (estimada) de X (ver KERNEL_FDP_G).

► Formato

```
{x,m,var,lim_infM,lim_supM,densidade}=med_cond2(y,pontos,aparar,int_conf,factor_h);
```

► Input

y: vetor de observações (X_1, X_2, \dots, X_n) do processo X .

pontos: número de pontos x_i para os quais se calcula $\mu(x_i)$. Isto é $i = 1, 2, \dots, \text{pontos}$.

Se $\text{pontos} = 0$, calcula-se $\mu(x_i)$ onde x_i assume todos os valores da amostra (X_1, X_2, \dots, X_n) .

aparar: assume um valor no intervalo $[0, 1]$. Se $\text{aparar} \in]0, 1[$ o procedimento é apenas executado para os ponto x_i que se encontram entre o percentil $(1 - \text{aparar})/2$ e o percentil $(1 + \text{aparar})/2$ da distribuição amostral de (X_1, X_2, \dots, X_n) . Se $\text{aparar} = 1$ então $x_1 = \min_{i=1,\dots,n}(X_i)$ e $x_{\text{pontos}} = \max_{i=1,\dots,n}(X_i)$.

int_conf: valor entre 0 e 1 referente ao nível de confiança do intervalo.

factor_h: escalar presente na expressão $h = \text{factor_h} (4/3)^{1/5} \hat{\sigma}_X n^{-1/5}$.

► Output

x: vetor x .

m: vetor $\mu(x)$.

var: vetor $v(x)$.

lim_inf: limite inferior do intervalo de confiança para $\mu(x)$

lim_inf: limite superior do intervalo de confiança.

densidade: vetor $f(x)$.

► Library

```
library est_etd;
```

► Fonte

```
c:\gauss\srcnic\est_etd\nao_p_td.src
```

8.21 Mult_GARCH11

► Objectivo

Estimar o modelo bivariado AR(r)+GARCH(p,q)

$$Y_t^A = \phi_1^A Y_{1t-1} + \dots + \phi_{r_1}^A Y_{1t-r_1} + \beta_1^A X_{1t}^A + \dots + \beta_{k_1}^A X_{k_1 t}^A + u_t^A$$

$$Y_t^B = \phi_1^B Y_{1t-1} + \dots + \phi_{r_2}^B Y_{1t-r_2} + \beta_1^B X_{1t}^B + \dots + \beta_{k_2}^B X_{k_2 t}^B + u_t^B$$

onde se admite,

$$\text{Var} \begin{bmatrix} u_t^A \\ u_t^B \end{bmatrix} = \begin{bmatrix} h_{1t} & h_{12t} \\ h_{12t} & h_{2t} \end{bmatrix}$$

com,

$$\begin{bmatrix} h_{1t} \\ h_{12t} \\ h_{2t} \end{bmatrix} = \begin{bmatrix} k^A \\ k^{AB} \\ k^B \end{bmatrix} + \begin{bmatrix} \alpha_1^A \alpha_2^A \alpha_3^A \\ \alpha_1^{AB} \alpha_2^{AB} \alpha_3^{AB} \\ \alpha_1^B \alpha_2^B \alpha_3^B \end{bmatrix} \begin{bmatrix} u_{1t-1}^2 \\ u_{1t-1} u_{2t-1} \\ u_{2t-1}^2 \end{bmatrix} + \begin{bmatrix} \delta_1^A \delta_2^A \delta_3^A \\ \delta_1^{AB} \delta_2^{AB} \delta_3^{AB} \\ \delta_1^B \delta_2^B \delta_3^B \end{bmatrix} \begin{bmatrix} h_{1t-1} \\ h_{12t-1} \\ h_{2t-1} \end{bmatrix} + \begin{bmatrix} \sum_{i=1}^s \psi_i g_{it} \\ 0 \\ 0 \end{bmatrix} \quad (1)$$

► Formato

```
{beta,f0,grad,cov,retcode,mediaA,mediaB,varA,varB,varAB}
```

```
=Mult_GARCH11(b0,rest,yA,desA,xA,g,yB,desB,xB);
```

► Input

b0: valor inicial para o vetor de parâmetros a estimar:

$$(\phi^A, \beta^A, k^A, \alpha^A, \delta^A, \psi^A, \phi^B, \beta^B, k^B, \alpha^B, \delta^B, k^{AB}, \alpha^{AB}, \delta^{AB})$$

rest: vetor de tipo $R \times 1$ com $R \geq 1$ (e menor do que o número de parâmetros a estimar). Cada linha indica o número do parâmetro que deve ser nulo. Por exemplo, "rest={4,7,9};" indica que os parâmetros 4, 7 e 9 são nulos.

yA: vetor de tipo $n \times 1$ das observações do processo yA.

desA: ordem $r_1 > 0$.

xA: matriz de tipo $k_1 \times n$ das variáveis explicativas X^A ($k_1 > 0$).

g: matriz de tipo $s \times n$ das variáveis explicativas de h_{1t} ($s > 0$).

yB: vector de tipo $n \times 1$ das observações do processo yB.

desB: ordem $r_2 > 0$.

xB: matriz de tipo $k_2 \times n$ das variáveis explicativas X^B ($k_2 > 0$).

► Output

b: vector das estimativas associadas a b0.

f0: média do logaritmo da função de verosimilhança no maximizante.

gra: score no maximizante

cov: matriz das estimativas das variâncias-covariâncias de b (de pseudo máxima verosimilhança).

retcode: convergência. Se retcode = 0 convergência atingida.

mediaA: média condicional de Y^A .

mediaB: média condicional de Y^B .

varA: variância condicional de Y^A .

varB: variância condicional de Y^B .

varAB: covariância condicional entre Y^A e Y^B

► Library

```
library cml,est_etd;
```

► Observações

Como o programa exige que todos os parâmetros k_1, s, k_2 sejam maiores do que zero é necessário fornecer como inputs matrizes X^A , g e X^B compatíveis (pelo menos de tipo $n \times 1$). Se não se incorporar esta informação ao modelo, deve-se utilizar o input "rest" que permite impor restrições de nulidade. Esta observação é também válida no caso em que não se deseje considerar esquemas AR para as variáveis dependentes. Naturalmente, o número de linhas do input b0 deve ser igual ao número de parâmetros a estimar que está implícito nos demais inputs. A estimativa do modelo é geralmente muito demorada - dever-se-á considerar sempre várias restrições de nulidade (pelo menos 5 ou 6).

► Fonte

```
c:\gauss\srcnic\est_etd\garch.src
```

8.22 normal_garch

► Objectivo

Estimar o modelo AR(r)+GARCH(p,q)

$$Y_t = \phi_1 Y_{t-1} + \dots + \phi_r Y_{t-r} + \beta_1 X_{1t} + \dots + \beta_k X_{kt} + u_t, \quad u_t = \sigma_t \varepsilon_t, \quad \varepsilon_t \sim N(0, 1)$$
$$\sigma_t^2 = \alpha_0 + \alpha_1 u_{t-1}^2 + \dots + \alpha_q u_{t-q}^2 + \delta_1 \sigma_{t-1}^2 + \dots + \delta_p \sigma_{t-p}^2 + \psi_1 g_{1t} + \dots + \psi_s g_{st}.$$

► Formato

```
{b,f0,grad,cov,retcode,media,var}=normal_garch(b0,y,des,x,p,q,g);
```

► Input

b0: valor inicial para o vector de parâmetros a estimar: $(\phi, \beta, \alpha, \delta, \psi)$

y: vector de tipo $n \times 1$ das observações do processo.

des: ordem r ($r \geq 0$).

x: matriz de tipo $k \times n$ das variáveis explicativas X . Se x = escalar a matriz X é considerada nula.

p: ordem p ($p > 0$).

q: ordem q ($q > 0$).

g: matriz de tipo $s \times n$ das variáveis explicativas de σ_t^2 . Se g = escalar a matriz g é considerada nula.

► Output

b: vector das estimativas.

f0: média do logaritmo da função de verosimilhança no maximizante.

gra: *score* no maximizante

cov: matriz das estimativas das variâncias-covariâncias de b (de pseudo máxima verosimilhança).

retcode: convergência. Se retcode = 0 convergência atingida.

media: média condicional de Y .

var: variância condicional de Y .

► Library

```
library cml,est_etd;
```

► Observações

O número de linhas do input b0 deve ser igual ao número de parâmetros a estimar que está implícito nos demais inputs, des, x, p, q e g. Se se desejar fixar q ou p igual a zero considerar as instruções _cml_A e _cml_B (consultar o manual do GAUSS).

Exemplo: AR(1)+GARCH(1,1)

des=1;

b0=.1|.1|.1|.1|.

p=1;

q=1;

g=0;

{b,f0,grad,cov,retcode,media,var}=normal_garch(b0,y,des,ones(n,1),p,q,g);

► Fonte

c:\gauss\srcnic\est_etd\garch.src

8.23 pal_exponencial

► Objectivo

Estimar o modelo

$$X_t = X_{t-1} + e^k \left(e^{-\alpha_1(X_{t-1}-\tau)} - e^{\alpha_2(X_{t-1}-\tau)} \right) + \sigma_t \varepsilon_t, \quad \varepsilon_t \sim N(0, 1)$$

$$\sigma_t^2 = \exp \left\{ \beta + \lambda (X_{t-1} - \mu)^2 \right\}$$

através do método da máxima verosimilhança.

► Formato

{b,f0,grad,cov,retcode,media,var}=pal_exponencial(b0,y);

► Input

b0: valor inicial de $(\alpha_1, \alpha_2, \tau, k, \beta, \lambda, \mu)$.

y: vetor das observações do processo.

► Output

b: vetor das estimativas de $(\alpha_1, \alpha_2, \tau, k, \beta, \lambda, \mu)$

f0: média do logaritmo da função de verosimilhança no maximizante.

gra: score no maximizante

cov: matriz das estimativas das variâncias-covariâncias de b (de pseudo máxima verosimilhança).

retcode: convergência. Se retcode = 0 convergência atingida.

media: vetor da média condicional de tipo $(n - 1) \times 1$ onde n é o número de observações.

var: vetor da média condicional de tipo $(n - 1) \times 1$ onde n é o número de observações.

► Library

```
library cml,est_etd;
```

► Fonte

```
c:\gauss\srcnic\est_etd\pal.src
```

8.24 pal_linear0

► Objectivo

Estimar o modelo

$$X_t = X_{t-1} + e^k \left(e^{-\alpha_1(X_{t-1}-\tau)} - e^{\alpha_2(X_{t-1}-\tau)} \right) + \sigma \varepsilon_t, \quad \varepsilon_t \sim N(0, 1)$$

através do método da máxima verosimilhança.

► Formato

```
{b,f0,grad,cov,retcode,mediar}=pal_linear0(b0,y);
```

► Input

b0: valor inicial de $(\alpha_1, \alpha_2, \tau, k, \sigma)$.

y: vetor das observações do processo.

► Output

b: vetor das estimativas de $(\alpha_1, \alpha_2, \tau, k, \sigma)$

f0: média do logaritmo da função de verosimilhança no maximizante.

gra: score no maximizante

cov: matriz das estimativas das variâncias-covariâncias de b (de pseudo máxima verosimilhança).

retcode: convergência. Se retcode = 0 convergência atingida.

media: vetor da média condicional de tipo $(n - 1) \times 1$ onde n é o número de observações.

► **Library**

```
library cml,est_etd;
```

► **Observações**

O *score* é avaliado a partir da sua expressão exacta.

► **Fonte**

```
c:\gauss\srcnic\est_etd\pal.src
```

8.25 pal_linear1

► **Objectivo**

Estimar o modelo

$$X_t = X_{t-1} + e^k \left(e^{-\alpha_1(X_{t-1}-\tau)} - e^{\alpha_2(X_{t-1}-\tau)} \right) + \sigma_t \varepsilon_t, \quad \varepsilon_t \sim N(0, 1)$$
$$\sigma_t^2 = \sigma_0 + \sigma_1 |X_{t-1}|$$

através do método da máxima verosimilhança.

► **Formato**

```
{b,f0,grad,cov,retcode,media,var}=pal_linear1(b0,y);
```

► **Input**

b0: valor inicial de $(\alpha_1, \alpha_2, \tau, k, \sigma_0, \sigma_1)$.

y: vetor das observações do processo.

► **Output**

b: vetor das estimativas de $(\alpha_1, \alpha_2, \tau, k, \sigma_0, \sigma_1)$

f0: média do logaritmo da função de verosimilhança no maximizante.

gra: *score* no maximizante

cov: matriz das estimativas das variâncias-covariâncias de b (de pseudo máxima verosimilhança).

retcode: convergência. Se retcode = 0 convergência atingida.

media: vetor da média condicional de tipo $(n - 1) \times 1$ onde n é o número de observações.

var: vetor da média condicional de tipo $(n - 1) \times 1$ onde n é o número de observações.

► **Library**

```
library cml,est_etd;
```

► **Fonte**

c:\gauss\srcnic\est_etd\pal.src

8.26 pal_garch1

► **Objectivo**

Estimar o modelo

$$X_t = X_{t-1} + e^k \left(e^{-\alpha_1(X_{t-1}-\tau)} - e^{\alpha_2(X_{t-1}-\tau)} \right) + u_t, \quad u_t = \sigma_t \varepsilon_t, \quad \varepsilon_t \sim N(0, 1)$$
$$\sigma_t^2 = \phi_0 + \phi_1 u_{t-1}^2 + \delta_1 \sigma_{t-1}^2$$

através do método da máxima verosimilhança.

► **Formato**

```
{b,f0,grad,cov,retcode,media,var}=pal_garch1(b0,y);
```

► **Input**

b0: valor inicial de $(\alpha_1, \alpha_2, \tau, k, \phi_0, \phi_1, \delta_1, \sigma_0^2)$.

y: vetor das observações do processo.

► **Output**

b: vetor das estimativas de $(\alpha_1, \alpha_2, \tau, k, \phi_0, \phi_1, \delta_1, \sigma_0^2)$

f0: média do logaritmo da função de verosimilhança no maximizante.

gra: *score* no maximizante

cov: matriz das estimativas das variâncias-covariâncias de b (de pseudo máxima verosimilhança).

retcode: convergência. Se retcode = 0 convergência atingida.

media: vetor da média condicional de tipo $(n - 1) \times 1$ onde n é o número de observações.

var: vetor da média condicional de tipo $(n - 1) \times 1$ onde n é o número de observações.

► **Library**

```
library cml,est_etd;
```

► **Fonte**

c:\gauss\srcnic\est_etd\pal.src

8.27 rs_td_1

► Objectivo

Estimar o seguinte modelo:

$$X_t = \alpha(S_t) + \beta(S_t) X_{t-1} + u_t \quad (\text{i})$$

$$X_t - X_{t-1} = \alpha(S_t) + \beta(S_t) X_{t-1} + u_t \quad (\text{ii})$$

$$u_t = \sigma(S_t) \varepsilon_t \quad (\text{iii})$$

onde, ε_t é i.i.d. com distribuição $N(0, 1)$,

$$\alpha(S_t) = \begin{cases} \alpha_1 \text{ se } S_t = 1 \\ \alpha_2 \text{ se } S_t = 2 \end{cases} \quad \beta(S_t) = \begin{cases} \beta_1 \text{ se } S_t = 1 \\ \beta_2 \text{ se } S_t = 2 \end{cases} \quad \sigma(S_t) = \begin{cases} \sigma_1 \text{ se } S_t = 1 \\ \sigma_2 \text{ se } S_t = 2 \end{cases}$$

e S_t é uma cadeia de Markov homogénea em tempo discreto com espaço de estados $\{1, 2\}$ e com matriz de probabilidades de transição

$$P = \begin{bmatrix} p_{11} & 1 - p_{11} \\ 1 - p_{22} & p_{22} \end{bmatrix}.$$

(ver **rs_td_4**).

► Formato

```
{b,f0,g,cov,retcode,prob1,media,var}=rs_td_1(y,b0,prim_dif);
```

► Input

y: vetor das observações do processo.

b0: valor inicial de $(\alpha_1, \beta_1, \sigma_1, \alpha_2, \beta_2, \sigma_2, p_{11}, p_{22}, pa)$ (considerar $pa=0.5$).

prim_dif: se $\text{prim_dif}=0$ considera o modelo (i); no caso contrário considera o modelo (ii)

► Output

b: vetor das estimativas de $(\alpha_1, \sigma_1, \alpha_2, \sigma_2, p_{11}, p_{22}, pa)$.

f0: média do logaritmo da função de verosimilhança no maximizante.

gra: score no maximizante

cov: matriz das estimativas das variâncias-covariâncias de b (de pseudo máxima verosimilhança).

retcode: convergência. Se $\text{retcode} = 0$ convergência atingida.

media: vetor da média condicional de tipo $(n - 1) \times 1$ onde n é o número de observações.

var: vetor da média condicional de tipo $(n - 1) \times 1$ onde n é o número de observações.

prob1: vetor das probabilidades $P[S_t = 1 | \mathcal{F}_{t-1}]$ estimadas de tipo $(n - 1) \times 1$ ($t = 2, \dots, n$).

► Library

```
library cml,est_etd;
```

► Fonte

```
c:\gauss\srcnic\est_etd\rs_td.src.
```

8.28 rs_td_2

► Objectivo

Estimar um modelo regime-switching $ARMA_{12}(1, 0)(0, 1)$ (modelo ARMA sazonal com periodicidade 12):

$$\begin{aligned} X_t &= \alpha(S_t) + \beta(S_t) X_{t-1} + \theta(S_t) u_{t-12} + u_t \\ u_t &= \sigma(S_t) \varepsilon_t \end{aligned}$$

onde, ε_t é i.i.d. com distribuição $N(0, 1)$,

$$\begin{aligned} \alpha(S_t) &= \begin{cases} \alpha_1 & \text{se } S_t = 1 \\ \alpha_2 & \text{se } S_t = 2 \end{cases} & \beta(S_t) &= \begin{cases} \beta_1 & \text{se } S_t = 1 \\ \beta_2 & \text{se } S_t = 2 \end{cases} \\ \theta(S_t) &= \begin{cases} \theta_1 & \text{se } S_t = 1 \\ \theta_2 & \text{se } S_t = 2 \end{cases} & \sigma(S_t) &= \begin{cases} \sigma_1 & \text{se } S_t = 1 \\ \sigma_2 & \text{se } S_t = 2 \end{cases} \end{aligned}$$

e S_t é uma cadeia de Markov homogénea em tempo discreto com espaço de estados $\{1, 2\}$ e com matriz de probabilidades de transição

$$P = \begin{bmatrix} p_{11} & 1 - p_{11} \\ 1 - p_{22} & p_{22} \end{bmatrix}.$$

► Formato

```
{b,cov,m1,m2,media,var,prob1}=rs_td_2(y,b0);
```

► Input

y: vetor das observações do processo.

b0: valor inicial de $(\alpha_1, \beta_1, \theta_1, \sigma_1, \alpha_2, \beta_2, \theta_2, \sigma_2, p_{11}, p_{22}, pa)$

(considerar $pa=0.5$)

► Output

b: vetor das estimativas de $(\alpha_1, \beta_1, \theta_1, \sigma_1, \alpha_2, \beta_2, \theta_2, \sigma_2, p_{11}, p_{22}, pa)$.

cov: matriz das estimativas das variâncias-covariâncias de b (de pseudo máxima verosimilhança).

m1: vetor da média condicional associada ao regime 1 de tipo $(n - 12) \times 1$.

m2: vetor da média condicional associada ao regime 2 de tipo $(n - 12) \times 1$.

media: vetor da média condicional do processo de tipo $(n - 12) \times 1$.

var: vetor da variância condicional do processo de tipo $(n - 12) \times 1$.

prob1: vetor das probabilidades $P[S_t = 1 | \mathcal{F}_{t-1}]$ estimadas de tipo $(n - 12) \times 1$ ($t = 13, \dots, n$).

► Library

```
library cml,est_etd;
```

► Fonte

```
c:\gauss\srcnic\est_etd\rs_td.src.
```

8.29 rs_td_2AR

► Objectivo

Estimar um modelo regime-switching $ARMA_{12}(1,0)(1,0)$ (modelo ARMA sazonal com periodicidade 12):

$$X_t = \alpha(S_t) + \beta(S_t) X_{t-1} + \theta(S_t) X_{t-12} + u_t \\ u_t = \sigma(S_t) \varepsilon_t$$

onde, ε_t é i.i.d. com distribuição $N(0, 1)$,

$$\begin{aligned} \alpha(S_t) &= \begin{cases} \alpha_1 & \text{se } S_t = 1 \\ \alpha_2 & \text{se } S_t = 2 \end{cases} & \beta(S_t) &= \begin{cases} \beta_1 & \text{se } S_t = 1 \\ \beta_2 & \text{se } S_t = 2 \end{cases} \\ \theta(S_t) &= \begin{cases} \theta_1 & \text{se } S_t = 1 \\ \theta_2 & \text{se } S_t = 2 \end{cases} & \sigma(S_t) &= \begin{cases} \sigma_1 & \text{se } S_t = 1 \\ \sigma_2 & \text{se } S_t = 2 \end{cases} \end{aligned}$$

e S_t é uma cadeia de Markov homogénea em tempo discreto com espaço de estados $\{1, 2\}$ e com matriz de probabilidades de transição

$$P = \begin{bmatrix} p_{11} & 1 - p_{11} \\ 1 - p_{22} & p_{22} \end{bmatrix}.$$

► Formato

{b,cov,m1,m2,media,var,prob1}=rs_td_2AR(y,b0);

► Input

y: vetor das observações do processo.

b0: valor inicial de $(\alpha_1, \beta_1, \theta_1, \sigma_1, \alpha_2, \beta_2, \theta_2, \sigma_2, p_{11}, p_{22}, pa)$

(considerar $pa=0.5$)

► Output

b: vetor das estimativas de $(\alpha_1, \beta_1, \theta_1, \sigma_1, \alpha_2, \beta_2, \theta_2, \sigma_2, p_{11}, p_{22}, pa)$.

cov: matriz das estimativas das variâncias-covariâncias de b (de pseudo máxima verosimilhança).

m1: vetor da média condicional associada ao regime 1 de tipo $(n - 12) \times 1$.

m2: vetor da média condicional associada ao regime 2 de tipo $(n - 12) \times 1$.

media: vetor da média condicional do processo de tipo $(n - 12) \times 1$.

var: vetor da variância condicional do processo de tipo $(n - 12) \times 1$.

prob1: vetor das probabilidades $P[S_t = 1 | \mathcal{F}_{t-1}]$ estimadas de tipo $(n - 12) \times 1$ ($t = 13, \dots, n$).

► **Library**

library cml,est_etd;

► **Fonte**

c:\gauss\srcnic\est_etd\rs_td.src.

8.30 rs_td_3

► Objectivo

Estimar o seguinte modelo:

$$X_t = \alpha(S_t) + \beta(S_t) X_{t-1} + u_t \quad (\text{i})$$

$$u_t = \sigma(S_t) \varepsilon_t \quad (\text{ii})$$

onde, ε_t é i.i.d. com distribuição $N(0, 1)$,

$$\alpha(S_t) = \begin{cases} \alpha_1 S_t = 1 \\ \alpha_2 S_t = 2 \\ \alpha_3 S_t = 3 \end{cases} \quad \beta(S_t) = \begin{cases} \beta_1 S_t = 1 \\ \beta_2 S_t = 2 \\ \beta_3 S_t = 3 \end{cases} \quad \sigma(S_t) = \begin{cases} \sigma_1 S_t = 1 \\ \sigma_2 S_t = 2 \\ \sigma_3 S_t = 3 \end{cases}$$

e S_t é uma cadeia de Markov homogénea em tempo discreto com espaço de estados $\{1, 2, 3\}$ e com matriz de probabilidades de transição

$$P = \begin{bmatrix} p_{11} & p_{12} & p_{13} \\ p_{21} & p_{22} & p_{23} \\ p_{31} & p_{32} & p_{33} \end{bmatrix}$$

(notar que os comandos `_cml_A` e `_cml_B` são úteis para impor restrições sobre os parâmetros - consultar o manual do GAUSS).

► Formato

```
{beta,f0,gra,cov,retcode,prob1,prob2,prob3,media,var}=rs_td_3(x,b0);
```

► Input

y: vetor das observações do processo.

b0: valor inicial de $(\alpha_1, \beta_1, \sigma_1, \alpha_2, \beta_2, \sigma_2, \alpha_3, \beta_3, \sigma_3, p_{11}, p_{21}, p_{22}, p_{33}, pa, pb)$ (considerar $pa=0.5, pb=0.5$).

► Output

b: vetor das estimativas de $(\alpha_1, \beta_1, \sigma_1, \alpha_2, \beta_2, \sigma_2, p_{11}, p_{21}, p_{22}, p_{33}, pa, pb)$.

f0: média do logaritmo da função de verosimilhança no maximizante.

gra: *score* no maximizante

cov: matriz das estimativas das variâncias-covariâncias de b (de pseudo máxima verosimilhança).

retcode: convergência. Se retcode = 0 convergência atingida.

prob1: vetor das probabilidades $P[S_t = 1 | \mathcal{F}_{t-1}]$.

prob2: vetor das probabilidades $P[S_t = 2 | \mathcal{F}_{t-1}]$.

prob3: vetor das probabilidades $P[S_t = 3 | \mathcal{F}_{t-1}]$.

media: vetor da média condicional de tipo $(n - 1) \times 1$ onde n é o número de observações.

var: vetor da média condicional de tipo $(n - 1) \times 1$ onde n é o número de observações.

► Library

```
library cml,est_etd;
```

► Fonte

```
c:\gauss\srcnic\est_etd\rs_td.src.
```

8.31 rs_td_4

► Objectivo

Estimar o seguinte modelo

$$y_t = \beta_1(S_t)x_{t1} + \beta_2(S_t)x_{t2} + \dots + \beta_k(S_t)x_{tk} + u_t$$
$$u_t = \sigma(S_t)\varepsilon_t$$

onde, ε_t é i.i.d. com distribuição $N(0, 1)$,

$$\beta_i(S_t) = \begin{cases} \beta_{i1} & \text{se } S_t = 1 \\ \beta_{i2} & \text{se } S_t = 2 \end{cases} \quad \sigma(S_t) = \begin{cases} \sigma_1 & \text{se } S_t = 1 \\ \sigma_2 & \text{se } S_t = 2 \end{cases}$$

e S_t é uma cadeia de Markov homogénea em tempo discreto com espaço de estados $\{1, 2\}$ e com matriz de probabilidades de transição

$$P = \begin{bmatrix} p_{11} & 1 - p_{11} \\ 1 - p_{22} & p_{22} \end{bmatrix}.$$

► Formato

```
{beta,f,g,cov,retcode,prob1,media,var}=rs_td_4(y,x,b0);
```

► Input

y: vetor das observações do processo.

x:

b0: se $b0=0 \Rightarrow b0=\text{OLS}$; caso contrário, $b0$ vector linha de dimensão $2k + 5$

► Output

b:

f0: média do logaritmo da função de verosimilhança no maximizante.

gra: *score* no maximizante

cov: matriz das estimativas das variâncias-covariâncias de b (de pseudo máxima verosimilhança).

retcode: convergência. Se retcode = 0 convergência atingida.

media: vetor da média condicional de tipo $(n - 1) \times 1$ onde n é o número de observações.

var: vetor da média condicional de tipo $(n - 1) \times 1$ onde n é o número de observações.

prob1: vetor das probabilidades $P [S_t = 1 | \mathcal{F}_{t-1}]$ estimadas de tipo $(n - 1) \times 1$ ($t = 2, \dots, n$).

► Library

```
library cml,est_etd;
```

► Fonte

```
c:\gauss\srcnic\est_etd\rs_td.src.
```

8.32 rs_td_5

► Purpose

Estimates the model

$$y_t = c(S_t) + \phi(S_t)y_{t-1} + u_t \\ u_t = \sigma(S_t) \sqrt{y_{t-1}} \varepsilon_t$$

where, ε_t is i.i.d. with $N(0, 1)$ distribution,

$$c(S_t) = \begin{cases} c_1 & \text{se } S_t = 1 \\ c_2 & \text{se } S_t = 2 \end{cases} \quad \phi(S_t) = \begin{cases} \phi_1 & \text{se } S_t = 1 \\ \phi_2 & \text{se } S_t = 2 \end{cases} \quad \sigma(S_t) = \begin{cases} \sigma_1 & \text{se } S_t = 1 \\ \sigma_2 & \text{se } S_t = 2 \end{cases}$$

and S_t is a Markov chain with transition probabilities given by

$$P = \begin{bmatrix} p_{11} & 1 - p_{11} \\ 1 - p_{22} & p_{22} \end{bmatrix}.$$

► Format

```
{b,f0,g,cov,retcode,prob1,media,var}=rs_td_1(y,b0);
```

► Input

y: observations

b0: starting values of $(\alpha_1, \beta_1, \sigma_1, \alpha_2, \beta_2, \sigma_2, p_{11}, p_{22}, pa)$ (considerar pa=0.5).

► Output

b: estimates of $(\alpha_1, \sigma_1, \alpha_2, \sigma_2, p_{11}, p_{22}, pa)$.

f0:

gra: *score*

cov:

retcode: convergence. If retcode = 0 convergence is reached

media: conditional mean $((n - 1) \times 1$ vector)

var: conditional variance $((n - 1) \times 1$ vector)

prob1: $(n - 1) \times 1$ vector $P [S_t = 1 | \mathcal{F}_{t-1}]$ ($t = 2, \dots, n$).

► Library

```
library cml,est_etd;
```

► Fonte

c:\gauss\srcnic\est_etd\rs_td.src.

8.33 smoothed_probabilities

► Objectivo

Calcula $P (S_t = 1 | \mathcal{F}_T)$ para $t = 1, \dots, T$, supondo um modelo regime-switching com dois regimes e matriz de probabilidades de transição

$$P = \begin{bmatrix} \alpha_{11} & 1 - \alpha_{11} \\ 1 - \alpha_{22} & \alpha_{22} \end{bmatrix}$$

► Formato

```
{ptt, sprob,p1} = smoothed_probabilities(alfa11,alfa22,f1,f2,prob1);
```

► Input

alfa11:

alfa22:

f1: vetor de tipo $n \times 1$ densidade associada ao regime 1

f2: vetor de tipo $n \times 1$ densidade associada ao regime 2

prob1: vetor $n \times 1$ $P (S_t = 1 | \mathcal{F}_{t-1})$

► Output

ptt: diagonal de p1

sprob: última coluna de p1

p1:

$$p1 = \begin{bmatrix} P(S_1 = 1 | \mathcal{F}_1) & P(S_1 = 1 | \mathcal{F}_2) & \cdots & P(S_1 = 1 | \mathcal{F}_n) \\ 0 & P(S_2 = 1 | \mathcal{F}_2) & \cdots & P(S_2 = 1 | \mathcal{F}_n) \\ \vdots & \vdots & \ddots & \vdots \\ 0 & 0 & \cdots & P(S_n = 1 | \mathcal{F}_n) \end{bmatrix}$$

► **Library**

```
library est_etd;
```

► **Fonte**

c:\gauss\srcnic\est_etd.src.

8.34 tStudent_1

► **Objectivo**

Estimar o modelo

$$Y_t = \beta_1 X_{1t} + \dots + \beta_k X_{kt} + u_t, \quad u_t \sim t(v).$$

(X pode incluir endógenas desfasadas).

► **Formato**

```
{b,f0,grad,cov,retcode,media}=tStudent_1(gl,y,x);
```

► **Input**

gl: valor inicial para v

y: vetor de tipo $n \times 1$ das observações do processo.

x: matriz de tipo $k \times n$ das variáveis explicativas X (inclui endógenas desfasadas).

► **Output**

b: vetor das estimativas.

f0: média do logaritmo da função de verosimilhança no maximizante.

gra: score no maximizante

cov: matriz das estimativas das variâncias-covariâncias de b (de pseudo máxima verosimilhança).

retcode: convergência. Se retcode = 0 convergência atingida.

media: média condicional de Y .

► **Observações**

Vector dos valores iniciais de b = estimativas OLS

► **Library**

```
library cml,est_etd;
```

► **Fonte**

```
c:\gauss\srcnic\est_etd\garch.src
```

8.35 tstudent_garch

► **Objectivo**

Estimates the model AR(r)+GARCH(p,q)

$$y_t = \phi_1 y_{t-1} + \dots + \phi_r y_{t-r} + \beta_1 x_{1t} + \dots + \beta_k x_{kt} + u_t, \quad u_t = \sigma_t \varepsilon_t, \quad \varepsilon_t \sim t(v)$$
$$\sigma_t^2 = \alpha_0 + \alpha_1 u_{t-1}^2 + \dots + \alpha_q u_{t-q}^2 + \delta_1 \sigma_{t-1}^2 + \dots + \delta_p \sigma_{t-p}^2 + \psi_1 g_{1t} + \dots + \psi_s g_{st}.$$

► **Format**

```
{b,f0,grad,cov,retcode,media,var}=tstudent_garch(b0,y,des,x,p,q,g);
```

► **Input**

b0: initial value for $(\phi, \beta, \alpha, \delta, \psi, v)$; if b0=0 the procedure selects b0=.1|.1|...|.1|10;

y:

des: order r ($r \geq 0$).

x: $k \times n$ matrix of explanatory variables. If x is a scalar, one assumes that the model does not have explanatory variables.

p: order p ($p > 0$).

q: order q ($q > 0$).

g: $s \times n$ matrix composed by the variables that explain σ_t^2 . If g is a scalar, one assume that there are not such variables.

► **Output**

b: estimate of $(\phi, \beta, \alpha, \delta, \psi, v)$

f0: value of likelihood function at maximum divided by the number of observations.

gra: *score*

cov: $\widehat{\text{Cov}}(b)$

retcode: if retcode = 0 convergence is reached.

media: Conditional mean of y .

var: Conditional variance of y .

► Library

```
library cml,est_eta;
```

► Fonte

```
c:\gauss\srcnic\est_eta\garch.src
```

8.36 var_cond

► Objectivo

Estimar não parametricamente a variância condicional $Var[X_t | X_{t-k} = x]$, $k \geq 1$, a partir das observações (X_1, X_2, \dots, X_n) . O estimador é

$$v(x) = \frac{\sum_{t=k+1}^n K\left(\frac{X_{t-k}-x}{h}\right) X_t^2}{\sum_{t=k+1}^n K\left(\frac{X_{t-k}-x}{h}\right)} - \mu(x)^2$$

onde, $\mu(x)$ é a estimativa não paramétrica da média condicional $E[X_t | X_{t-k} = x]$, $K(u) = (2\pi)^{-\frac{1}{2}} e^{-\frac{u^2}{2}}$ e $h = (4/3)^{1/5} \hat{\sigma}_X n^{-1/5}$.

► Formato

```
{x,m,v}=var_cond(y,pontos,des);
```

► Input

y: vetor de observações (X_1, X_2, \dots, X_n) do processo X .

pontos: número de pontos x_i para os quais se calcula $v(x_i)$. Isto é $i = 1, 2, \dots, \text{pontos}$.

Se pontos = 0, calcula-se $v(x_i)$ onde x_i assume todos os valores da amostra (X_1, X_2, \dots, X_n) .

des: valor de k .

► Output

x: vetor x .

m: vetor $\mu(x)$.

v: vetor $v(x)$.

► Library

```
library est_etd;
```

► Fonte

```
c:\gauss\srcnic\est_etd\nao_p_td.src
```

8.37 vq_td

► Objectivo

Estimar o modelo (iv) e (v) juntamente com (i), (ii) ou (iii)

$$X_t = c + \phi_1 X_{t-1} + \dots + \phi_r X_{t-r} + \sigma_t \varepsilon_{t,1} \quad (i)$$

$$\Delta X_t = c + \phi_1 \Delta X_{t-1} + \dots + \phi_r \Delta X_{t-r} + \sigma_t \varepsilon_{t,1} \quad (ii)$$

$$\Delta X_t = c + \phi_1 \Delta X_{t-1} + \dots + \phi_r \Delta X_{t-r} + \sigma_t \varepsilon_{t,1} \quad (iii)$$

$$\sigma_t^2 = \alpha_0^2 + \sum_{i=1}^q \alpha_i (X_{t-i} - \mu_{t-i})^2 + \sum_{i=1}^p \delta_i \sigma_{t-i}^2 \quad (iv)$$

$$\mu_t = (1 - \lambda) \mu_{t-1} + \lambda X_{t-1}. \quad (v)$$

através do método de máxima verosimilhança.

► Formato

```
{b,f0,grad,cov,retcode,media,miu,var}=vq_td(y,r,q,p,b0,prim_dif);
```

► Input

y: vetor das observações do processo.

r: ordem do processo AR.

q: ordem q do desfasamento $(X_{t-i} - \mu_{t-i})^2$

p: ordem AR da variância.

b0: vetor dos parâmetros iniciais, b0=(lam,const,f1,...,fir,a0,a1,...,aq,delta1,...,deltap).

prim_dif: Com prim_dif=1,2 e 3 considera-se respectivamente o modelo (i), (ii) e (iii).

► Output

b: vetor das estimativas de (lam,const,f1,...,fir,a0,a1,...,aq,delta1,...,deltap,var01,...,var0p).

f0: média do logaritmo da função de verosimilhança no maximizante.

gra: score no maximizante

cov: matriz das estimativas das variâncias-covariâncias de b (de pseudo máxima verosimilhança).

retcode: convergência. Se retcode = 0 convergência atingida.

media: vector da média condicional.

miu: vector das estimativas de (v).

var: vector das estimativas de (iv).

► Library

```
library cml, est_etd;
```

► Observações

Comparar com as instruções VQE_TD e VQE_TD1. Com o comando VQ_TD o processo μ não depende de uma v.a. residual.

► Fonte

```
c:\gauss\srcnic\est_etd\vqe_td.src
```

8.38 vqe_td

► Objectivo

Estimar o modelo (i), (iii) e (iv) ou (ii), (iii) e (iv)

$$X_t = c + \phi_1 X_{t-1} + \dots + \phi_r X_{t-r} + \sigma_t \varepsilon_{t,1} \quad (\text{i})$$

$$X_t - X_{t-1} = c + \phi_1 X_{t-1} + \dots + \phi_r X_{t-r} + \sigma_t \varepsilon_{t,1} \quad (\text{ii})$$

$$\sigma_t^2 = \alpha_0^2 + \sum_{i=1}^q \alpha_i (X_{t-i} - \mu_{t-i})^2 + \sum_{i=1}^p \delta_i \sigma_{t-i}^2 \quad (\text{iii})$$

$$\mu_t = (1 - \lambda) \mu_{t-1} + \lambda X_{t-1} + \sigma_v \varepsilon_{t,2}. \quad (\text{iv})$$

através do método da função de verosimilhança simulada:

$$\hat{\theta}_{n,S} = \arg \max_{\theta} \sum_t^n \log \left[\frac{1}{S} \sum_h^S f(X_t | X_{t-1}, \dots, X_{t-r}, \mu_{t-1}^h) \right]$$

onde f é a função densidade de probabilidade normal.

► Formato

```
{b,f0,grad,cov,retcode,media,miu,var}=vqe_td(y,r,q,p,b0,s,seed,prim_dif);
```

► Input

y: vector das observações do processo.

r: ordem do processo AR.

q: ordem q do desfasamento $(X_{t-i} - \mu_{t-i})^2$

p: ordem AR da variância.

b0: vector dos parâmetros iniciais, $b0=(\text{miu0}, \text{sigma}, \text{lam}, \text{const}, \text{f1}, \dots, \text{fir}, \text{a0}, \text{a1}, \dots, \text{aq}, \text{delta1}, \dots, \text{deltap}, \text{var01}, \dots, \text{var0p})$.

s: valor S .

prim_dif: se prim_dif=0 considera o modelo (i); no caso contrário considera o modelo (ii)

► Output

b: vector das estimativas de $(\text{miu0}, \text{lam}, \text{const}, \text{f1}, \dots, \text{fir}, \text{a0}, \text{a1}, \dots, \text{aq}, \text{delta1}, \dots, \text{deltap}, \text{var01}, \dots, \text{var0p})$.

f0: média do logaritmo da função de verosimilhança no maximizante.

gra: *score* no maximizante

cov: matriz das estimativas das variâncias-covariâncias de b (de pseudo máxima verosimilhança).

retcode: convergência. Se retcode = 0 convergência atingida.

media: vector da média condicional.

miu: vector das médias das S trajectórias de μ [equação (iv)] no valor maximizante.

var: vector das média das S trajectórias de σ_t^2 [equação (iii)] no valor maximizante.

► Library

```
library cml,est_etd;
```

► Fonte

```
c:\gauss\srcnic\est_etd\vqe_td.src
```

8.39 vqe_td1

Igual ao procedimento VQE_TD com excepção de que com VQE_TD1 os parâmetros miu0 e var0 são inicializados, através do cálculo dos dois primeiros momentos do processo relativamente às primeiras observações. O vector de inicialização é agora $b0=(\text{lam}, \text{sigma}, \text{const}, \text{f1}, \dots, \text{fir}, \text{a0}, \text{a1}, \dots, \text{aq}, \text{delta1}, \dots, \text{deltap})$.

8.40 vqe_td2

► Objectivo

Estimar o modelo

$$\Delta Y_t = \beta_1 X_{t1} + \dots + \beta_k X_{tk} + \phi_1 \Delta Y_{t-1} + \dots + \phi_r \Delta Y_{t-r} + \sigma_t \varepsilon_{t,1}$$

$$\begin{aligned}\sigma_t^2 &= \alpha_0^2 + \sum_{i=1}^q \alpha_i (Y_{t-i} - \mu_{t-i})^2 + \sum_{i=1}^p \delta_i \sigma_{t-i}^2 \\ \mu_t &= \lambda_0 + (1 - \lambda) \mu_{t-1} + \lambda Y_{t-1}.\end{aligned}$$

através do método da função de verosimilhança (assumindo normalidade). Nota: assume-se que $Y_t \sim I(1)$.

► Formato

```
{beta,f0,grad,cov,retcode,media,miu,varVQE}=vqe_td2(y,x,r,q,p,b0);
```

► Input

y: vector das observações do processo.

x: matriz x (devendo-se incluir sempre o vector de 1's para o termo independente). Considerar eventualmente as instruções _cml_A e _cml_B se não se quiser o termo independente).

r: ordem do processo AR.

q: ordem q do desfasamento $(X_{t-i} - \mu_{t-i})^2$

p: ordem AR da variância.

b0: vector dos parâmetros iniciais. No caso $r = 1, q = 1$ e $p = 1$ b0 é

```
b0=(beta1,f1,a0/10^6,alfa1,delta1,lambda0,lambda1);
```

► Output

b: vector das estimativas de (miu0, lam, const, f1, ..., fir, a0, a1, ..., aq, delta1, ..., deltap, var01, ..., var0p).

f0: média do logaritmo da função de verosimilhança no maximizante.

gra: score no maximizante

cov: matriz das estimativas das variâncias-covariâncias de b (de pseudo máxima verosimilhança).

retcode: convergência. Se retcode = 0 convergência atingida.

media: vector da média condicional.

miu: vector $\hat{\mu}$.

var: vector de $\hat{\sigma}_t^2$.

► **Library**

```
library cml,est_etd;
```

► **Fonte**

```
c:\gauss\srcnic\est_etd\vqe_td.src
```

9 Expected Time [ET]

9.1 bootstrap_block

► Purpose

To generate one sequence of bootstrap observations from a MC based on the regeneration-based bootstrap procedure of Athreya and Fuh (1992) (see also Kreiss and Lahiri, 2012). For Markov chains satisfying the Harris recurrence condition, successive returns to a recurrent state gives a decomposition of the chain into i.i.d. cycles (of random lengths). The regeneration-based bootstrap resamples these i.i.d. cycles to generate the bootstrap observations. Let A be an “accessible atom”, in our case $A \in \mathcal{S} = \{1, 2, 3\}$. Define the successive return times to A by

$$\tau_1 = \inf \{t : S_t = A\}, \quad \tau_{k+1} = \inf \{t : t > \tau_k, S_t = A\}, \quad k \geq 1.$$

By strong Markov property, the blocks $B_k = \{S_t : \tau_k + 1 \leq t \leq \tau_{k+1}\}$, $k \geq 1$ are i.i.d. variables in the space $\cup_{k \geq 1} \mathcal{S}^k$. Therefore the regeneration-based bootstrap resamples the collection of blocks $\{B_k : B_k \subset \{S_0, \dots, S_{n-1}\}\}$ with replacement to generate the bootstrap observations. Therefore, the size of B_k may be obtained counting the average successive returning times to $S_t = 1$.

► Formato

SS=bootstrap_block(S,n_block);

► Input

S: vector of observations of the MC

n_Block:

► Output

SS: bootstrap observations

► Library

library ET;

► Source

c:\gauss\srcnic\ET\?

9.2 bootstrap ET

► Purpose

To calculate confidence intervals for the expected time derived from a r th Markov chain. We consider the regeneration-based bootstrap procedure of Athreya and Fuh (1992) (see also Kreiss and Lahiri, 2012). For Markov chains satisfying the Harris recurrence condition, successive returns to a recurrent state gives a decomposition of the chain into i.i.d. cycles (of random lengths). The regeneration-based bootstrap resamples these i.i.d. cycles to generate the bootstrap observations. Let A be an “accessible atom”, in our case $A \in \mathcal{S} = \{1, 2, 3\}$. Define the successive return times to A by

$$\tau_1 = \inf \{t : S_t = A\}, \quad \tau_{k+1} = \inf \{t : t > \tau_k, S_t = A\}, \quad k \geq 1.$$

By strong Markov property, the blocks $B_k = \{S_t : \tau_k + 1 \leq t \leq \tau_{k+1}\}$, $k \geq 1$ are i.i.d. variables in the space $\cup_{k \geq 1} \mathcal{S}^k$. Therefore the regeneration-based bootstrap resamples the collection of blocks $\{B_k : B_k \subset \{S_0, \dots, S_{n-1}\}\}$ with replacement to generate the bootstrap observations. Therefore, the size of B_k may be obtained counting the average successive returning times to $S_t = 1$.

This routine needs to run two other routines:

```
SS=bootstrap_block(S,n_block);
{ET[i,j],S0,se1}=expected_time2(0,SS,x0[j],x1,0,L,0);
```

► Formato

```
{media,SE}=bootstrap_ET(S,n_block,r,replicas,x0,x1);
```

► Input

S: vector of observations of the MC

n_Block:

r: order of the MC

replicas:

x0:

x1:

► Output

media: mean of ET generated by bootstrap

SE: SE of ET generated by bootstrap

► Library

library ET;

► **Source**

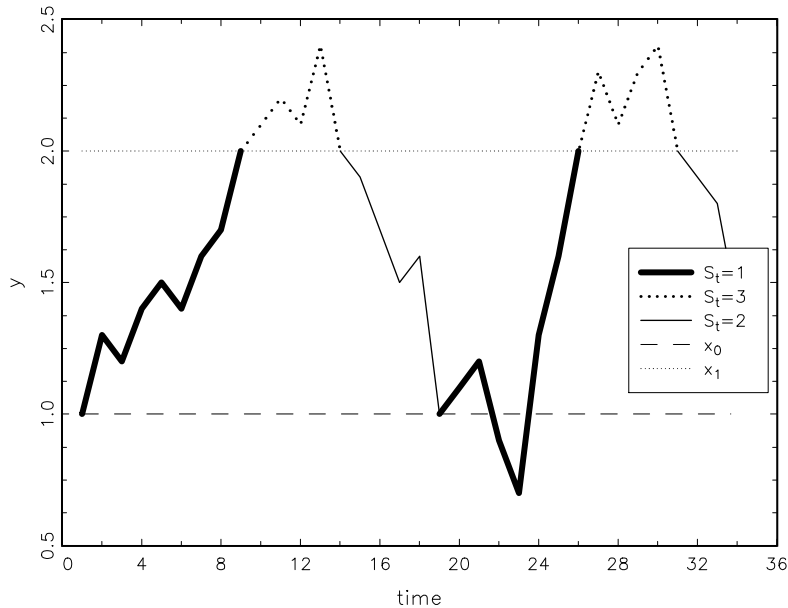
c:\gauss\srcnic\ET\?

9.3 build_seq_123

► Purpose

Given the thresholds x_0 and x_1 , the procedure transform y into a sequence of 1,2 and 3 according to the rule

$$S_t = \begin{cases} 1 & \text{if } y_t < x_1, y_{t-1} < x_1, \dots, y_{t-k+1} < x_1, y_{t-k} \leq x_0 \\ 2 & \text{if } x_0 < y_t \leq x_1, x_0 < y_{t-1} \leq x_1, \dots, x_0 < y_{t-k+1} \leq x_1, y_{t-k} \geq x_1 \\ 3 & \text{otherwise.} \end{cases}$$



► Format

```
{S,t0}=build_seq_123(y,x0,x1,aparar);
```

► Input

x0:

x1:

y: vector de observations

aparar: If aparar=1 the procedure trims the last sequence of ones (because $S_t = 1$ could have continued - to avoid the problem of censored data)

► Output

t0: The sequence S starts at $S = 1$ when y_t crosses x_0 . That period is t_0

S:

► **Library**

library ET;

► **Source**

c:\gauss\srcnic\ET\estima.src

9.4 expected_time

► **Purpose**

1- To estimate the ET for y_t to cross x_1 given that $y_t = x_0 < x_1$.

2- To estimate the ET for y_t to cross x_1 given that $y_t = x_0 > x_1$.

To decide between 1 and 2 write $x_0 < x_1$ or $x_0 > x_1$, respectively.

The procedure first finds x_0 and then calculate how many periods it takes to cross x_1 . After crossing x_1 it finds the next x_0 and the calculation is repeated.

► **Formato**

{t0,t1,et}=expected_time(x0,x1,y,mostrar);

► **Input**

x0:

x1:

y: vector de observaciones

mostrar: show t0,t1,et

► **Output**

t0: periods where x_0 were crossed

t1: periods where x_1 were first crossed after x_0

ET: expected time (empirical mean of all value t1-t0)

► **Library**

library ET;

► **Fonte**

c:\gauss\srcnic\ET\estima.src

9.5 expected_time2

► Purpose

To calculate

$$E(T) = \sum_{t=1}^r t(1-p_t) \prod_{i=1}^{t-1} p_i + \left((1-p_r) \prod_{i=1}^{r-1} p_i \right) \frac{p_r(1+r-rp_r)}{(1-p_r)^2}$$

This expression reduces to the following formulas:

$$\begin{aligned} r=1 &\Rightarrow E(T) = \frac{1}{1-p_1} = \frac{1}{1-P_{11}} \\ r=2 &\Rightarrow E(T) = \frac{1+p_1-p_2}{1-p_2}, \text{etc.} \end{aligned}$$

r is the order of the Markov chain.

► Formato

{ET,S,se1}=expected_time2(y,S,x0,x1,aparar,r,mostrar);

► Input

y: scalar or $n \times 1$ vector of observations. The case $y = \text{scalar}$ means that the S sequence was already obtained and it will be provided in the next input

S: scalar or $n \times 1$ vector of observations the state space may be $\{1, 2\}$, or $\{1, 2, 3\}$, $\{0, 1\}$, etc. Must include $\{1\}$. The expected time is calculated in relation to $\{1\}$

x0:

x1:

aparar: If aparar=1 the procedure trims the last sequence of ones (because $S_t = 1$ could have continued - to avoid the problem of censored data)

r: order of the Markov chain (maximum = 5)

mostrar: If mostrar =1 it presents some results related to the case $L = 1$

► Output

ET:

S:

SE1: SE associated with $L = 1$. It is based on the result $\sqrt{n} (\widehat{E(T)} - E(T)) \xrightarrow{d} N(0, P_{11}/((1-P_{11})^3 \pi_1))$

► Library

library ET;

► Source

c:\gauss\srcnic\ET\estima.src

9.6 expected_time3

► Purpose

Same as expected_time2, but faster. The output is just ET.

► Formato

ET=expected_time3(S,L);

► Input

S: scalar or $n \times 1$ vector of observations the state space may be $\{1, 2\}$, or $\{1, 2, 3\}$, $\{0, 1\}$, etc. Must include $\{1\}$. The expected time is calculated in relation to $\{1\}$.

L: order of the Markov chain (maximum = 5)

► Output

ET:

► Library

library ET;

► Source

c:\gauss\srcnic\ET\estima.src

10 Histogram Time Series [hts]

10.1 bins_same_width

► Purpose

Builds an equivalent histogram where the bins have the same width (the output generally creates different bins).

► Format

```
{l,u,pr}=bins_same_width(xL,xU,p,bars);
```

► Input

xL: $m \times 1$ matrix. Lower bounds

xU: $m \times 1$ matrix. Upper bounds

p: $m \times 1$ probabilities associated with each bin

bars: number of bins

► Output

l: $bars \times 1$ Lower bounds

u: $bars \times 1$ Upper bounds

pr: $bars \times 1$ probabilities

► Remarks

RV_CTS_1 procedure calls CTS_1

► Library

```
library hts;
```

► Source

```
c:\gauss\srcnic\hts\basic1.src
```

10.2 barycentric_histogram_v1

► Purpose

Builds the barycentric histogram

► Format

```
{lB,uB,p,z}=barycentric_histogram_v1(xL,xU,pr,weights);
```

► Input

xL: $n \times m$ matrix. Lower bounds

xU: $n \times m$ matrix. Upper bounds

pr: $n \times m$ matrix. Probabilities

weights: weights of the n histograms

► Output

lB: $m' \times 1$ Lower bounds of the barycentric histogram

uB: $m' \times 1$ Upper bounds of the barycentric histogram

p: $m' \times 1$ probabilities associated with the barycentric histogram

z: cumulative distribution: $0 \sim p[1] \sim (p[1]+p[2]) \sim \text{etc.}$

► Remarks

This procedure calls the following other procedures: obtain_z_from_n_histograms and standardise_intervals.

► Library

```
library hts;
```

► Source

```
c:\gauss\srcnic\hts\basic1.src
```

► Example

```
xL={1 2 3,  
     11 12 13};  
  
xU={2 3 4,  
     12 13 14};  
  
pr={0.7 .2 .1,  
    0.1 .2 .7};  
  
weights=.5|.5;
```

Output:

```
print lB|uB;  
  
6.0000000 6.5714286 7.2142857 7.7857143 8.4285714  
6.5714286 7.2142857 7.7857143 8.4285714 9.0000000  
  
print p;  
  
0.10000000 0.20000000 0.40000000 0.20000000 0.10000000
```

10.3 barycentric_histogram_v2

► Purpose

Build the barycentric histogram

► Format

```
{lB,uB,p,z}=barycentric_histogram_v1(xL,xU,pr,weights,cumprob);
```

► Input

xL: $n \times m$ matrix. Lower bounds

xU: $n \times m$ matrix. Upper bounds

pr: $n \times m$ matrix. Probabilities

weights: weights of the n histograms

cumprob:

► Output

lB: $m' \times 1$ Lower bounds of the barycentric histogram

uB: $m' \times 1$ Upper bounds of the barycentric histogram

p: $m' \times 1$ probabilities associated with the barycentric histogram

► Remarks

This procedure calls the following other procedures: obtain_z_from_n_histograms and standardise_intervals.

► Library

```
library hts;
```

► Source

```
c:\gauss\srcnic\hts\basic1.src
```

10.4 cdf_histogram

► Purpose

See expression 4 of Arroyo et al. (2009).

► Format

```
p=cdf_histogram(x,xL,xU,pX);
```

► Input

x: scalar $x \in \mathbb{R}$

xL: $1 \times m$ vector. Lower bounds

xU: $1 \times m$ vector. Upper bounds

pX: $1 \times m$ vector. Probabilities

► **Output**

p:

► **Library**

```
library hts;
```

► **Source**

```
c:\gauss\srcnic\hts\basic1.src
```

10.5 inverse_cdf_histogram

► **Purpose**

See formula A.2 of Arroyo et al. (2009).

► **Format**

```
inv_CDF=inverse_cdf_histogram(p,xL,xU,pX);
```

► **Input**

p: scalar $p \in [0, 1]$

xL: $1 \times m$ vector. Lower bounds

xU: $1 \times m$ vector. Upper bounds

pX: $1 \times m$ vector. Probabilities

► **Output**

inv_CDF:

► **Library**

```
library hts;
```

► **Source**

c:\gauss\srcnic\hts\basic1.src

► Example

```
xL=[10 20 30];
xU=[20 30 40];
pX=[0.7 .2 .1];
p=0;
inv_CDF=inverse_cdf_histogram(p,xL,xU,pX);
```

print inv_CDF;

Output:

10

10.6 kernel_densityHTS

► Purpose

Calculates

$$\begin{aligned}\tilde{f}_{n+1}(\xi) &= \sum_{t=1}^n \sum_{i=1}^m \frac{1}{mh_t} K\left(\frac{X_{ti} - \xi}{h_t}\right) \frac{\alpha^{n-t}(1-\alpha)}{1-\alpha^n} \\ &= \sum_{t=1}^n \hat{f}_t(\xi) \frac{\alpha^{n-t}(1-\alpha)}{1-\alpha^n}\end{aligned}$$

► Format

```
p=kernel_densityHTS(y,x0,alfa,hh);
```

► Input

y: matrix $n \times m$ (n observations)

x0: scalar

alfa: α

hh: scalar \bar{h} in the expression $h_t = \bar{h}(4/3)^{.2} * stdc(y[t, :]t) * m^{-1/5};$

► Output

p: scalar $\tilde{f}_{n+1}(\xi)$

► **Library**

```
library hts;
```

► **Source**

```
c:\gauss\srcnic\hts\kernel_density.src
```

10.7 Mallows_distance

► **Purpose**

To measure the distance between the histograms $\{xL[1,.], xU[1,.], pr[1,.]\}$ and $\{xL[2,.], xU[2,.], pr[2,.]\}$

► **Format**

```
d=Mallows_distance(xL,xU,pr);
```

► **Input**

xL: $2 \times m$ vector. Lower bounds

xU: $2 \times m$ vector. Upper bounds

pr: $2 \times m$ vector. Probabilities

► **Output**

d:

► **Library**

```
library hts;
```

► **Source**

```
c:\gauss\srcnic\hts\basic1.src
```

10.8 Mallows_distance_n

► **Purpose**

To measure the distance between n pairs of histograms

$$xL = \begin{bmatrix} 1^{st} hist \\ 2^{nd} hist \\ \dots \\ n^{th} hist \end{bmatrix} \text{ (lower bounds)} \quad xU = \begin{bmatrix} 1^{st} hist \\ 2^{nd} hist \\ \dots \\ n^{th} hist \end{bmatrix} \text{ (upper bounds)}$$
$$yL = \begin{bmatrix} 1^{st} hist \\ 2^{nd} hist \\ \dots \\ n^{th} hist \end{bmatrix} \text{ (lower bounds)} \quad yU = \begin{bmatrix} 1^{st} hist \\ 2^{nd} hist \\ \dots \\ n^{th} hist \end{bmatrix} \text{ (upper bounds)}$$

It is measured the distance between

$$h_{X1} = \{xL[1, .], xU[1, .]\} \text{ and } h_{Y1} = \{yL[1, .], yU[1, .]\}$$

then, between

$$h_{X2} = \{xL[2, .], xU[2, .]\} \text{ and } h_{Y2} = \{yL[2, .], yU[2, .]\}$$

and so on.

► Format

{d, dist} = Mallows_distance_n(xL, xU, pX, yL, yU, pY);

► Input

xL: $n \times m$ vector. Lower bounds

xU: $n \times m$ vector. Upper bounds

pX: $n \times m$ vector. Probabilities

yL: $n \times m$ vector. Lower bounds

yU: $n \times m$ vector. Upper bounds

pY: $n \times m$ vector. Probabilities

► Output

d: $n \times 1$ gives

$$\begin{bmatrix} D(h_{X1}, h_{Y1}) \\ \vdots \\ D(h_{Xn}, h_{Yn}) \end{bmatrix}$$

where $D(h, g)$ is the Mallows distance between f and g

dist: sums up all the distances, i.e., gives $\sum_{i=1}^n D(h_{Xi}, h_{Yi})$.

► Library

library hts;

► Source

c:\gauss\srcnic\hts\basic1.src

10.9 obtain_z_from_n_histograms

► Purpose

See the example

► Format

```
z=obtain_z_from_n_histograms(p);
```

► Input

p: $n \times m$ matrix. Probabilities

► Output

z: cumulative distribution: 0 ~ p[1] ~ (p[1]+p[2]) ~ etc.

► Library

```
library hts;
```

► Source

```
c:\gauss\srcnic\hts\basic1.src
```

► Example

```
pr={0.7 .2 .1,
```

```
0.1 .2 .7};
```

First step

$$a = \underbrace{0|0.7|0.9|1}_{\text{cum 1st dist.}} \underbrace{|0|0.1|.3|1}_{\text{cum 2nd dist.}}$$

Second step: sort a :

0|0|0.1|0.3|0.7|0.9|1|1

Finally: eliminate the repetitions

10.10 standardise_intervals

► Purpose

See the example

► Format

```
{xL1,xU1,p}=standardise_intervals(xL,xU,piX,z);
```

► **Input**

xL: $1 \times m$ vector. Lower bounds

xU: $1 \times m$ vector. Upper bounds

piX: $1 \times m$ vector. Probabilities

z: $k \times 1$ cumulative distribution function

► **Output**

xL1: $1 \times k$ vector. Lower bounds

xU1: $1 \times k$ vector. Upper bounds

p: $1 \times k$

► **Library**

```
library hts;
```

► **Source**

```
c:\gauss\srcnic\hts\basic1.src
```

► **Example**

Suppose you are given the cumulative distribution $z = 0|1|3|4|9|1$

>From the original histogram $\{XL,xU,piX\}$, the issue is to define 5 bins (since z is a 5×1 vector) with cumulative distribution given by z . Obviously the width of the bins will be defined according to the z vector.

This procedure allows to compare two or more histograms since not only we have the same number of bins across all histograms, but also the probabilities associated with each bin are the same.

```
xL={1 2 3,  
    11 12 13};  
  
xU={2 3 4,  
    12 13 14};  
  
p={0.7 .2 .1,  
    0.1 .2 .7};  
  
cls;
```

```

z=obtain_z_from_n_histograms(p);

print "z";;z;

print;

{l,u,p1}=standardise_intervals(xL[1,.],xU[1,.],p[1,.],z);

l|u;

{l,u,p2}=standardise_intervals(xL[2,.],xU[2,.],p[2,.],z);

l|u;

```

Output:

```

z

0.00000000

0.10000000

0.30000000

0.70000000

0.90000000

1.00000000

l|u

1.0000000 1.1428571 1.4285714 2.0000000 3.0000000

1.1428571 1.4285714 2.0000000 3.0000000 4.0000000

l|u

11.000000 12.000000 13.000000 13.571429 13.857143

12.000000 13.000000 13.571429 13.857143 14.000000

```

11 QORegression [qor]

11.1 QOR_II

► Purpose

- To estimate $E(\tau | \mathbf{x} = \mathbf{x}_0)$, where $\tau := F(y)$ is the CDF of y ;
- To provide confidence intervals for $E(\tau | \mathbf{x} = \mathbf{x}_0)$.

One assumes

$$y_i = \mathbf{x}'_i \boldsymbol{\beta} + \varepsilon_i \\ F(y_i) = F(\mathbf{x}'_i \boldsymbol{\beta} + \varepsilon_i).$$

Two estimators are offered for $E(\tau | \mathbf{x} = \mathbf{x}_0)$:

1. $\hat{\mu}_1 = \frac{1}{S_1} \sum_{j=1}^{S_1} F_n \left(\mathbf{x}'_0 \hat{\boldsymbol{\beta}} + \varepsilon_j^* \right)$, where $\hat{\boldsymbol{\beta}} = (\mathbf{X}' \mathbf{X})^{-1} \mathbf{X}' \mathbf{y}$, ε_j^* is obtained by resampling (bootstrap) $\{\hat{\varepsilon}_1, \dots, \hat{\varepsilon}_n\}$, $\hat{\varepsilon}_i = y_i - \mathbf{x}'_i \hat{\boldsymbol{\beta}}$, and
2. $\hat{\mu}_2 = \frac{1}{S_1} \sum_{j=1}^{S_1} \left(\frac{1}{S_2} \sum_{i=1}^{S_2} \hat{\theta}_i \right)$, where $\hat{\boldsymbol{\beta}}^{(i)} = (\mathbf{X}' \mathbf{X})^{-1} \mathbf{X}' \mathbf{y}^{(i)}$, $\hat{\theta}_i = F_n \left(\mathbf{x}'_0 \hat{\boldsymbol{\beta}}^{(i)} + \varepsilon_j^* \right)$, $\{\mathbf{y}^{(1)}, \dots, \mathbf{y}^{(S_1)}\}$ are generated according to $\mathbf{y}^{(i)} = \mathbf{X} \hat{\boldsymbol{\beta}} + \boldsymbol{\varepsilon}^{**}$, and $\boldsymbol{\varepsilon}^{**}$ is obtained by resampling the residuals, keeping the values ε_j^* 's fixed.

The confidence intervals are obtained from the sequence

$$\{\hat{\theta}_1, \dots, \hat{\theta}_{S_2}\}$$

etc. etc.

► Format

{miu1, miu2, ci}= QOR_II(y,x,x0,replicas1,replicas2,conf_level,shows);

► Input

y: $n \times 1$

x: $n \times K$

x0: $L \times 1$

replicas1: scalar S_1

replicas2: scalar S_2

conf_level: confidence level $\in [0, 1]$. If this level is zero $\hat{\mu}_2$ is not computed and the procedure runs much faster

shows: if shows=1 some graphs are presented.

► **Output**

miu1: $\hat{\mu}_1$

miu2: $\hat{\mu}_2$

CI: $L \times 2$ matrix (confidence interval)

► **Remarks**

► **Library**

12 Portfolio [portf]

12.1 portfolio_01

► Purpose

► Format

{w,varP,miuP,miu_min,var_min,wT,miuT,varT,s}=portfolio_01(r,miuf,miu,H,pontos);

► Purpose

► Input

r: m time-series of returns ($n \times m$ matrix)

miuf: risk-free return. If miuf=0 portfolio doe not involve the risk-free return

miu: $m \times 1$ (mean of returns). If h=0 the unconditional mean is calculated.

H: $m \times m$ (variance-covariance matrix of returns). If h=0 the unconditional variance-covariance is calculated.

pontos: number of points to be used to build the efficient frontier

► Output

w: matriz de pesos de ordem pontos \times nº de activos (linha i : pesos dos vários activos associados à rendibilidade miuP[i])

varp: vector pontos \times 1. Variância da carteira associada às rendibilidades miuP

miuP: miuP=seqa(minc(miu),(maxc(miu)-minc(miu))/(pontos-1),pontos);

miu_min: rendibilidade associada à variância mínima do portfolio

var_min: variância mínima do portfolio

wT: pesos do *tangency portfolio*, T

miuT: μ_T

varT: σ_T^2

s: racio de Sharp, $s = \frac{\mu_T - \mu_f}{\sigma_T}$

► Remarks

Se _mostrar=1 (default) mostra os graficos.

► Library

```
library portf, pgraph;
```

13 Realized Volatility [realvol]

13.1 CTS_1

► Purpose

Defines equidistant time periods from one day tick-by-tick data, and gets the associated prices.

► Format

```
{p,s}=CTS_1(z,interval);
```

► Input

z: $n \times 4$ matrix where: first column of z: prices; second column: hours; third column: minutes; fourth column: seconds

interval: interval in seconds between two consecutive observations.

► Output

p: new time series built from z, with smaller sampling frequency than z.

s: time in seconds associated with p.

► Remarks

RV_CTS_1 procedure calls CTS_1

► Library

```
library realvol;
```

13.2 CTS_1

► Purpose

Define equidistant time periods and gets the associated prices. Adequate for one day of observations. The original observations must be also equidistant. This procedure is much quicker than RV_CTS_1.

► Format

```
p=CTS_2(z,k);
```

► Input

z: equidistant time prices (for example every 15 seconds).

k: integer that governs the sampling frequency of the new time series. See remarks below.

► Output

p: new time series built from z, according to the parameter m, with smaller sampling frequency than z. See remarks below.

► Remarks

To illustrate the procedure suppose that $z = (z_1, z_2, \dots)$. If $m = 1$ then $p = z$. If $m = 2$ then $p = (z_1, z_3, \dots)$. If $m = 3$ then $p = (z_1, z_4, \dots)$.

► Library

```
library realvol;
```

13.3 dummies_int_rates

► Purpose

Creates a set of dummies that capture the following events: maintenance period, Governing Council, week days, end of month and end of year.

► Format

```
{d0,d1,d2,d3,d4,d5,d6,gc,mp_before,mp_after,tuesday_mp, end_month,end_year,  
monday, tuesday, wednesday,thursday, friday}
```

```
=dummies_int_rates(dmy,gc_dates);
```

► Input

dmy: $n \times k$ vector ($k \geq 4$). It should be provided the following information in the first four columns

day month year weekday

where $day = 1, \dots, 31$, $month = 1, \dots, 12$, $year = 2003$ (for example), $weekday = 2, 3, 4, 5, 6$. $Weekday = 2 = \text{Monday}$, $Weekday = 3 = \text{Tuesday}$, etc.

gc_dates: $j \times 3$ matrix where j is the number of governing council meetings. The governing council meetings dates from 14/12/2000 to 4/9/2003 are:

```
gc_dates={14 12 2000, 1 2 2001, 1 3 2001, 11 4 2001, 10 5 2001, 7 6 2001, 5 7  
2001, 2 8 2001, 13 9 2001, 11 10 2001,  
8 11 2001, 6 12 2001, 3 1 2002, 7 2 2002, 4 3 2002, 2 4 2002, 6 6 2002, 4 7 2002,  
1 8 2002, 12 9 2002, 10 10 2002,  
7 11 2002, 5 12 2002, 9 1 2003, 6 2 2003, 6 3 2003, 3 4 2003, 8 5 2003, 5 6 2003,  
10 7 2003, 4 9 2003};
```

Note: you can just copy this instruction into your GAUSS program (please confirm the dates).

► Output

d0,d1,...,d6:

$$d0_t = \begin{cases} 1 & t = 23 \\ 0 & t \neq 23 \end{cases}, \quad d1_t = \begin{cases} 1 & t = 22 \\ 0 & t \neq 22 \end{cases}, \dots, d6_t = \begin{cases} 1 & t = 17 \\ 0 & t \neq 17 \end{cases}$$

For example, $d4 =$ four days before the end of maintenance period

gc:

$$gct_t = \begin{cases} 1 & t \text{ coincides with a GC meeting} \\ 0 & \text{other cases} \end{cases}$$

mp_before:

$$mp_before_t = \begin{cases} 1 & t = 19 \text{ or } 20 \text{ or } \dots \text{ or } 23 \\ 0 & \text{other cases} \end{cases}$$

mp_after:

$$mp_after_t = \begin{cases} 1 & t = 24 \text{ or } 25 \text{ or } \dots \text{ or } 28 \\ 0 & \text{other cases} \end{cases}$$

tuesday_mp:

$$tuesday_mp = \begin{cases} 1 & t \text{ coincides with a day between last Tuesday before the 23th and the 23th} \\ 0 & \text{other cases} \end{cases}$$

end_month, end_year: Obvious. End_year is only the event 31/December. It is easy to alter the procedure in order to define other days around the 31/December.

monday, tuesday, wednesday, thursday, friday: Obvious

► Remarks

After running the program it is useful to define the last day of the maintenance period that falls on Saturday or Sunday. To do that consider the instruction

```
friday1=friday.*(d1+d2);
```

► Library

```
library realvol;
```

► Source

```
c:\gauss\srcnic\realvol\useful.src
```

13.4 get_time_series_CTS_1

► Purpose

Obtains equidistant log prices with a discretization step of m seconds

► Format

```
z=get_time_series_CTS_1(first_year,last_year,interval,x);
```

► **Input**

first year:

last year:

interval: intraday interval between observations from which the realized volatility is calculated (m).

x: tick-by-tick data (raw data)

► **Output**

z: $n \times 4$ matrix where:

first column of z: year

second column of z: month

third column of z: day

fourth column of z: $\log P_{t_i}$, such that $t_i - t_{i-1} = m$ seconds, $i = 1, \dots, n$.

► **Library**

```
library realvol;
```

13.5 out_detection

► **Purpose**

This is an **ad-hoc** procedure to detect outliers in a time series under regime switching structure. The procedure detects an outlier if $|e_{t,h}| > k$, where

$$e_{t,h} = \frac{X_t - m_{t,h}}{s}, \quad t = 1, 2, \dots, T$$

$$m_{t,h} = \begin{cases} \frac{X_1 + \dots + X_h}{h} & t = 1, 2, \dots, h \\ \frac{X_{t-h} + \dots + X_t + \dots + X_{t+h}}{2h+1} & t = h, h+1, \dots, T-h \\ \frac{X_{T-h+1} + \dots + X_T}{h} & t = T-h+1, T-h+2, \dots, T \end{cases}$$

s = standard deviation of the data $\{X_{(.025)}, \dots, X_{(.975)}\}$
where $X_{(q)}$ is the quantile of order q

► **Format**

```
y=out_detection(x,h,k);
```

► **Input**

x: $n \times 1$ vector of observations

h:

k:

► Output

y: x sequence cleaned from outliers

► Observation

(1) The procedure doesn't automatically eliminate the outliers. The user is asked about what to do with them. The program requests input from the keyboard (-999 interrupt the execution)

(2) An improvement of this procedure consist in evaluating the hypothesis $H_0 : \omega_i = 0$ in the regression

$$e_{t,h} = c + \omega_i I_{\{t=i\}} + \varepsilon_{i,t}$$

where $I_{\{t=i\}} = 1$ if $t = i$, for different values of i (for example, $i = h, h+1, \dots, T-h$).

► Library

Library realvol;

► Source

c:\gauss40\srcnic\useful.src

13.6 real_covariance

► Purpose

Estimates the realized variance, covariance and correlations from a set of time series.

► Format

{rcov,rcorr,r_h,dmy_h,r_standardized,rsd}=real_covariance(m,freq,x,dmy,print_graphs,rvz,q);

► Input

m: m is the number of observations in each period (see REAL_VOLATILITY procedure)

freq: see REAL_VOLATILITY

x: $n \times k$ matrix of observations (k times series)

dmy: $n \times c$ matrix of date information. For instance, a row of the dmy matrix can be like [25 9 2003 5] which identifies the date 25/9/2003 (Thursday =5)

print_graphs if equals 1 then a set of figures are displayed

rvz: if equals 1 then all the periods in which the realized volatility of the first time series is zero are removed. The procedure gives information on the removed observations ($rvz = 1$ is useful if one wants to compute the log volatility. Moreover it can help to identify holidays). In the case of interest rates it is advisable to consider as the first time series the overnight rate (first column of x).

q: 2×1 vector. It trims the vector of quadratic variation. If $q=0|1$; the procedure considers all quadratic variations.

► Output

rcov: $(n/m) \times ((1 + k)k/2)$ matrix of realized (e.g. daily) variance-covariance (the procedure explains the sequence of columns)

rcorr: $(n/m) \times ((1 + k)k/2 - k)$ matrix of realized (e.g. daily) correlations (the procedure explains the sequence of columns)

r_h: $(n/m) \times k$ matrix of (e.g. daily interest rates) observations

dmy_h: $(n/m) \times k'$ matrix. It gives the date associated with the rcov estimates

r_standardized: $(n/m) \times k$ matrix of (e.g. daily) observations standardized by the realized standard deviation

rsd: $(n/m) \times k$ matrix of realized standard deviation (associated with the k time series).

► Remarks

In principle, the ratio n/m should be an integer number. For example, if the step of discretization of the original data is 5 minutes and $m = 108$, the procedure calculates daily realized covariance and variance $((9 \text{ hours} \times 60)/5=108)$. In the last day, if we do not have 9 hours of observations the ratio n/m won't be an integer number. In this case the procedure eliminates all the observations corresponding to the last day. Specifically, the procedure will consider the first $n - d$ observations where $d = n - \text{int}(n/m) \times m$ and $\text{int}(x)$ represents the integer of x . **To obtain reliable results it is absolutely necessary that all periods (with the possible exception of the last one) have the same number of observations.** For example, with 5 minutes intraday observations and $m = 108$ all days should have 108 observations. With $m = 540$ (180×5) all weeks should have 5 days of observations (if you have eliminated at least one holiday then the **REAL_VOL_WMY** procedure shoud be ran instead, in order to obtain weekly or monthly realized volatility).

► Library

library realvol, pgraph;

► Source

c:\gauss\srcnic\realvol\realvol.src

13.7 real.vol.01

► Objectivo

Estimates the realized variance, covariance and correlations from a set of time series.

► Formato

```
{data,rv}=real.vol.01(t,y);
```

► Input

t: vector de dimensão $n \times 1$ com datas repetidas (a realized volatility é calculada para as datas repetidas)

y: matriz $n \times k$

► Output

data: vector de dimensão $m \times 1$, $m < n$

rv: matriz de dimensão $m \times k'$, onde $k' = k(k + 1)/2$

► Library

```
library realvol;
```

► Fonte

c:\gauss\srcnic\realvol\realvol.src

13.8 real.vol.WMY

► Purpose

Aggregates high frequency realized volatility to weekly, monthly and annual realized volatility.

► Format

```
{date1,r1,y}=real.vol.WMY(date,r,x,option);
```

► Input

date: $n \times 5$ vector. It should be provided the following information

day month year weekday week_in_the_year

where $day = 1, \dots, 31$, $month = 1, \dots, 12$, $year = 2003$ (for example), $weekday = 2, 3, 4, 5, 6$. $Weekday = 2 = Monday$, $Weekday = 3 = Tuesday$, etc $week_in_the_year = 1, 2, \dots, 53$

Note: the weekday and week of the year are easily created through the EXCEL.

See remark (1)

r: $n \times k$ matrix of interest rate observations. See remark (2)

x: $n \times k$ matrix of high frequency realized volatility

option: scalar.

option	Computes
1	weekly realized volatility
2	monthly realized volatility
3	annual realized volatility

► Output

date1: $n_0 \times k$ matrix of date associated with y ($n_0 < n$)

r1: $n_0 \times k$ matrix of weekly, monthly or annual interest rates ($n_0 < n$)

y: $n_0 \times k$ matrix of weekly, monthly or annual realized volatility ($n_0 < n$)

► Remarks

(1) The date matrix must have five columns. If one wants to pass from daily realized volatility to (say) weekly realized volatility only the 5th column of matrix date is necessary. Thus, one can attribute arbitrary values to the first four columns. However, it is advisable to supply complete date information since one can obtain the date associated with the calculated realized volatility (output "date1")

(2) The r input is not strictly necessary. We can supply a $n \times 1$ vector of arbitrary values. However, it is advisable to supply correct information since one can obtain the weekly, monthly or annual interest rate associated with the selected frequency (output "r1") (for example, with option = 1 one obtains weekly interest rates).

(3) The procedure can also compute daily realized volatility from high frequency interest rates if one sets option = 4 and if the matrix x represents quadratic variations, that is

$$x = \begin{bmatrix} (r_{1,2} - r_{1,1})^2 & \cdots & (r_{N,2} - r_{N,1})^2 \\ (r_{1,3} - r_{1,2})^2 & \cdots & (r_{N,3} - r_{N,2})^2 \\ \vdots & & \vdots \\ (r_{1,n} - r_{1,n-1})^2 & \cdots & (r_{N,n} - r_{N,n-1})^2 \end{bmatrix}$$

where $r_{i,t}$ is the i th interest rates at time t .

► Library

```
library realvol;
```

► Source

```
c:\gauss\srcnic\realvol\realvol.src
```

13.9 real _ volatility

► Purpose

Estimates the realized volatility of an univariate time series. Consider the following time series (for simplicity, we calculate realized daily volatility)

$$\begin{aligned}
 & X_{\frac{1}{m}\Delta} \\
 & X_{\frac{2}{m}\Delta} \\
 & \vdots \\
 & X_{\frac{m}{m}\Delta} = X_\Delta \quad 1\text{th day} \\
 & X_{\Delta + \frac{1}{m}\Delta} \\
 & X_{\Delta + \frac{2}{m}\Delta} \\
 & \vdots \\
 & X_{2\Delta} \quad 2\text{th day} \\
 & \vdots
 \end{aligned}$$

m is the number of observations in each day.

If the input "freq" is 1 then the realized volatility of day $j+1$ is computed as follows

$$\sum_{i=2}^m \left(X_{j\Delta + \frac{i}{m}\Delta} - X_{j\Delta + \frac{i-1}{m}\Delta} \right)^2.$$

In the case freq=2 realized volatility of day $j+1$ is computed as follows

$$\sum_{i=2}^{\left[\frac{m-1}{2}\right]} \left(X_{j\Delta + \frac{2i-1}{m}\Delta} - X_{j\Delta + \frac{2(i-1)-1}{m}\Delta} \right)^2.$$

For example, if the original time series has a step of discretization of 5 minutes then freq=1 means that the realized daily volatility is based on 5 minutes intraday observations. If freq=2 the realized daily volatility is based on 10 minutes intraday observations, and so on.

All periods where the realized volatility is zero are removed.

► Format

```
{rv,conf_int_rv,log_rv,conf_int_log_rv}=real_volatility(m,freq,x,print_graphs);
```

► Input

m: m is the number of observations in each period. Suppose that we have 5 minutes intra day observations. Then:

$m = 12$ ($60/5=12$) → computes hourly realized volatility

$m = 108$ ($(9 \text{ hours} \times 60)/5=108$) → computes daily realized volatility

etc. To obtain reliable results it is absolutely necessary that all periods have the same number of observations (see "Remarks in the next procedure").

freq: see "purpose" above

x: $n \times 1$ vector of observations

print_graphs if equals 1 a set of figures are displayed

► Output

rv: $n/m \times 1$ vector of realized (e.g. daily) variance

conf_int_rv: 95% intervals confidence for realized (e.g. daily) volatility (see Barndorff-Nielsen and Shephard, 2002)

log_rv: $n/m \times 1$ vector of realized (e.g. daily) log variance

conf_int_log_rv: 95% intervals confidence for log realized (e.g. daily) volatility (see Barndorff-Nielsen and Shephard, 2002)

► Library

```
library realvol,pgraph;
```

► Source

```
c:\gauss\srcnic\realvol\realvol.src
```

13.10 RV_CTS_1

► Purpose

Calculates the realized volatility $RV_t^{(m)}$ and the *adjusted* $RV_t^{*(m)}$ based on m seconds (interval) where t goes from "first year" to "last year". The prices are obtained from the tick-by-tick price data. We use the *previous-tick* method, i.e the price at time $\tau \in [a, b)$ is p_a

► Format

```
z=RV_CTS_1(first_year,last_year,interval,x);
```

► Input

first year:

last year:

interval: interval in seconds between consecutive observations from which the realized volatility is calculated.

x: tick-by-tick data (raw data).

► Output

z: $n \times 5$ matrix where: first column of z: year; second column of z: month; third column of z: day; fourth column of z: realized volatility $RV_t^{(m)}$; fifth column of z: realized volatility $RV_t^{*(m)}$

► Remarks

This procedure calls the procedure CTS_1. It is very time-consuming.

► Library

```
library realvol;
```

13.11 RV_CTS_2

► Purpose

Calculates the realized volatility $RV_t^{(m)}$ and the *adjusted* $RV_t^{*(m)}$ based on equidistant observations.

► Format

```
z=RV_CTS_2(first_year,last_year,k,x);
```

► Input

first year:

last year:

k: integer that governs the sampling frequency of the new time series. See remarks below.

x: raw data with equidistant observations.

► Output

z: $n \times 5$ matrix where: first column of z: year; second column of z: month; third column of z: day; fourth column of z: realized volatility $RV_t^{(m)}$; fifth column of z: realized volatility $RV_t^{*(m)}$

► Remarks

Needs the procedure CTS_2. If the original time series has a step of discretization of 15 seconds, then $k = 1$ means that the realized daily volatility is based on 15 seconds intraday observations. In general, the realized daily volatility is based on $\Delta \times k$ seconds intraday observations, where Δ is the step of discretization of the original observations. This procedure is much quicker than RV_CTS_1.

► Library

```
library realvol;
```

14 Simula Equações Diferenciais Estocásticas [sim_edc]

14.1 cir

► Objectivo

Simular uma trajectória da EDE

$$dX_t = \beta(\tau - X_t) dt + \sigma dW_t, \quad X_0 = x_0$$

através das probabilidades de transição.

► Formato

```
y =CIR(beta,tau,sigma,n,d,y0,seed);
```

► Input

beta:

tau: parâmetro associado ao coeficiente de difusão.

sigma:

n: número de observações a simular.

d: Δ , intervalo entre duas observações consecutivas, constante.

y0: valor inicial do processo.

seed: se seed=0 não fixa a trajectória.

► Output

y: vector de tipo $n \times 1$ representativo de uma trajectória de X .

► Library

```
library sim_edc;
```

► Fonte

```
c:\gauss\srcnic\sim_edc\sim_edc.src
```

14.2 euler

► Objectivo

Simular uma EDE do tipo $dX_t = a(X_t; \theta_1) dt + b(X_t; \theta_2) dW_t$ através do esquema de Euler.

► Formato

```
y = euler (&f1,&f2,par1,par2,y0,d,n);
```

► Input

&f1: ponteiro para um procedimento que define a especificação funcional do coeficiente $a(x; \theta_1)$.

&f2: ponteiro para um procedimento que define a especificação funcional do coeficiente $b(x; \theta_2)$.

par1: vetor θ_1 (em coluna).

par2: vetor θ_2 (em coluna).

y0: valor inicial do processo.

d: Δ , intervalo entre duas observações consecutivas, constante.

n: número de observações a simular.

► Output

y: vetor de tipo $n \times 1$ representativo de uma trajectória de X .

► Library

```
library sim_ed;
```

► Observações

A maior parte das especificações de interesse dos coeficientes infinitesimais a e b estão já escritas (ver neste apêndice "Funções" em "Utilidades"). Se se pretender escrever uma nova especificação para a ou b , por exemplo, $a(x; \theta) = \theta_1 + \theta_2 \log x$, devem-se escrever as seguintes instruções

```
proc fun_log(par,x);
local z;
z = par[1]+par[2]*log(x);
retp(z);
endp;
```

Escreve-se agora &fun_log no lugar de &f1.

► Exemplo

/* Simular uma trajectória do processo $dX_t = (10 - 0.1X_t) dt + 0.2X_t dW_t$ com um tempo de discretização $\Delta = 0.05$ */

```
par1 = {10,-0.1};
```

```

par2 = {0,0.2};

y0 = 100;

d = 0.05;

n = 1000;

y = euler (&linear,&linear,par1,par2,y0,d,n);

```

► **Fonte**

c:\gauss\srcnic\sim_edē\sim_edē.src

14.3 euler1

► **Objectivo**

Simular uma EDE através do esquema de Euler (os erros aleatórios podem ser controlados).

► **Formato**

```
y = euler1 (&f1,&f2,e,par1,par2,y0,d);
```

► **Input**

&f1: ponteiro para um procedimento que define a especificação funcional do coeficiente $a(\theta_1; x)$.

&f2: ponteiro para um procedimento que define a especificação funcional do coeficiente $b(\theta_2; x)$.

e: vetor dos erros aleatórios de tipo $n \times 1$ (previamente simulado).

par1: vetor θ_1 (em coluna).

par2: vetor θ_2 (em coluna).

y0: valor inicial do processo.

d: Δ , intervalo entre duas observações consecutivas, constante.

► **Output**

y: vetor de tipo $n \times 1$ representativo de uma trajectória de X .

► **Library**

```
library sim_edē;
```

► **Fonte**

c:\gauss\srcnic\sim_edē\sim_edē.src

14.4 euler2

► Objectivo

Simular uma EDE através do esquema de Euler com um tempo de discretização Δ , mas com uma precisão associada a um tempo de discretização Δ/k .

► Formato

```
y = euler2 (&f1,&f2,par1,par2,y0,d,n,k);
```

► Input

&f1: ponteiro para um procedimento que define a especificação funcional do coeficiente $a(x; \theta_1)$. Se $\&f1=0$ assume que o drift é zero. A variável par1 deve ser inicializada com um valor qualquer.

&f2: ponteiro para um procedimento que define a especificação funcional do coeficiente $b(x; \theta_2)$.

par1: vetor θ_1 (em coluna).

par2: vetor θ_2 (em coluna).

y0: valor inicial do processo.

d: Δ , intervalo entre duas observações consecutivas, constante.

n: número de observações a simular.

k: inteiro.

► Output

y: vetor de tipo $n \times 1$ representativo de uma trajectória de X . O intervalo de discretização é de Δ (embora a simulação do processo seja feita com um tempo de discretização Δ/k).

► Library

```
library sim_ed;
```

► Fonte

```
c:\gauss\srcnic\sim_ed\sim_ed.sr
```

14.5 euler_M2

► Objectivo

Simular um sistema de duas EDEs

$$\begin{aligned} dX_t &= a_1(X_t, Y_t, \theta) dt + b_1(X_t, Y_t, \theta) dW_{t,1} \\ dY_t &= a_2(X_t, Y_t, \theta) dt + b_2(X_t, Y_t, \theta) dW_{t,2}, \end{aligned}$$

onde $dW_{t,2} = \rho dW_{t,1} + \sqrt{1 - \rho^2} dZ_t$ e Z é independente de $W_{t,1}$, através do esquema de Euler com um tempo de discretização Δ , mas com uma precisão associada a um tempo de discretização Δ/k .

► Formato

```
{x,y} = euler_M2(&a1,&b1,&a2,&b2,par_drift1,par_diffusion1,par_drift2,par_diffusion2,rho,x0,y0)
```

► Input

&a1: ponteiro para um procedimento que define a especificação funcional do coeficiente $a(x, y, \theta_1)$ associado à primeira EDE

&b1:

&a2:

&b2:

par_drift1:

par_diffusion1:

par_drift2:

par_diffusion2:

rho:

x0:

y0:

d: Δ , intervalo entre duas observações consecutivas, constante.

n: número de observações a simular.

k: inteiro.

► Output

x: vector de tipo $n \times 1$ representativo de uma trajectória de X . O intervalo de discretização é de Δ (embora a simulação do processo seja feita com um tempo de discretização Δ/k).

y: vector de tipo $n \times 1$ representativo de uma trajectória de Y . O intervalo de discretização é de Δ (embora a simulação do processo seja feita com um tempo de discretização Δ/k).

► **Library**

```
library sim_ed;
```

► **Fonte**

```
c:\gauss\srcnic\sim_ed\sim_ed.sr
```

14.6 mbg

► **Objectivo**

Simular uma trajectória do movimento Browniano geométrico, através da sua solução exacta.

► **Formato**

$$y = \text{mbg} (a, b, y_0, d, n);$$

► **Input**

a: parâmetro associado ao coeficiente de tendência.

b: parâmetro associado ao coeficiente de difusão.

y0: valor inicial do processo.

d: Δ , intervalo entre duas observações consecutivas, constante.

n: número de observações a simular.

► **Output**

y: vector de tipo $n \times 1$ representativo de uma trajectória de X .

► **Library**

```
library sim_ed;
```

► **Fonte**

```
c:\gauss\srcnic\sim_ed\sim_ed.sr
```

14.7 mbg1

► **Objectivo**

Simular uma trajectória do movimento Browniano geométrico através da solução exacta do processo (os erros aleatórios podem ser controlados)..

► **Formato**

```
y = mbg1 (a,b,e,y0,d);
```

► **Input**

- a:** parâmetros associado ao coeficiente de tendência.
- b:** parâmetros associado ao coeficiente de difusão.
- e:** vector dos erros aleatórios de tipo $n \times 1$ (previamente simulado).
- y0:** valor inicial do processo.
- d:** Δ , intervalo entre duas observações consecutivas, constante.

► **Output**

- y:** vector de tipo $n \times 1$ representativo de uma trajectória de X .

► **Library**

```
library sim_ed;
```

► **Fonte**

```
c:\gauss\srcnic\sim_ed\sim_ed.sr
```

14.8 milstein

Objectivo

Simular uma EDE através do esquema de Milstein

► **Formato**

```
y = milstein (&f1,&f2,par1,par2,y0,d,n);
```

► **Input**

- &f1:** ponteiro para um procedimento que define a especificação funcional do coeficiente $a(x; \theta_1)$.
- &f2:** ponteiro para um procedimento que define a especificação funcional do coeficiente $b(x; \theta_2)$.
- par1:** vector θ_1 (em coluna).
- par2:** vector θ_2 (em coluna).
- y0:** valor inicial do processo.
- d:** Δ , intervalo entre duas observações consecutivas, constante.

n: número de observações a simular.

► **Output**

y: vector de tipo $n \times 1$ representativo de uma trajectória de X

► **Fonte**

sim_edc.src

14.9 milstein1

► **Objectivo**

Simular uma EDE através do esquema de Milstein (os erros aleatórios podem ser controlados).

► **Formato**

`y = milstein1 (&f1,&f2,e,par1,par2,y0,d);`

► **Input**

&f1: ponteiro para um procedimento que define a especificação funcional do coeficiente $a(x; \theta_1)$.

&f2: ponteiro para um procedimento que define a especificação funcional do coeficiente $b(x; \theta_2)$.

e: vector dos erros aleatórios de tipo $n \times 1$ (previamente simulado).

par1: vector θ_1 (em coluna).

par2: vector θ_2 (em coluna).

y0: valor inicial do processo.

d: Δ , intervalo entre duas observações consecutivas, constante.

► **Output**

y: vector de tipo $n \times 1$ representativo de uma trajectória de X .

► **Library**

`library sim_edc;`

► **Fonte**

`c:\gauss\srcnic\sim_edc\sim_edc.src`

14.10 milstein2

► Objectivo

Simular uma EDE através do esquema de Milstein. Em cada passo Y_{t_i} é simulado dado $X_{t_{i-1}}$ observado (e não, como habitualmente, dado $Y_{t_{i-1}}$). O valor inicial é X_{t_1} .

► Formato

```
y = milstein2 (&f1,&f2,e,x,par1,par2,d);
```

► Input

&f1: ponteiro para um procedimento que define a especificação funcional do coeficiente $a(x; \theta_1)$.

&f2: ponteiro para um procedimento que define a especificação funcional do coeficiente $b(x; \theta_2)$.

e: vector dos erros aleatórios de tipo $n \times 1$ (previamente simulado).

x: vector das observações X_{t_i}

par1: vector θ_1 (em coluna).

par2: vector θ_2 (em coluna).

d: Δ , intervalo entre duas observações consecutivas, constante.

► Output

y: vector de tipo $n \times 1$ representativo de uma trajectória de X .

► Library

```
library sim_ed;
```

► Fonte

```
c:\gauss\srcnic\sim_ed\sim_ed.sr
```

14.11 ornstein

► Objectivo

Simular a EDE $dX_t = \beta(\tau - X_t)dt + \sigma dW_t$ através da solução exacta do processo.

► Formato

```
y=ornstein(b,y0,n,d);
```

► Input

b: vector (β, τ, σ) (em coluna).

y0: valor inicial do processo.

n: número de observações do processo.

d: Δ , intervalo entre duas observações consecutivas, constante.

► Output

y: vector de tipo $n \times 1$ representativo de uma trajectória de X .

► Library

```
library sim_ed;
```

► Fonte

```
c:\gauss\srcnic\sim_ed\sim_ed.src
```

14.12 platen

► Objectivo

Simular uma EDE através do esquema de Platen-Wagner

► Formato

```
y = platen (&f1,&f2,par1,par2,y0,d,n);
```

► Input

&f1: ponteiro para um procedimento que define a especificação funcional do coeficiente $a(x; \theta_1)$.

&f2: ponteiro para um procedimento que define a especificação funcional do coeficiente $b(x; \theta_2)$.

par1: vector θ_1 (em coluna).

par2: vector θ_2 (em coluna).

y0: valor inicial do processo.

d: Δ , intervalo entre duas observações consecutivas, constante.

n: número de observações a simular.

► Output

y: vector de tipo $n \times 1$ representativo de uma trajectória de X .

► **Library**

```
library sim_ed;
```

► **Fonte**

```
c:\gauss\srcnic\sim_ed\sim_ed.sr
```

14.13 simula_b_bridge

► **Purpose**

Simulates a Brownian Bridge path

$$B_t = x + W_t - \frac{t}{T} (W_T - y + x), 0 \leq t \leq T.$$

where W_t is a Brownian motion. We use the formula

$$B_{t_i} = x + W_{t_i} - \frac{t_i}{t_n} (W_{t_n} - y + x)$$

where $t_i = i\Delta$ ($i = 0, 1, \dots, n$), $\Delta = T/n$, $W_{t_i} = W_{t_{i-1}} + \sqrt{\Delta}\varepsilon_i$, $W_0 = 0$ and ε_i are r.v. with $N(0, 1)$ distribution.

► **Format**

```
{t,y} = simula_b_bridge(n,T,x,y);
```

► **Input**

n: number of points used to simulate W_t .

T: instante final.

x: valor inicial.

y: valor final.

► **Output**

t:

y: vector de tipo $(n + 1) \times 1$ representativo de uma trajectória de B .

► **Library**

```
library sim_ed;
```

► **Fonte**

```
c:\gauss\srcnic\sim_ed\sim_bb.sr
```

14.14 simula_b_bridge2

► Purpose

Simulates a Brownian Bridge path

$$B_t = W_t - \frac{t}{T}W_T, \quad t_0 \leq t \leq T.$$

where W_t is a Brownian motion. We use the formula

$$B_{t_i} = x + W_{t_i} - \frac{t_i}{t_n} (W_{t_n} - y + x)$$

where $t_i = i\Delta$ ($i = 0, 1, \dots, n$), $\Delta = (T - t_0)/n$, $W_{t_i} = W_{t_{i-1}} + \sqrt{\Delta}\varepsilon_i$, $W_0 = 0$ and ε_i are r.v. with $N(0, 1)$ distribution.

► Format

```
{t,y} = simula_b_bridge2(n,T,t0);
```

► Input

n: number of points used to simulate W_t .

T: instante final.

t0: valor inicial.

► Output

t:

y: vector de tipo $(n + 1) \times 1$ representativo de uma trajectória de B .

► Library

```
library sim_ed;
```

► Fonte

```
c:\gauss\srcnic\sim_ed\sim_bb.src
```

14.15 simula_inhomogeneous_BKM

► Objectivo

Simulate X where X satisfies the SDE (proposed by Black and Karasinski, 1991)

$$dX_t = X_t \left(e^{\tau t} + \frac{\sigma^2}{2} - \alpha \log X_t \right) + \sigma X_t dW_t.$$

We use the fact

$$\ln X_t | X_s \sim N \left(e^{-\alpha(t-s)} \log(X_s) + \frac{e^{\tau t} - e^{-\alpha t + s(\alpha+\tau)}}{\alpha + \tau}, \frac{(1 - e^{-\alpha 2(t-s)}) \sigma^2}{2\alpha} \right)$$

► Format

```
y=simula_inhomogeneous_BKM(b,y0,n,s,d);
```

► Input

b: vector (τ, α, σ)

y0:

n:

s: t_0

d: Δ

► Output

► Library

```
library sim_ed;
```

► Fonte

```
c:\gauss\srcnic\sim_ed\sim_inhomogeneous.src
```

14.16 simula_inhomogeneous_GBM

► Objectivo

Simulate X where X satisfies the SDE

$$dX_t = \beta X_t dt + \sigma e^{\alpha t} X_t dW_t.$$

We use the fact

$$\ln X_t | X_s \sim N \left(\log(X_s) + \Delta\beta + \frac{e^{2s\alpha} - e^{2t\alpha}}{4\alpha} \sigma^2, \frac{e^{2st} - e^{2s\alpha}}{2\alpha} \right)$$

► **Format**

```
y=simula_inhomogeneous_GBM(b,y0,n,s,d);
```

► **Input**

b: vector (β, σ, α)

y0:

n:

s: t_0

d: Δ

► **Output**

► **Library**

```
library sim_ed;
```

► **Fonte**

```
c:\gauss\srcnic\sim_ed\sim_inhomogeneous.src
```

14.17 simula_inhomogeneous_ornstein

► **Objectivo**

Simulate X where X satisfies the SDE

$$dX_t = -\beta X_t dt + \sigma e^{\alpha t} dW_t.$$

We use the fact

$$X_t | X_s \sim N \left(e^{-\beta(t-s)}, \frac{\sigma^2}{2(\beta + \alpha)} (e^{2\alpha t} - e^{2(\alpha s - \beta(t-s))}) \right)$$

► **Format**

```
y= simula_inhomogeneous_ornstein(b,y0,n,s,d);
```

► **Input**

b: vector (β, α, σ)

y0:

n:

s: t_0

d: Δ

► **Output**

► **Library**

```
library sim_ed;
```

► **Fonte**

```
c:\gauss\srcnic\sim_ed\sim_inhomogeneous.src
```

14.18 simula_rs_ornstein_ornstein

► **Objectivo**

Simular uma trajectória do processo com alterações de regime, $dX_t = a(t, X_t) dt + b(t, X_t) dW_t$ onde $a(t, x) = \beta_1(\tau_1 - X_t) I_1(t) + \beta_2(\tau_2 - X_t) I_2(t)$, $b(t, x) = \sigma_1 I_1(t) + \sigma_2 I_2(t)$, $I_1(t) = 1$ se em t , $S = 1$ (zero nos outros casos) e $I_2(t) = 1 - I_1(t)$. $S_i\Delta$ é uma cadeia de Markov homogénea em tempo discreto, $i \in \{1, 2, \dots, n\}$, com espaço de estados $\{1, 2\}$ e com matriz de probabilidades de transição

$$P = \begin{bmatrix} \alpha_{11} & 1 - \alpha_{11} \\ 1 - \alpha_{22} & \alpha_{22} \end{bmatrix}.$$

► **Formato**

```
{y,S} = simula_rs_ornstein_ornstein(d,n,alfa11,alfa22,x0,tau1,beta1,sigma1,  
tau2,beta2,sigma2,mostrar);
```

► **Input**

d: Δ , intervalo entre duas observações consecutivas, constante.

n: número de observações do processo.

alfa11: parâmetro α_{11} .

alfa22: parâmetro α_{22} .

x0: Valor inicial

tau1,beta1,sigma1,tau2,beta2,sigma2: $(\tau_1, \beta_1, \sigma_1, \tau_2, \beta_2, \sigma_2)$ nota: β_1 e β_2 podem ser zero

mostrar: assume $\{0, 1\}$. Se $mostrar = 1$ apresenta-se estimativas para a matriz de probabilidade de transição e um gráfico de pares ordenados (t, S) , onde $t = 1, 2, \dots, n$.

► Output

y: vector de tipo $n \times 1$ representativo de uma trajectória de X .

S:

► Library

```
library pgraph,sim_ed;
```

► Fonte

```
c:\gauss\srcnic\sim_ed\sim_rsw.src
```

14.19 simula_rs_ornstein_ornstein_1

► Objectivo

Simular várias réplicas do processo com alterações de regime, $dX_t = a(t, X_t) dt + b(t, X_t) dW_t$ onde $a(t, x) = \beta_1(\tau_1 - X_t) I_1(t) + \beta_2(\tau_2 - X_t) I_2(t)$, $b(t, x) = \sigma_1 I_1(t) + \sigma_2 I_2(t)$, $I_1(t) = 1$ se em t , $S = 1$ (zero nos outros casos) e $I_2(t) = 1 - I_1(t)$. $S_{i\Delta}$ é uma cadeia de Markov homogénea em tempo discreto, $i \in \{1, 2, \dots, n\}$, com espaço de estados $\{1, 2\}$ e com matriz de probabilidades de transição

$$P = \begin{bmatrix} \alpha_{11} & 1 - \alpha_{11} \\ 1 - \alpha_{22} & \alpha_{22} \end{bmatrix}.$$

► Formato

```
y =simula_rs_ornstein_ornstein_1(d,n,alfa11,alfa22,x0,tau1,beta1,sigma1,tau2,beta2,sigma2,mostra
```

► Input

d: Δ , intervalo entre duas observações consecutivas, constante.

n: número de observações do processo.

alfa11: parâmetro α_{11} .

alfa22: parâmetro α_{22} .

x0: Valor inicial

tau1,beta1,sigma1,tau2,beta2,sigma2: $(\tau_1, \beta_1, \sigma_1, \tau_2, \beta_2, \sigma_2)$ nota: β_1 e β_2 podem ser zero

replicas:

► Output

y: vector de tipo $n \times replicas$

► **Library**

library pgraph,sim_ede;

► **Fonte**

c:\gauss\srcnic\sim_ede\sim_rsw.src

14.20 simula_Wiener

► Purpose

Simulates a Wiener process W_t in the interval $(0, T)$. The procedures is based on the following recursive equation

$$W_{t_i} - W_{t_{i-1}} = \sqrt{\Delta} \varepsilon_i, \quad W_0 = 0, \quad \varepsilon_i \sim i.i.d.N(0, 1)$$

where

$$\begin{aligned}\Delta &= T/n \\ t_i &= i\Delta, \quad (i = 0, 1, \dots, n) \text{ i.e. } t_0 = 0, \quad t_1 = \frac{T}{n}, \quad t_2 = 2\frac{T}{n}, \dots, t_n = T\end{aligned}$$

► Format

```
{t,w} = simula_Wiener(T,n);
```

► Input

T:

n:

► Output

t:

w:

► Library

```
library sim_ed;
```

► Fonte

```
c:\gauss\srcnic\sim_ed\sim_ed.sr
```

15 Simula Outros Processos Estocásticos [sim_ope]

15.1 cad_markov_TC

► Objectivo

Simular uma cadeia de Markov homogénea a tempo contínuo com estado de espaços $\{1, 2\}$ e matriz de probabilidades de transição

$$P(\Delta) = \begin{bmatrix} \frac{\mu + \lambda e^{-(\lambda+\mu)\Delta}}{\lambda+\mu} & \frac{\lambda(1-e^{-(\lambda+\mu)\Delta})}{\lambda+\mu} \\ \frac{\mu(1-e^{-(\lambda+\mu)\Delta})}{\lambda+\mu} & \frac{\lambda+\mu e^{-(\lambda+\mu)\Delta}}{\lambda+\mu} \end{bmatrix}.$$

Observe-se que

$$\begin{aligned} A &= \lim_{h \downarrow 0} \left(\frac{P(h) - I}{h} \right) \\ &= \begin{bmatrix} -\lambda & \lambda \\ \mu & -\mu \end{bmatrix} \end{aligned}$$

é a matriz dos parâmetros infinitesimais (cujas linhas somam zero).

► Formato

s = cad_markov_TC(miu, lam, d, n, mostrar);

► Input

miu: parâmetro μ .

lam: parâmetro λ .

d: Δ , intervalo entre duas observações consecutivas, constante.

n: número de observações.

mostrar: assume $\{0, 1\}$. Se mostrar = 1 apresentam-se estimativas para a matriz de probabilidade de transição e um gráfico de pares ordenados (t, s) , onde $t = 1, 2, \dots, n$

► Output

s: vetor de tipo $n \times 1$ com valores $\{1, 2\}$.

► Library

```
library sim_ope;
```

► Fonte

c:\gauss\srcnic\sim_ope\sim_cm.src

15.2 cad_markov_TD

► Objectivo

Simular uma cadeia de Markov homogénea a tempo discreto com estado de espaços $\{1, 2\}$.

► Formato

```
s = cad_markov_TD(p11,p22,n,mostrar,s0);
```

► Input

p11: probabilidade de o processo se encontrar no estado 1 dado que no momento anterior se encontrava no estado 1.

p22: probabilidade de o processo se encontrar no estado 1 dado que no momento anterior se encontrava no estado 2.

n: número de observações.

mostrar: assume $\{0, 1\}$. Se mostrar = 1 apresentam-se estimativas para a matriz de probabilidade de transição e um gráfico de pares ordenados (t, s) , onde $t = 1, 2, \dots, n$

s0: valor inicial, $s0 = 1$ ou $s0 = 2$. Se $s0$ assumir outro qualquer valor a inicialização faz-se a partir das probabilidades estacionárias.

► Output

s: vetor de tipo $n \times 1$ com valores $\{1, 2\}$.

► Observação

A cadeia é inicializada de acordo com a distribuição estacionária.

► Library

```
library sim_ope;
```

► Fonte

```
c:\gauss\srcnic\sim_ope\sim_cm.src
```

15.3 cad_markov_TD_2

► Objectivo

Simular uma cadeia de Markov homogénea a tempo discreto com estado de espaços $\{1, 2, \dots, m\}$.

► Formato

`s = cad_markov_TD_2(p,n);`

► Input

p: matriz de probabilidades de transição de ordem $m \times m$

n: número de observações.

► Output

s: vector de tipo $n \times 1$ com valores $\{1, 2, \dots, m\}$.

► Library

`library sim_ope;`

► Fonte

`c:\gauss\srcnic\sim_ope\sim_cm.src`

15.4 graph_BRW_01

► Purposes

Presents a figure including the following graphs:

- y together with $(l, u) = \left(\mu - \alpha + \frac{\log(19)}{\gamma}, \mu + \alpha - \frac{\log(19)}{\gamma} \right)$ \rightarrow "random walk inner regime"
- $a(x) = -\beta_1 F_1(x - \mu) + \beta_2 F_2(x + \mu), \quad F_i(x) = (1 + e^{-\gamma_i(x - \alpha)})$
- $f(x) = x + a(x)$
- Conditional mean

$$E(\widehat{y_t | y_{t-1}}) = \frac{\sum_{i=1}^{n-1} K\left(\frac{y_{t-1}-x}{h}\right) y_t}{\sum_{i=1}^{n-1} K\left(\frac{y_{t-1}-x}{h}\right)}$$

where $K(u) = (2\pi)^{-\frac{1}{2}} e^{-\frac{u^2}{2}}$ e $h = (4/3)^{1/5} \hat{\sigma}_X n^{-1/5}$.

► Formato

Call graph_BRW_01(b,y);

► Input

b: beta1|beta2|lamda|alfa|gama1|gama2|miu; Note: lamda=0

y: time series

► Output

► Library

library sim_ope,est_etd,pgraph;

► Fonte

c:\gauss\srcnic\sim_ope\sim_nonlinearAR.src

15.5 graph_BRW_vs_ESTAR_1

► Purposes

Presents a figure including the following graphs:

- y
- $a_{bwr}(x) = -\beta_1 F_1(x - \mu) + \beta_2 F_2(x + \mu)$, $F_i(x) = (1 + e^{-\gamma_i(x - \alpha)})$ vs. $a_{estar}(x) = -x + \mu + \phi_1(x - \mu) + \phi_2(x - \mu) \left(1 - \exp(-\theta^2(x - \mu)^2)\right)$
- $f_{bwr}(x) = x + a_{bwr}(x)$ vs. $f_{estar}(x) = x + a_{estar}(x)$ vs. Conditional mean

$$E(\widehat{y_t | y_{t-1}}) = \frac{\sum_{i=1}^{n-1} K\left(\frac{y_{t-1}-x}{h}\right) y_t}{\sum_{i=1}^{n-1} K\left(\frac{y_{t-1}-x}{h}\right)}$$

where $K(u) = (2\pi)^{-\frac{1}{2}} e^{-\frac{u^2}{2}}$ e $h = (4/3)^{1/5} \hat{\sigma}_X n^{-1/5}$.

► Formato

```
{x0,f1,f2,mc}=graph_BRW_vs_ESTAR_1(b_brw,b_estar,y);
```

► Input

b_brw: beta1|beta2|lamda|alfa|gama1|gama2|miu; Note: lamda=0

b_estar: fhi1|fhi2|miu|theta;

y: time series

► Output

► Library

```
library sim_ope,est_etd,pgraph;
```

► Fonte

```
c:\gauss\srcnic\sim_nonlinearAR.src.src
```

15.6 graph_ESTAR_01

► Purposes

Presents a figure including the following graphs:

- y
- $a(x) = -x + \mu + \phi_1(x - \mu) + \phi_2(x - \mu) \left(1 - \exp\left(-\theta^2(x - \mu)^2\right)\right)$
- $f(x) = x + a(x)$
- Conditional mean

$$E(\widehat{y_t | y_{t-1}}) = \frac{\sum_{i=1}^{n-1} K\left(\frac{y_{t-1}-x}{h}\right) y_t}{\sum_{i=1}^{n-1} K\left(\frac{y_{t-1}-x}{h}\right)}$$

where $K(u) = (2\pi)^{-\frac{1}{2}} e^{-\frac{u^2}{2}}$ e $h = (4/3)^{1/5} \hat{\sigma}_X n^{-1/5}$.

► Formato

Call graph_ESTAR_01(b,y);

► Input

b: beta1|beta2|miu|theta;

y: time series

► Output

► Library

library sim_ope, pgraph;

► Fonte

c:\gauss\srcnic\sim_nonlinearAR.src

15.7 sim_setar_2R

► Objectivo

Simular o processo

$$X_t = \begin{cases} a_1 + b_1 X_{t-1} + \sigma_1 \varepsilon_t & X_{t-1} < k \\ a_2 + b_2 X_{t-1} + \sigma_2 \varepsilon_t & X_{t-1} \geq k \end{cases}$$

► Formato

{y,II,e}=sim_setar_2R(par1,par2,k,n,y0);

► Input

par1: vetor de tipo 3×1 : (a_1, b_1, σ_1)

par2: vetor de tipo 3×1 : (a_2, b_2, σ_2)

k:

n: número de valores simulados

y0: valor inicial

► Output

y: vetor $n \times 1$ valores simulados

II: vetor 2×1 $(\sum I_{\{X_{t-1} < k\}}, \sum I_{\{X_{t-1} \geq k\}})$

e: vetor $n \times 1$ inovações

► Library

library sim_ope;

► Fonte

c:\gauss\srcnic\sim_ope\sim_setar.src

15.8 sim_setar_3R

► Objectivo

Simular o processo

$$X_t = \begin{cases} a_1 + b_1 X_{t-1} + \sigma_1 \varepsilon_t & X_{t-1} > k2 \\ a_2 + b_2 X_{t-1} + \sigma_2 \varepsilon_t & k1 \leq X_{t-1} \leq k2 \\ a_3 + b_3 X_{t-1} + \sigma_3 \varepsilon_t & X_{t-1} < k1 \end{cases}$$

► Formato

{y,II,e}=sim_setar_3R(par1,par2,par3,k1,k2,n,y0);

► Input

par1: vetor de tipo 3×1 : (a_1, b_1, σ_1)

par2: vetor de tipo 3×1 : (a_2, b_2, σ_2)

par3: vetor de tipo 3×1 : (a_3, b_3, σ_3)

k1:

k2:

n: número de valores simulados

y0: valor inicial

► Output

y: vetor $n \times 1$ valores simulados

II: vetor 3×1 $(\sum I_{\{X_{t-1} < k1\}}, \sum I_{\{k1 \leq X_{t-1} \leq k2\}}, \sum I_{\{X_{t-1} > k2\}})$

e: vetor $n \times 1$ inovações

► Library

library sim_ope;

► Fonte

c:\gauss\srcnic\sim_ope\sim_setar.src

15.9 simula_AR1_beta

► Objectivo

Simular uma trajectória do processo

$$y_t | \mathcal{F}_{t-1} \sim Beta(\alpha_t, \beta_t), \quad \alpha_t > 0, \beta_t > 0$$

onde α_t e β_t satisfazem as seguintes equações:

$$E[y_t | \mathcal{F}_{t-1}] = \frac{\alpha_t}{\alpha_t + \beta_t},$$

$$\text{Var}[y_t | \mathcal{F}_{t-1}] = \frac{\alpha_t \beta_t}{(\alpha_t + \beta_t)^2 (\alpha_t + \beta_t + 1)} = \frac{E[y_t | \mathcal{F}_{t-1}] (1 - E[y_t | \mathcal{F}_{t-1}])}{\alpha_t + \beta_t + 1}.$$

Assume-se:

$$E[y_t | \mathcal{F}_{t-1}] \equiv \mu_t = c + \phi y_{t-1}$$

$$\text{Var}[y_t | \mathcal{F}_{t-1}] = \sigma^2.$$

Note-se:

$$\alpha_t = -\frac{\sigma^2 \mu_t - \mu_t^2 + \mu_t^3}{\sigma^2}, \quad \beta_t = \frac{(-1 + \mu_t) (\sigma^2 - \mu_t + \mu_t^2)}{\sigma^2}.$$

► Formato

```
{y,m,alfa,beta}=simula_AR1_beta(n,c,fhi,sigma);
```

► Input

n: nº de observações

c:

fhi:

sigma:

► Output

y: vector de tipo $n \times 1$

m: média condicional

alfa:

beta:

► Library

```
library sim_ope;
```

► Observações

```
y[1] = c/(1-fhi);
```

► Fonte

```
c:\gauss\srcnic\sim_ope\garch.src
```

15.10 simula_ARFIMA

► Objectivo

Simular uma trajectória do processo

$$\phi(L)(1-L)^d X_t = \Theta(L) \varepsilon_t$$

sendo $d \in \mathbb{R}$ e $\{\varepsilon_t\}$ variáveis aleatórias i.i.d. com distribuição $N(0, \sigma^2)$.

► Formato

```
x = simula_ARFIMA(n,d,coef_fi,coef_theta,sigma,x0);
```

► Input

n: nº de observações

d:

coef_fi: vetor (ϕ_1, \dots, ϕ_p) . Se $\phi(B) = 1$ escrever "coef_fi = {};"

coef_theta: vetor $(\theta_1, \dots, \theta_q)$. Se $\Theta(B) = 1$ escrever "coef_theta = {};"

sigma: desvio padrão de ε_t

x0: valor inicial

► Output

x: vetor de tipo $n \times 1$

► Library

```
library sim_ope;
```

► Fonte

```
c:\gauss\srcnic\sim_ope\sim_mlonga.src
```

15.11 simula_Burr

► Objectivo

Simular um conjunto de observações com fd Burr:

$$F(x) = 1 - \left(1 + x^\beta\right)^{\frac{1}{\rho}}, \quad \beta = -\rho\alpha$$

► Formato

```
x =simula_Burr(n,rho,alfa);
```

► Input

n: número de observações a simular.

rho:

alfa:

► Output

x: vector nx1.

► Library

```
library sim_ope;
```

► Fonte

```
c:\gauss\srcnic\sim_ope\distrib.src
```

15.12 simula_brw_01

► Purpose

To Simulate

$$y_t = y_{t-1} - \beta_1 F(y_{t-1} - \mu_{t-1}) + \beta_2 F(-y_{t-1} + \mu_{t-1}) + \sigma \varepsilon_t$$
$$\mu_t = \lambda y_{t-1} + (1 - \lambda) \mu_{t-1}$$

where $\varepsilon_t \sim iidN(0, 1)$ and $F(x) = (1 + e^{-\gamma(x-\alpha)})$. Also, it presents a random walk path with u_t innovations, for comparison purposes.

► Formato

```
{y,z}=simula_BRW_01(b,y1,miu1,e,mostrar);
```

► Input

b: beta1|beta2|alfa|gama|lam|sigma

y1: initial value of y

miu1: initial value of μ

e: errors, ε_t

mostrar: if mostrar =1 GAUSS presents some graphs.

► Output

y:

z:

If $\lambda \neq 0$ and mostrar $\neq 1$ GAUSS presents xy(0,y~z). If $\lambda = 0$ and mostrar $\neq 1$ GAUSS presents:

```
min=minc(y)*1.5;
max=maxc(y)*1.5;
x=seqa(min,(max-min)/(100-1),100);
begwind;
_pnumht=.23;
_pdate=;
window(2,2,0);
a=-beta1*cdf_logistic(x-miu1,alfa,gama)+beta2*cdf_logistic(-x+miu1,alfa,gama);
```

```
xy(x,a~(-2*(x-miu1)));  
nextwind;  
xy(x,(x+a)~x~(-x+2*miu1));  
nextwind;  
xy(0,y~miu~z);  
endwind;
```

► **Library**

```
library sim_ope;
```

► **Fonte**

```
c:\gauss\srcnic\sim_nonlinearAR.src.src
```

15.13 simula_chauchy

► Objectivo

Simular um conjunto de observações com distribuição de Chauchy:

$$f(x) = \frac{1}{\pi \left(\lambda + \left(\frac{x-\mu}{\lambda} \right)^2 \right)}.$$

► Formato

x = simula_chauchy(n,par);

► Input

n: número de observações a simular.

par: vector 2x1; par[1]: λ , par[2]: μ .

► Output

x: vector nx1.

► Library

library sim_ope;

► Fonte

c:\gauss\srcnic\sim_ope\distrib.src

15.14 simula_diagonal_VECH

► Objectivo

Simulate

$$\mathbf{y}_t = \Phi \mathbf{y}_{t-1} + \mathbf{u}_t$$

where

$$\mathbf{u}_t = \mathbf{H}_t^{1/2} \boldsymbol{\varepsilon}_t$$

$$\begin{aligned} \text{vech}(\mathbf{H}_t) &= \begin{pmatrix} h_{11,t} \\ h_{12,t} \\ h_{22,t} \\ \vdots \\ h_{mm,t} \end{pmatrix} = \begin{pmatrix} w_{11} \\ w_{12} \\ w_{22} \\ \vdots \\ w_{mm} \end{pmatrix} + \begin{pmatrix} \alpha_{11} & 0 & 0 & \cdots & 0 \\ 0 & \alpha_{12} & 0 & \cdots & 0 \\ 0 & 0 & \alpha_{22} & \cdots & 0 \\ \vdots & \vdots & \vdots & & \vdots \\ 0 & 0 & 0 & \cdots & \alpha_{mm} \end{pmatrix} \begin{pmatrix} u_{1,t-1}^2 \\ u_{1,t-1} u_{2,t-1} \\ u_{2,t-1}^2 \\ \vdots \\ u_{m,t-1}^2 \end{pmatrix} \\ &\quad + \begin{pmatrix} \beta_{11} & 0 & 0 & \cdots & 0 \\ 0 & \beta_{12} & 0 & \cdots & 0 \\ 0 & 0 & \beta_{22} & \cdots & 0 \\ \vdots & \vdots & \vdots & & \vdots \\ 0 & 0 & 0 & \cdots & \beta_{mm} \end{pmatrix} \begin{pmatrix} h_{11,t-1} \\ h_{12,t-1} \\ h_{22,t-1} \\ \vdots \\ h_{mm,t-1} \end{pmatrix} \end{aligned}$$

or

$$\begin{aligned} \begin{pmatrix} h_{11,t} & h_{12,t} & \cdots & h_{1m,t} \\ h_{12,t} & h_{22,t} & \cdots & h_{2m,t} \\ \vdots & \vdots & & \vdots \\ h_{1m,t} & h_{2m,t} & \cdots & h_{mm,t} \end{pmatrix} &= \begin{pmatrix} w_{11} & w_{12} & \cdots & w_{1m} \\ w_{12} & w_{22} & \cdots & w_{2m} \\ \vdots & \vdots & & \vdots \\ w_{1m} & w_{2m} & \cdots & w_{mm} \end{pmatrix} \\ &\quad + \begin{pmatrix} \alpha_{11} & \alpha_{12} & \cdots & \alpha_{1m} \\ \alpha_{12} & \alpha_{22} & \cdots & \alpha_{2m} \\ \vdots & \vdots & & \vdots \\ \alpha_{1m} & \alpha_{2m} & \cdots & \alpha_{mm} \end{pmatrix} \circ \begin{pmatrix} u_{1,t-1}^2 & u_{1,t-1} u_{2,t-1} & \cdots & u_{1,t-1} u_{m,t-1} \\ u_{1,t-1} u_{2,t-1} & u_{2,t-1}^2 & \cdots & u_{2,t-1} u_{m,t-1} \\ \vdots & \vdots & & \vdots \\ u_{1,t-1} u_{m,t-1} & u_{2,t-1} u_{m,t-1} & \cdots & u_{m,t-1}^2 \end{pmatrix} + \\ &\quad \begin{pmatrix} \beta_{11} & \beta_{12} & \cdots & \beta_{1m} \\ \beta_{12} & \beta_{22} & \cdots & \beta_{2m} \\ \vdots & \vdots & & \vdots \\ \beta_{1m} & \beta_{2m} & \cdots & \beta_{mm} \end{pmatrix} \circ \begin{pmatrix} h_{11,t-1} & h_{12,t-1} & \cdots & h_{1m,t-1} \\ h_{12,t-1} & h_{22,t-1} & \cdots & h_{2m,t-1} \\ \vdots & \vdots & & \vdots \\ h_{1m,t-1} & h_{2m,t-1} & \cdots & h_{mm,t-1} \end{pmatrix} \\ \mathbf{H}_t &= \mathbf{w} + \mathbf{a} \circ \mathbf{u}_{t-1} \mathbf{u}'_{t-1} + \mathbf{b} \circ \mathbf{H}_{t-1} \end{aligned}$$

► Formato

{y,mat_h}=simula_diagonal_VECH(n,fhi,w1,a1,b1);

► Input

n: number of observations.

par: $m \times m$ matrix

w1: $m \times m$ matrix such that $\mathbf{w} = \mathbf{w1}.\mathbf{w1}'$

a1: $m \times m$ matrix such that $\mathbf{a} = \mathbf{a1}.\mathbf{a1}'$

b1: $m \times m$ matrix such that $\mathbf{b} = \mathbf{b1}.\mathbf{b1}'$

► **Output**

y: $n \times m$ matrix

mat_h: $n \times ((1 + m) * m/2)$ matrix:

$$\left(\begin{array}{ccccccc} h_{11,t} & h_{12,t} & h_{22,t} & h_{13,t} & h_{23,t} & h_{33,t} & \cdots & h_{m,t} \end{array} \right)_{t=1,\dots,n}$$

► **Library**

```
library sim_ope;
```

► **Fonte**

```
c:\gauss\srcnic\sim_ope\distrib.src
```

15.15 simula_disc_dist

► Objectivo

Simular uma sucessão de v.a. i.i.d. com distribuição $\{p_1, \dots, p_m\}$ e espaço de estados $\{1, 2, \dots, m\}$.

► Formato

```
S = simula_disc_dist(n,p);
```

► Input

n: número de observações a simular.

p: vector $m \times 1$

► Output

s: vector $n \times 1$

► Library

```
library sim_ope;
```

► Fonte

```
c:\gauss\srcnic\sim_ope\distrib.src
```

15.16 simula_estar_1

► Purpose

Simulates

$$y_t = \mu + \beta_1 (y_{t-1} - \mu) + \beta_2 (y_{t-1} - \mu) \left(1 - \exp \left(-\theta^2 (y_{t-1} - \mu)^2 \right) \right) + \sigma \varepsilon_t$$

assuming that $\{\varepsilon_t\}$ is a Gaussian white noise. Also, it presents a random walk path with $\sigma \varepsilon_t$ innovations, for comparison purposes.

► Format

```
{y,z}=simula_estar_1(b,y1,e,mostrar);
```

► Input

b: beta1|beta2|miu|theta|sigma

y1: initial value of y

miu1: initial value of μ

e: errors, ε_t

mostrar: if mostrar =1 GAUSS presents some graphs.

► Output

y: ESTAR path

z: Random Walk path

If mostrar $\neq 1$ GAUSS presents

```
min=minc(y)*1.5;  
max=maxc(y)*1.5;  
x=seqa(min,(max-min)/(100-1),100);  
begwind;  
_pnumht=.23;  
_pdate=;  
window(2,2,0);  
a=-x+miu+beta1*(x-miu)+beta2*(x-miu).*(1-exp(-theta^2*(x-miu)^2));  
xy(x,a~(-2*(x-miu)));
```

```
nextwind;  
xy(x,(x+a)^x~(-x+2*miu));  
nextwind;  
xy(0,y^z);  
endwind;
```

► **Library**

```
library sim_ope;
```

► **Source**

```
c:\gauss\srcnic\sim_nonlinearAR.src.src
```

15.17 simula_F

► Purpose

To compute F r.v. One of the parameters is related to the tail index.

► Format

```
F=simula_F(n,gl1,alfa);
```

► Input

n:

gl1:

alfa: Note that gl2=alfa/2

► Output

x:

► Library

```
library sim_ope;
```

► Source

```
c:\gauss\srcnic\sim_ope\distrib.src
```

15.18 simula_GARCH11

► Objectivo

► Formato

```
{y,media,var}=simula_GARCH11(c,fi,a0,a1,d1,e,y0);
```

► Input

y0: if $y_0=\{\}$ then $y_0=0$ if $f_i=1$ and $y_0=c/(1-f_i)$ if $|f_i|<1$

► Output

► Library

```
library sim_ope;
```

► Fonte

c:\gauss\srcnic\sim_ope\garch.src

15.19 simula_GARCHpq

► Objectivo

Simular o modelo

$$\begin{aligned}y_t &= c + \phi y_{t-1} + u_t \\u_t &= \sigma_t \varepsilon_t, \\ \sigma_t^2 &= a_0 + \sum_{i=1}^q a_i u_{t-i}^2 + \sum_{i=1}^p b_i \sigma_{t-i}^2\end{aligned}$$

onde ε_t é uma sequência de v.a. i.i.d. de média zero e variância um com distribuição normal ou distribuição t-Student (normalizada).

► Formato

```
{y,media,var}=simula_GARCHpq(c,fi,a0,a,b,n,dist);
```

► Input

c:

fi:

a0:

a: vector de dimensão não superior a 10 ($q \leq 10$).

b: vector de dimensão não superior a 10 ($p \leq 10$).

n: escalar ou vector; se n é escalar define-se a dimensão do vector a simular. Se n for vector define-se o vector das inovações ε . Neste caso o input dist não é considerado.

dist: escalar; se dist = 0 ε_t tem distribuição normal; se dist = gl > 0 com gl inteiro então ε_t tem distribuição t-Student com gl graus de liberdade. Input activado apenas se n for escalar.

► **Output**

► **Library**

```
library sim_ope;
```

► **Observações**

Para simular por exemplo, um processo com variância condicional

$$\sigma_t^2 = 1 + .2u_{t-1} + .4u_{t-4} + .1\sigma_{t-2}^2$$

considerar,

```
a = .2|0|0|.4;
```

```
b = 0|.2;
```

► **Fonte**

```
c:\gauss\srcnic\sim_ope\garch.src
```

15.20 simula_MMC1

► Objectivo

Simula uma cadeia de MMC com s categorias ($2 \leq s \leq 3$) e m ($m \geq 2$) estados. No caso $s = 2$, o processo S_{2t} é simulado de forma independente e o processo S_{1t} é simulado de acordo com as probabilidades de transição fornecidas. S_{1t} depende de S_{1t-1} e S_{2t-1} . No caso $s = 3$, os processos S_{2t} e S_{3t} são simulados de forma independente e S_{1t} é simulado de acordo com as probabilidades de transição fornecidas. S_{1t} depende de S_{1t-1} , S_{2t-1} e S_{3t-1} .

► Formato

```
S=simula_MMC1(cat,m,n,prob);
```

► Input

cat: nº de categorias (cat=2 ou cat=3). Parâmetro s .

m: nº de estados que cada categoria pode assumir, $m \geq 2$

n: nº de observações

prob: matriz de probabilidades de transição de dimensão $m^s \times m$ (ver exemplo). Se prob=0 (escalar) cada célula da matriz de probabilidades de transição assumirá o valor $1/m$.

► Output

s: matriz de dimensão $n \times s$

► Exemplo

Seja $P(i_0 | i_1, i_2) = P(S_{1t} = i_0 | S_{1t-1} = i_1, S_{2t-1} = i_2)$.

Caso $m = 2$ e $s = 2$:

		prob
1	1	$P(1 1,1)$
1	2	$P(1 1,2)$
2	1	$P(1 2,1)$
2	2	$P(1 2,2)$
		$P(2 1,1)$
		$P(2 1,2)$
		$P(2 2,1)$
		$P(2 2,2)$

Caso $m = 2$ e $s = 3$:

		prob
1	1	$P(1 1,1)$
1	2	$P(1 1,2)$
1	3	$P(1 1,3)$
2	1	$P(1 2,1)$
2	2	$P(1 2,2)$
2	3	$P(1 2,3)$
3	1	$P(1 3,1)$
3	2	$P(1 3,2)$
3	3	$P(1 3,3)$
		$P(2 1,1)$
		$P(2 1,2)$
		$P(2 1,3)$
		$P(2 2,1)$
		$P(2 2,2)$
		$P(2 2,3)$
		$P(2 3,1)$
		$P(2 3,2)$
		$P(2 3,3)$
		$P(3 1,1)$
		$P(3 1,2)$
		$P(3 1,3)$
		$P(3 2,1)$
		$P(3 2,2)$
		$P(3 2,3)$
		$P(3 3,1)$
		$P(3 3,2)$
		$P(3 3,3)$

Nota: cada linha soma 1.

► **Library**

```
library sim_ope;
```

► **Fonte**

```
c:\gauss\srcnic\sim_ope\sim_mmc.src
```

15.21 simula MMC2

► Objectivo

Igual a simula MMC1, com a diferença que todos os processos são simulados de acordo com a matriz de probabilidades.

► Formato

```
S=simula MMC2(cat,m,n,prob);
```

► Input

cat: nº de categorias (cat=2 ou cat=3). Parâmetro s .

m: nº de estados que cada categoria pode assumir, $m \geq 2$

n: nº de observações

prob: matriz de probabilidades de transição de dimensão $cat \times (m^s \times m)$ (ver exemplo).

Se prob=0 (escalar) cada célula da matriz de probabilidades de transição assumirá o valor $1/m$.

► Output

s: matriz de dimensão $n \times s$

► Exemplo

Seja $P_j(i_0 | i_1, i_2) = P(S_{jt} = i_0 | S_{1t-1} = i_1, S_{2t-1} = i_2)$.

Caso $m = 2$ e $s = 2$:

		prob	
		$P_1(1 1,1)$	$P_1(2 1,1)$
		$P_1(1 1,2)$	$P_1(2 1,2)$
1	1	$P_1(1 2,1)$	$P_1(2 2,1)$
1	2	$P_1(1 2,2)$	$P_1(2 2,2)$
2	1	$P_2(1 1,1)$	$P_2(2 1,1)$
2	2	$P_2(1 1,2)$	$P_2(2 1,2)$

► Library

```
library sim_ope;
```

► Fonte

```
c:\gauss\srcnic\sim_ope\sim_mmc.src
```

15.22 simula_palgarch

► Objectivo

Simula o processo

$$\begin{aligned} X_t &= X_{t-1} + e^k \left(e^{-a_1(X_{t-1}-\tau)} - e^{a_2(X_{t-1}-\tau)} \right) + u_t \\ u_t &= \sigma_t \varepsilon_t, \quad \varepsilon_t \text{ i.i.d. } N(0, 1) \\ \sigma_t^2 &= \alpha_0 + \alpha_1 u_{t-1}^2 + \beta_1 \sigma_{t-1}^2 \end{aligned}$$

► Formato

```
{y,media,var,yrw}=simula_palgarch(n,y0,k,a1,a2,tau,alfa0,alfa1,beta1);
```

► Input

n: número de valores simulados

y0:

a1:

a2:

tau:

alfa0:

alfa1:

beta1:

► Output

y:

media:

var:

yrw: Passeio Aleatório com inovações $\sigma \varepsilon_t$, $\sigma^2 = \alpha_0 / (1 - \alpha_1 - \beta_1)$

► Library

```
library sim_ope;
```

► Fonte

```
c:\gauss\srcnic\sim_ope\garch.src
```

15.23 simula_Pareto

► Objectivo

O nome diz tudo.

► Formato

```
y=simula_pareto(n,alfa);
```

► Input

n: número de valores simulados

alfa índice de cauda

► Output

y: vetor de tipo $n \times 1$ onde cada elemento é i.i.d. e tem distribuição $Pareto(\alpha)$

► Library

```
library sim_ope;
```

► Fonte

```
c:\gauss\srcnic\sim_ope\distrib.src
```

15.24 simula_paretoII

► Objectivo

Simula y com distribuição

$$f(y_i | \mathbf{x}_i) = \alpha(\mathbf{x}_i) \sigma^{-1} \left(1 + \frac{y_i - x_0}{\sigma}\right)^{-(\alpha(\mathbf{x}_i)+1)}$$

► Formato

```
y=simula_paretoII(n,alfa,x0,sigma);
```

► Input

n: número de valores simulados

alfa: índice de cauda

x0:

sigma:

► Output

y: vetor de tipo $n \times 1$ onde cada elemento é i.i.d. e tem distribuição $Pareto(\alpha)$

► Library

```
library sim_ope;
```

► Fonte

```
c:\gauss\srcnic\sim_ope\distrib.src
```

15.25 simula_Poisson

► Objectivo

O nome diz tudo

► Formato

```
y=simula_Poisson(n,lambda);
```

► Input

n: número de valores simulados

lam: parâmetro λ .

► Output

y: vetor de tipo $n \times 1$ onde cada elemento é i.i.d. e tem distribuição $Po(\lambda)$

► Observações

Se $\lambda > 30$ usa-se o Teorema do limite central.

► Library

```
library sim_ope;
```

► Fonte

```
c:\gauss\srcnic\sim_ope\distrib.src
```

15.26 simula_RS_GARCH

► Objectivo

Simular o modelo

$$y_t = (a_{01} + a_{11}y_{t-1} + \sigma_{t1}\varepsilon_t) \mathcal{I}_{\{S_t=1\}} + (a_{02} + a_{12}y_{t-1} + \sigma_{t2}\varepsilon_t) \mathcal{I}_{\{S_t=2\}}$$

$$\sigma_{t1}^2 = b_{01} + b_{11}u_{t-1}^2 + b_{21}\sigma_{t-1}^2, \quad \sigma_{t2}^2 = b_{02} + b_{12}u_{t-1}^2 + b_{22}\sigma_{t-1}^2.$$

```
/* S=1 */
```

```
a01=1;a11=0.9; @ media @
```

```
b01=1;b11=0;b21=0; @ variancia @
```

```
P=0.9;
```

```
/* S=2 */
```

```
a02=2;a12=0.9; @ media @  
b02=1;b12=0;b22=0; @ variancia @  
Q=0.2;
```

► **Formato**

```
{y,p1,h1,h2,h}=simula_RS_GARCH(y0,n,b01,b11,b21,a01,a11,b02,b12,b22,a02,a12,P,Q);
```

► **Input**

y0:

► **Output**

y: vector de tipo $n \times 1$ representativo de uma trajectória de X .

p1: ...

► **Library**

```
library sim_ope;
```

► **Fonte**

```
c:\gauss\srcnic\sim_ope\sim_rsw.src
```

15.27 simula_stable_dist

► Purpose

To generate data from a stable distribution with index α (using the method of Samorodnitsky-Taqqu (1994), i.e.

$$X_t = \frac{\sin(\alpha\theta_t)}{[\cos(\theta_t)]^{1/\alpha}} \left(\frac{\cos[(1-\alpha)\theta_t]}{z_t} \right)^{(1-\alpha)/\alpha}$$

where θ_t is uniform on $(-\pi/2, \pi/2)$ and z_t is exponential with mean 1. Note that $\alpha = 2$ corresponds to the Gaussian distribution.

► Format

```
x=simula_stable_dist(n,alfa);
```

► Input

n: número de valores simulados

alfa:

► Output

x:

► Library

```
library sim_ope;
```

► Source

```
c:\gauss\srcnic\sim_ope\distrib.src
```

15.28 simula_stock_prices

► Objectivo

Simular o processo estocástico

$$\lambda_t = [c + \phi N_{t-1}] + 1$$

$$N_t \sim Po(\lambda_t)$$

$$S_t = S_{t-1} + \sum_{i=0}^{N_t} \sigma \varepsilon_i$$

onde S_t procura representar o preço de uma acção.

► Formato

```
{S,NN}=simula_stock_prices(s0,lambda0,c,fi,sigma,n);
```

► Input

n:

► Output

y:

► Library

```
library sim_ope;
```

► Fonte

c:\gauss\srcnic\sim_ope\simula_AF.src

15.29 simula_tStudent

► Objectivo

O nome diz tudo

► Formato

```
t=simula_tStudent(n,gl);
```

► Input

n: número de valores simulados

gl: graus de liberdade.(inteiro n, maior do que 1)

► Output

t: vetor de tipo $n \times 1$ onde cada elemento é i.i.d e tem distribuição t-Student e gl graus de liberdade.

► Library

```
library sim_ope;
```

► Fonte

c:\gauss\srcnic\sim_ope\distrib.src

15.30 simula_VAR1

► Purpose

Simulates $y_t = (y_{t1}, \dots, y_{tm})$

$$\begin{bmatrix} y_{t1} \\ \vdots \\ y_{tm} \end{bmatrix} = \begin{bmatrix} \phi & \cdots & 0 \\ 0 & \ddots & 0 \\ 0 & \cdots & \phi \end{bmatrix} \begin{bmatrix} y_{t-1,1} \\ \vdots \\ y_{t-1,m} \end{bmatrix} + \begin{bmatrix} u_{t1} \\ \vdots \\ u_{t1} \end{bmatrix}$$

$$\begin{bmatrix} u_{t1} \\ \vdots \\ u_{t1} \end{bmatrix} \sim N(\mathbf{0}, \mathbf{H})$$

where

$$\begin{aligned} \mathbf{H} &= \begin{bmatrix} \sigma^2 & \rho\sigma\sigma & \cdots & \rho\sigma\sigma \\ \rho\sigma\sigma & \sigma^2 & \cdots & \rho\sigma\sigma \\ \vdots & \vdots & \ddots & \vdots \\ \rho\sigma\sigma & \rho\sigma\sigma & \cdots & \sigma_{mt}^2 \end{bmatrix} \\ &= \underbrace{\begin{bmatrix} \sigma & 0 & \cdots & 0 \\ 0 & \sigma & \cdots & 0 \\ \vdots & \vdots & \ddots & \vdots \\ 0 & 0 & \cdots & \sigma \end{bmatrix}}_{\mathbf{D}} \underbrace{\begin{bmatrix} 1 & \rho & \cdots & \rho \\ \rho & 1 & \cdots & \rho \\ \vdots & \vdots & \ddots & \vdots \\ \rho & \rho & \cdots & 1 \end{bmatrix}}_{\mathbf{R}} \underbrace{\begin{bmatrix} \sigma & 0 & \cdots & 0 \\ 0 & \sigma & \cdots & 0 \\ \vdots & \vdots & \ddots & \vdots \\ 0 & 0 & \cdots & \sigma \end{bmatrix}}_{\mathbf{D}} \end{aligned}$$

► Format

```
y=simula_VAR1(n,m,var,rho,fhi);
```

► Input

n: number of observations

m: number of equations

var: σ

rho: ρ

fhi: scalar ϕ , or (ϕ_1, \dots, ϕ_m) ($1 \times m$)

► **Output**

y:

► **Library**

library sim_ope;

► **Fonte**

c:\gauss\srcnic\sim_ope\sim_var.src

15.31 simula_varp

► Objetivo

Simular $VAR(p)$

$$y_t = v + A_1 y_{t-1} + \dots + A_p y_{t-p} + u_t$$

onde y_t é um vector $K \times 1$ e $u_t \sim N(0, \Sigma_u)$

► Formato

```
y=simula_varp(y0,v,w,A,n);
```

► Input

y0: matriz de valores iniciais de dimensão $p \times K$

v: vector the dimensão $K \times 1$

w: vech (Σ_u) vetor de dimensão (($1 + K$) $K/2$) $\times 1$. Por exemplo

$$\Sigma_u = \begin{pmatrix} 1 & .1 & .2 \\ .1 & 2 & .3 \\ .2 & .3 & 3 \end{pmatrix}$$

w=1|.1|2|.2|.3|3

A: matriz $[A_1 \ A_2 \ \dots \ A_p]$ de dimensão $K \times Kp$ (não corresponde exatamente à matriz **A** de Lutkepohl).

n: dimensão da amostra a simular

► Output

- Valores próprios da matriz

$$\begin{pmatrix} A_1 & A_2 & \dots & A_{p-1} & A_p \\ I_K & 0 & \dots & 0 & 0 \\ 0 & I_K & \dots & 0 & 0 \\ \vdots & \vdots & & \vdots & \vdots \\ 0 & 0 & \dots & I_K & 0 \end{pmatrix}$$

ou de A_1 no caso $p = 1$

- Em condições estacionárias apresenta Médias, Variâncias, Covariâncias e Correlações
- Gráficos (basta fazer **xy(0,y);**)

► Library

► Fonte

16 Testes [testes]

16.1 bds

► Objectivo

► Formato

```
{rbds,v,stat }=bds(x,eps,m);
```

► Input

x: Series to be tested for iid

eps: Threshold value of the indicator function

m: m-history vector: $x(t,m)=(x(t),x(t+1),\dots,x(t+m-1))$

► Output

rbds: Nx3 matrix containing:

** Vector of BDS statistics (One BDS for each r)

** The Correlation integral for $x(t,m)$

** The Correlation integral for $x(t)$

v: Vector of statistics needed to calculate the variance of the BDS stat: $v=\{vm2,k,c\}'$

stat: 7x1 vector with the following stats:

Cramer-Von Mises; Kolmogorov-Smirnov; Kuiper; Mallows; Anderson-Darling;
U2; BDS

► Observações

```
/* BDS - Brock, Dechert & Scheinkman Test Statistic
```

```
** (C), Copywright 1990 and 1995 by Pedro de Lima
```

```
** All rights reserved**
```

► Library

```
library testes;
```

► Fonte

```
c:\gauss\srcnic\testes\testes_nl.src
```

16.2 change_break

► Purpose

Finds structural breaks.

► Format

```
call change_break(x,p);
```

► Input

x: Series to be tested for structural break

p: See below

$$v = \text{Var}(x_t) + \sum_{s=1}^p \left(1 - \frac{s}{p+1}\right) (\text{Cov}(x_t, x_{t-s}) + \text{Cov}(x_t, x_{t-s})')$$

Long run variance of x_t using the Newey-West estimator

► Output

► Observações

See Kokoszka and R. Leipus (1999), Testing for parameter changes in ARCH models, 39(2) and Andreou, E. & Ghysels, E (2002). Detecting multiple breaks in financial market volatility dynamics Journal of Applied Econometrics, John Wiley & Sons, Ltd., 2002, 17, 579-600

► Library

```
library testes;
```

► Fonte

```
c:\gauss\srcnic\testes\others.src
```

16.3 goodnessfit

► Objectivo

Ensaiar a hipótese

$$H_0 : X \sim f(x|\theta_1, \dots, \theta_k)$$

► Formato

```
{chi_square,pvalue,b,freq,ve}=goodnessfit(&cdf,x,par,ni,criterio,print_resultados);
```

► Input

cdf: ponteiro para um procedimento que calcule probabilidades sob a hipótese nula (ver observações)

x: vetor das observações

par: vetor dos parâmetros. Se &cdf= cdfn_int considerar par= $\mu|\sigma$; Se &cdf =&cdfchauchy_int considerar $\lambda|\mu$.

ni: número de classes (ou intervalos) a considerar no teste.

criterio: escalar, eliminar as classes (ou intervalos) cujos os valores esperados sejam inferiores ao valor criterio.

print_resultados: se igual a 1 apresenta os resultados e gráfico.

► Output

chi-square: valor da estatística de teste.

pvalue:

b: x

freq: vetor das frequências (pode ter dimensão inferior a ni se a variável criterio for superior a zero)

ve: vetor dos valores esperados sob a hipótese nula ((pode ter dimensão inferior a ni se a variável criterio for superior a zero)).

► Observações

Estão definidos três procedimentos que poderão ser usados na opção Input cdf:
(a) cdfn_int (distribuição normal) ; (b) cdfchauchy_int (distribuição de Chauchy) e
cdfGEV_int (Generalized Extreme Value Distribution),

$$G(x) = \exp \left\{ - \left(1 + \frac{1}{\alpha} \left(\frac{x - \lambda}{\delta} \right) \right)^{-\alpha} \right\}, \quad 1 + \frac{1}{\alpha} \left(\frac{x - \lambda}{\delta} \right) > 0$$

$$par = Alpha|Lambda|Delta$$

Exemplifica-se o procedimento cdfn_int caso se pretenda ensair outra distribuição:

```

proc (1)=cdfn_int(b,par);
local p,ni;
b=(b-par[1])/par[2]; /* b vector: limite inferior de cada classe */
ni=rows(b); /* numero de classes */
p=zeros(ni,1);
p[1]=cdfn(b[1]);
for i (2,ni,1);
    p[i]=cdfn(b[i])-cdfn(b[i-1]);
endfor;
retp(p);
endp;
```

► Library

```
library util,testes,pgraph;
```

► Fonte

```
c:\gauss\srcnic\testes\nao_param.src
```

16.4 log_periodogram

► Purpose

Estimates the fractional parameter d using the log periodogram estimator (Geweke and Porter-Haundak) and evaluates the hypothesis $H_0 : d = 0$.

► Format

```
{w,I}=log_periodogram(x,w,I);
```

► Input

x: vector of observations

w: $\omega_k = 2\pi k/n$, $k = 0, \dots, [n/2]$ or scalar. If w = scalar the procedure calculates ω

I: Periodogram $I(\omega_k)$, $k = 0, \dots, [n/2]$ or scalar. If I = scalar the procedure calculates I

► **Output**

w: $\omega_k = 2\pi k/n, k = 0, \dots, [n/2]$

I: Periodogram $I(\omega_k), k = 0, \dots, [n/2]$

► **Library**

```
library testes,pgraph;
```

► **Observation**

Supply ω and I whenever possible. It reduces the computational time

► **Source**

```
c:\gauss\srcnic\testes\long_memory.src;
```

16.5 lm_robinson

► Purpose

Estimates the fractional parameter d (and H) using the LM estimator of Robinson and evaluates the hypothesis $H_0 : d = 0$.

► Format

```
{w,I}=lm_robinson(x,w,I);
```

► Input

x: vector of observations

w: $\omega_k = 2\pi k/n$, $k = 0, \dots, [n/2]$ or scalar. If w = scalar the procedure calculates ω

I: Periodogram $I(\omega_k)$, $k = 0, \dots, [n/2]$ or scalar. If I = scalar the procedure calculates I

► Output

w: $\omega_k = 2\pi k/n$, $k = 0, \dots, [n/2]$

I: Periodogram $I(\omega_k)$, $k = 0, \dots, [n/2]$

► Library

```
library testes,pgraph;
```

► Observation

Supply ω and I whenever possible. It reduces the computational time. See Cassola and Morana (2003).

► Source

```
c:\gauss\srcnic\testes\long_memory.src;
```

16.6 moses _ test

► Purpose

Test H0: Extreme values are equally likely in both populations. See Siegel, “Estatística não paramétrica”

► Format

```
p=moses_test(x,y,h);
```

► Input

x:

y:

h: Número de scores de ambos os extremos que são removidos. Por exemplo, se h=1

Ordem	Grupo
1	A
2	B
3	A
4	B
5	A
6	A
7	A
8	B
9	A
10	B

In the case $h = 1$ the rank amplitude is $8 - 4 + 1 = 5$ (9 if $h = 0$).

► Output

p: p-value

► Library

```
library testes
```

► Source

```
c:\gauss\srcnic\testes\long_memory.src;
```

16.7 runs _ test

► Objectivo

Testa a independência de uma sequência de zeros e uns.

► Formato

```
call runs_test(I);
```

► Input

I: Sequência de zeros e uns

► Output

Calcula: x(nº runs), n0(nº zeros), n1(nº uns), z p-value

► Library

```
library testes,pgraph;
```

► Fonte

```
c:\gauss\srcnic\testes\nao_param.src;
```

16.8 test _ TAR1

► Objectivo

Testa AR(p) contra TAR(p), concretamente $H_0 : \phi_{1i} = \phi_{2i}$ ($i = 0, 1, \dots, p$) no contexto do modelo

$$y_t = \begin{cases} \phi_{10} + \phi_{11}y_{t-1} + \dots + \phi_{1p}y_{t-p} + u_t & q_{t-d} \leq \gamma \\ \phi_{20} + \phi_{21}y_{t-1} + \dots + \phi_{2p}y_{t-p} + u_t & q_{t-d} > \gamma \end{cases}$$

Procedimento (Hansen, 2000):

1. obter $F_n = n(\tilde{\sigma}_n^2 - \hat{\sigma}_n^2)/\hat{\sigma}_n^2$ onde $\tilde{\sigma}_n^2$ é a variância dos erros de regressão do modelo AR (sob H_0) e $\hat{\sigma}_n^2$ resulta de (??);
2. simular u_t^* , $t = 1, \dots, n$ com distribuição i.i.d. $N(0, 1)$;
3. $y_t^* = u_t^*$;
4. fazer a regressão de y_t^* sobre $x_t = (1 \ y_{t-1} \ \dots \ y_{t-p})$ e obter $\tilde{\sigma}_n^{*2}$
5. obter $\hat{\gamma} = \arg \min_{\gamma \in \Gamma} \hat{\sigma}_n^{*2}(\gamma)$ onde $\hat{\sigma}_n^{*2}(\gamma)$ resulta da regressão de y_t^* sobre $x_t(\gamma)$;
6. obter $F_n^* = n(\tilde{\sigma}_n^{*2} - \hat{\sigma}_n^{*2})/\hat{\sigma}_n^{*2}$

7. repetir os passos 2-6 B vezes
8. valor-p = percentagem de vezes (em B) em que $F_n^* \geq F_n$.

► **Formato**

```
call test_TAR1(n,s,d,p,alfa,Fobs);
```

► **Input**

n:

s: nº de simulações (B)

d: d óptimo obtido na estimação

p: ordem do AR(p)

alfa: usar o mesmo alfa definido na estimação: ver o procedimento estima_TAR1.
Considerar, por exemplo, alfa=0.1

► **Output**

valor-p = percentagem de vezes (em B) em que $F_n^* \geq F_n$.

► **Library**

```
library est_etd,pgraph;
```

► **Fonte**

c:\gauss\srcnic\est_etd\tar.src

16.9 teste_media_binomial

► **Objectivo**

Dado $X \sim B(n, \alpha)$, testa $H_0 : E[X] = \alpha_0$ através da estatística de teste (rácio de verosimilhanças)

$$RV = -2 \log \frac{L(\alpha | H_0)}{L(\hat{\alpha})} = -2 \log \frac{\alpha^{n_1} (1-\alpha)^{n_0}}{\hat{\alpha}^{n_1} (1-\hat{\alpha})^{n_0}}$$

que, sob H_0 tem distribuição assimptótica $\chi_{(1)}^2$. $\hat{\alpha}$ é o estimador de máxima verosimilhança,

► **Formato**

```
call teste_media_binomial(I);
```

► **Input**

I: Sequência de zeros e uns

► Output

Calcula: $\hat{\alpha}$, n0 (nº de zeros), n1(nº uns), RV e p-value.

► Library

```
library testes,pgraph;
```

► Fonte

```
c:\gauss\srcnic\testes\nao_param.src;
```

16.10 testing_independence_01

► Objectivo

Testar a hipótese de X não exibir qualquer dependencia

- 1) Dado um conjunto de probabilidades, e.g. quant=.2|.4|.6|.8 , determinam-se os respectivos quantis;
- 2) Categoriza-se X numa sequências de $1, 2, \dots, m$ (m é igual ao numero de linhas de quant+1)
- 3) Seja S a sequencia. Testa-se

$$H_0 : p_{ij} = \pi_j, \quad i, j = 1, \dots, m$$

- 4) Sob H_0

$$Q = \sum_{i=1}^m \sum_{j=1}^m \frac{(n_{ij} - n_i n_j / n)^2}{n_i n_j / n} \xrightarrow{d} \chi^2_{((m-1)^2)}$$

sendo

$$\begin{aligned} n_{ij} &= \sum_{t=1}^n \mathcal{I}_{\{S_t=j, S_{t-1}=i\}} \\ n_i &= \sum_{j=1}^m n_{ij} \\ n &= \text{total obs.} \end{aligned}$$

► Formato

```
{Q,pvalue,C,expec_values,P,stat_prob}=testing_independence_01(x,quant);
```

► Input

x:

quant: (ver objectivo)

► Output

Q: Estatística Q

$$\text{pvalue: } P \left(\chi^2_{((m-1)^2)} > Q \right)$$

C: Matriz $[n_{ij}]_{i,j=1,\dots,m}$

expec_values: Matriz $[n_i n_j / n]_{i,j=1,\dots,m}$

P: Matriz $[p_{ij}]_{i,j=1,\dots,m}$, $p_{ij} = P(S_t = j | S_{t-1} = i)$

Stat_prob: probabilidades estacionárias

► Library

```
library testes;
```

► Fonte

```
c:\gauss\srcnic\testes\markov_chain.src;
```

16.11 testing_linearity_01

► Objectivo (REFORMULAR!)

Testar a hipótese de X seguir um processo linear $E(X_t | X_{t-1}) = c + \phi X_{t-1}$. Procedimentos:

1) Dado um conjunto de probabilidades, e.g. `quant=.2|.4|.6|.8`, determinam-se os respectivos quantis;

2) Categoriza-se X numa sequências de $1, 2, \dots, m$ (m é igual ao numero de linhas de `quant+1`)

3) Seja S a sequencia. Testa-se

$$E(S_t | S_{t-1} = j) - E(S_t | S_{t-1} = j - 1) = E(S_t | S_{t-1} = j - 1) - E(S_t | S_{t-1} = j - 2), \quad j = 3, \dots, m$$

(segundos acréscimos nulos).

4) A partir de 3) deduzem-se as restrições lineares associadas aos $p_{ij} = P(S_t = j | S_{t-1} = i)$.
Seja \mathbf{R} essa matrix (vector no caso $m = 3$).

5) Seja $\phi = (p_{11}, p_{12}, \dots, p_{1m}, \dots, p_{mm})'$ um vector de dimensão $m^2 \times 1$. Dado

$$\sqrt{n} (\hat{\phi} - \phi) \xrightarrow{d} N(0, \Sigma), \quad \Sigma : m^2 \times m^2$$

tem-se, sob $H_0 : \mathbf{R}\phi = \mathbf{0}$

$$n (\hat{\phi} \mathbf{R})' (\mathbf{R} \Sigma \mathbf{R}')^{-1} \phi \mathbf{R} \xrightarrow{d} \chi^2_{(linhas \mathbf{R})}$$

► Formato

```
{w,pvalue,x0,cond_mean,cond_var}=testing_linearity_01(x,quant,branquear);
```

► Input

x:

quant: (ver objectivo)

branquear: X é substituído pelos resíduos AR(1)

► Output

w:

pvalue:

x0: pontos médios de cada classe ou categoria ($x0=.5*(minc(x)|q)+.5*(q|maxc(x));$ onde q são os quantis)

cond_mean: $Px0$

cond_var: $Px0^2 - (Px0)^2$

► Library

library testes;

► Fonte

c:\gauss\srcnic\testes\markov_chain.src;

17 Teoria dos Valores Extremos [tve]

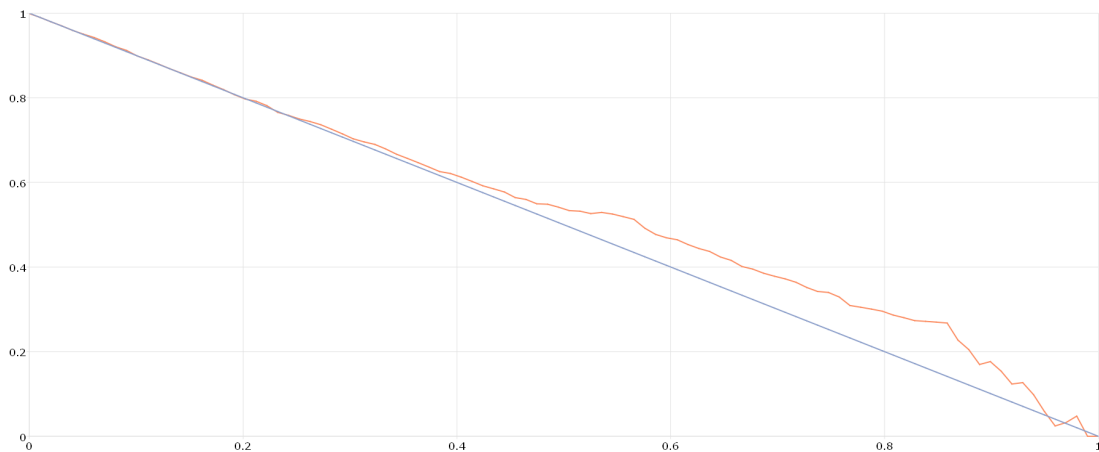
17.1 dep_measure1

► Objective

Estimate

$$Q(p) = P(Y > F_Y^{-1}(p) \mid X > F_X^{-1}(p))$$

and presents the figure



► Format

```
{q,prob}=dep_measure1(y,x,q0,figure);
```

► Input

y:

x:

q0: If q0=0 then q0 is specified as q0=seqa1(0,1,100);

figure: If figure =0 then the above graph is presented.

► Output

► Library

```
library tve;
```

► Fonte

```
c:\gauss\srcnic\tve\dependence.src
```

17.2 dep_measure2

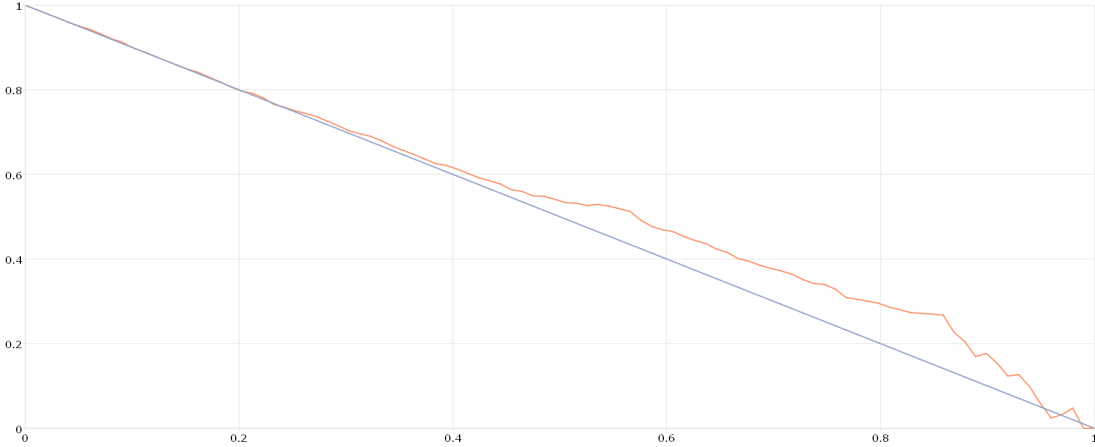
► Objective

Gives the same result as **dep_measure1**.

Estimate

$$Q(p) = P(F(T) > p | F(S) > p)$$

where $T = -1/\log(F_Y(Y))$, $S = -1/\log(F_X(X))$ and $F(s) = e^{-1/s}$ and presents the figure.



$F_Y(Y)$ and $F_X(X)$ are estimated using the empirical distribution.

Note

$$\begin{aligned} P(S \leq y) &= P(-1/\log(F_X(X)) \leq y) \\ &= P(F_X(X) \leq e^{-1/y}) \\ &= P(X \leq F_X^{-1}(e^{-1/y})) \\ &= e^{-1/y}. \end{aligned}$$

► Format

```
{q,prob}=dep_measure2(y,x,q0,figure);
```

► Input

y:

x:

q0: If q0=0 then q0 is specified as q0=seqa1(0,1,100);

figure: If figure =0 then the above graph is presented.

► **Output**

► **Library**

library tve;

► **Fonte**

c:\gauss\srcnic\tve\dependence.src

17.3 estima_GEV

► Objectivo

Estima os parâmetros λ , δ , α da Generalized Extreme Value Distribution:

$$G(x) = \exp \left\{ - \left(1 + \frac{1}{\alpha} \left(\frac{x - \lambda}{\delta} \right) \right)^{-\alpha} \right\}, \quad 1 + \frac{1}{\alpha} \left(\frac{x - \lambda}{\delta} \right) > 0$$

► Formato

```
{b_GEV,f0,grad,cov,retcode}=estima_GEV(b0,y);
```

► Input

b0: Se b0=0 => b0=2|meanc(y)|stdc(y); b0=alpha|lamda|delta

y: vetor das observações;

► Output

► Library

```
library est_etd, cml;
```

► Fonte

```
c:\gauss\srcnic\est_etd\estima_GEV.src
```

17.4 estimador_hill

► Purpose

Computes Hill's estimator:

$$\hat{\alpha}(q) = \frac{n(q)}{\sum_{t=1}^n \log(y_t/q) \mathcal{I}_{\{y_t>q\}}}, \quad n(q) = \sum_{t=1}^n \mathcal{I}_{\{y_t>q\}}$$

where $\mathcal{I}_{\{y_t>q\}} = 1$ if $y_t > q$ and $\mathcal{I}_{\{y_t>q\}} = 0$ otherwise. The estimator is computed for both tails. Under some conditions one has

$$\sqrt{n(q)}(\hat{\alpha}(q) - \alpha(q)) \xrightarrow{d} N(0, \alpha^2)$$

when $n, n(q) \rightarrow +\infty$ and $n(q)/n \rightarrow 0$. Notice that $\text{Var}(\hat{\alpha}(q)) = \alpha^2/n(q)$.

► Format

```
{nq,hill,racio_t}=estimador_hill(y,prob,mostrar);
```

► Input

y: $n \times 1$ vector

prob: scalar or vector with elements belonging to the interval $(0, 1)$. If *prob* is a scalar, one selects all observations such that

$$y_t > q_{prob}$$

where q_{prob} is a quantile. If *prob* is a vector, the procedure is repeated leading to various estimators $\hat{\alpha}(q)$ (as many as the dimension of *prob*). You may consider *prob*=.96|.97|.98; to start with.

mostrar:

► Output

nq: número de observações que efectivamente entram no cálculo do estimador.

hill: estimador

racio_t:

► Library

```
library tve;
```

► Fonte

```
c:\gauss\srcnic\tve\estimacao.src
```

17.5 reg_rank_size

► Purpose

Computes $\hat{\alpha}$ where α is the tail index from the regression

$$\log(t - \gamma) = c - \alpha \log X_{(t)} + error_t$$

where γ takes the values 0 and 1/2 and $X_{(1)} \geq X_{(2)} \geq \dots \geq X_{(n)}$ (see Gabaix, X. and R. Ibragimov (2012), Log(Rank-1/2): A Simple Way to Improve the OLS Estimation of Tail Exponents. *Journal of Business Economics and Statistics*.)

► Format

```
{alfa_gamma0,alfagamma1_2,resid,x}=reg_rank_size(y,k);
```

► Input

y: $n \times 1$ vector

k: k is such that $m = [nk]$, or $(0 < k < 1)$ (fraction of observations used)

► Output

alfa_gamma0: $\hat{\alpha}$ with $\gamma = 0$

alfagamma1_2 $\hat{\alpha}$ with $\gamma = 1/2$

resid: Residuals from the regression $\log(t - 1/2) = c - \alpha \log X_{(t)} + error_t$

x: $c - \alpha \log X_{(t)}$

► Library

```
library tve;
```

► Fonte

```
c:\gauss\srcnic\tve\estimacao.src
```

17.6 reg_1

► Purpose

Computes $\hat{\alpha}$ where α is the tail index $\bar{F}(x) = ax^{-\alpha} (1 + bx^{-\beta} + o(x^{-\beta}))$ from the regression

$$y_i = \vartheta + \alpha z_i + \varepsilon_i, \quad i = 1, 2, \dots, m - 1$$

where $y_i := \log \bar{F}_n(x_i)$, $x_i := (1 - u_i)^{-\frac{1}{\tilde{\alpha}}} x_0$, $\hat{x}_0 := \hat{F}^{-1}(1 - \kappa)$, $0 < \kappa < 1$, $\vartheta := (\alpha - 1) \log x_0$ and $z_i := \tilde{\alpha}^{-1} \log(1 - u_i)$ and $\tilde{\alpha}$ is the Hill estimator (see Nicolau and Rodrigues, 2015).

► Format

```
{alfaHill, alfaReg1}=reg_1(y,k);
```

► Input

y: $n \times 1$ vector

k: k is such that $m = [nk]$, or $(0 < k < 1)$ (fraction of observations used)

► Output

alfaHill: Hill's estimator

alfaReg1: $\hat{\alpha}$

► Library

```
library tve;
```

► Fonte

```
c:\gauss\srcnic\tve\estimacao.src
```

17.7 ParetoX_01

► Objectivo

Estima β no modelo

$$y_i | \mathbf{x}_i \sim \text{Pareto}(x_0, \alpha(\mathbf{x}_i)), \quad y_i > x_0$$
$$\alpha(\mathbf{x}_i) = \exp(\mathbf{x}'_i \boldsymbol{\beta})$$

Admite-se que $y_i | \mathbf{x}_i$ possa ter apenas caudas de Pareto. Neste caso considerar $k < 1$ (ver abaixo). Para a aba esquerda fazer a transformação $-y_i$.

► Formato

```
{b,f0,grad,cov,retcode}=ParetoX_01(y,x,k);
```

► Input

y: vetor das observações de dimensão $n \times 1$;

x: matriz das variáveis explicativas de dimensão $n \times K$, sendo K o número de variáveis explicativas. Incluir uma coluna de uns para estimar o termo independente.

k: fracção de observações a serem utilizadas na aba direita (ou esquerda) para efeitos de estimação (para a aba esquerda fazer a transformação $-y_i$). Se $y_i | \mathbf{x}_i$ tiver distribuição exacta de Pareto considerar $k = 1$ (todas as observações são usadas).

► Output

► Library

```
library cml,tve;
```

► Fonte

```
c:\gauss\srcnic\tve\estima_paretox.scr
```

17.8 ParetoX_02

► Objectivo

Estima β e σ no modelo

$$y_i | \mathbf{x}_i \sim \text{ParetoII}(x_0, \sigma, \alpha(\mathbf{x}_i)), \quad y_i > x_0$$
$$\alpha(\mathbf{x}_i) = \exp(\mathbf{x}'_i \beta)$$

A fdp é

$$f(y_i | \mathbf{x}_i) = \alpha(\mathbf{x}_i) \sigma^{-1} \left(1 + \frac{y_i - x_0}{\sigma}\right)^{-(\alpha(\mathbf{x}_i)+1)}$$

e a função log-verosimilhança é

$$L(\beta, \sigma) = \sum_i \mathbf{x}'_i \beta - \log \sigma - (\exp(\mathbf{x}'_i \beta) + 1) \log \left(1 + \frac{y_i - \min_i \{y_i\}}{\sigma}\right)$$

Admite-se que $y_i | \mathbf{x}_i$ possa ter apenas caudas de ParetoII. Neste caso considerar $k < 1$ (ver abaixo)

► Formato

{b,f0,grad,cov,retcode}=ParetoX_02(y,x,k);

► Input

y: vetor das observações de dimensão $n \times 1$; matriz das variáveis explicativas de dimensão $n \times K$, sendo K o número de variáveis explicativas. Incluir uma coluna de uns para estimar o termo independente.

k: fração de observações a serem utilizadas na aba direita para efeitos de estimação (para a aba esquerda fazer a transformação $-y_i$). Se $y_i | \mathbf{x}_i$ tiver distribuição exacta de Pareto II considerar $k = 1$ (todas as observações são usadas).

► Output

► Library

```
library cml,tve;
```

► Fonte

c:\gauss\srcnic\tve\estima_paretox.src

18 User [.]

18.1 binomial

► Purpose

$$\binom{a}{b} = \frac{a!}{b! (a-b)!}$$

► Format

v=binomial(a,b)

► Input

► Output

► Library

library não é necessário

► Source

c:\gauss\srcnic\funcoes.src

18.2 delta_kron

► Purpose

$$\delta_{ij} = \begin{cases} 1 & i = j \\ 0 & i \neq j \end{cases}$$

► Format

{delta} = delta_kron(i,j);

► Input

i: escalar

j: escalar

► Output

delta: zero ou um

► Library

library não é necessário

► **Source**

c:\gauss\srcnic\funcões.src

18.3 gradp1

► **Objectivo**

Calculates the first derivative with respect to the first argument of the function.

► **Formato**

d=gradp1(&f,x0,y0);

► **Input**

► **Output**

► **Library**

► **Fonte**

c:\gauss\srcnic\user\derivada.src

► **Example**

x = 1|2|3|4;

b= 10|20;

dx=gradp1(&a,x,b);

dy=gradp2(&a,x,b);

fn a(x,b)=b[1]+b[2]*x^2;

$$dx = diag(40, 80, 120, 160) = \begin{bmatrix} \frac{\partial a(\mathbf{x}, \mathbf{b})}{\partial x_1} & 0 & 0 & 0 \\ 0 & \frac{\partial a(\mathbf{x}, \mathbf{b})}{\partial x_2} & 0 & 0 \\ 0 & 0 & \frac{\partial a(\mathbf{x}, \mathbf{b})}{\partial x_3} & 0 \\ 0 & 0 & 0 & \frac{\partial a(\mathbf{x}, \mathbf{b})}{\partial x_4} \end{bmatrix}$$
$$dy = \begin{bmatrix} 1 & 1 \\ 1 & 4 \\ 1 & 9 \\ 1 & 16 \end{bmatrix} = \left[\frac{\partial a(\mathbf{x}, \mathbf{b})}{\partial b_1} \quad \frac{\partial a(\mathbf{x}, \mathbf{b})}{\partial b_2} \right]$$

18.4 gradp2

► **Objectivo**

Calculates the first derivative with respect to the second argument of the function.

► **Formato**

```
d=gradp2(&f,x0,y0);
```

► **Input**

► **Output**

► **Library**

► **Fonte**

```
c:\gauss\srcnic\user\derivada.sr
```

18.5 seqa1

► **Objectivo**

► **Formato**

seqa1(x0,x1,n);

► **Input**

x0: initial value

x1: last value

n: vector's dimension

► **Output**

► **Library**

► **Fonte**

c:\gauss\srcnic\user\seqa1.sr

19 Utilidades [util]

19.1 acerta_datas_2

► Objectivo

Acertar as datas de duas séries. Os valores das séries passam a reportar-se aos mesmos momentos cronológicos.

► Formato

```
{data,y1,y2}=acerta_datas_2(data1,y1,data2,y2);
```

► Input

data1: vetor das datas da primeira série.

y1: data numérica (por exemplo, 38343) associada a y1

data2: vetor das datas da segunda série.

y2: data numérica (por exemplo, 38343) associada a y2

► Output

data: vetor das datas comuns às duas séries

y1: vetor y1 reformatado (são eliminados os valores cujas datas não constem de data2)

y2: vetor y2 reformatado (são eliminados os valores cujas datas não constem de data1)

► Library

```
library util;
```

► Fonte

```
c:\gauss\srcnic\util\util1.src
```

19.2 acerta_datas_3

► Objectivo

Acertar as datas de três séries. Os valores das séries passam a reportar-se aos mesmos momentos cronológicos. ** confirmar rotina **

► Formato

```
{data,y1,y2,y3}=acerta_datas_3(data1,y1,data2,y2,data3,y3);
```

► Input

data1: vetor das datas da primeira série.

y1:

data2: vetor das datas da segunda série.

y2:

data3:

y3:

► Output

data: vetor das datas comuns às duas séries

y1: vetor y1 reformatado (são eliminados os valores cujas datas não constem de data2 e data3)

y2: vetor y2 reformatado (são eliminados os valores cujas datas não constem de data1 e data3)

y3: vetor y3 reformatado (são eliminados os valores cujas datas não constem de data1 e data2)

► Library

```
library util;
```

► Fonte

```
c:\gauss\srcnic\util\util1.src
```

19.3 acerta_datas_5

► Objectivo

Acertar as datas de 10 séries. Os valores das séries passam a reportar-se aos mesmos momentos cronológicos.

► Formato

```
{data,y}=acerta_datas_5(data1,y1,data2,y2,data3,y3,data4,y4,data5,y5);
```

► Input

data1: vetor das datas da primeira série.

y1:

data2: vetor das datas da segunda série.

y2:

data3:

y3:

etc.

► **Output**

data: vetor das datas comuns a todas as séries

y: y1~y2~y3~y4~y5

► **Library**

```
library util;
```

► **Fonte**

c:\gauss\srcnic\util\util1.src

19.4 acerta_datas_10

► **Objectivo**

Acertar as datas de 10 séries. Os valores das séries passam a reportar-se aos mesmos momentos cronológicos.

► **Formato**

```
{data,y}=acerta_datas_10(data1,y1,data2,y2,data3,y3,data4,y4,data5,y5  
,data6,y6,data7,y7,data8,y8,data9,y9,data10,y10);
```

► **Input**

data1: vetor das datas da primeira série.

y1:

data2: vetor das datas da segunda série.

y2:

data3:

y3:

etc.

► **Output**

data: vetor das datas comuns a todas as séries

y: y1~y2~y3~y4~y5~y6~y7~y8~y9~y10

► **Library**

library util;

► **Fonte**

c:\gauss\srcnic\util\util1.src

19.5 agrega_observ_media_01

► **Objectivo**

Agrega valores de frequência alta para valores de frequência mais baixa, calculando as respectivas médias.

► **Formato**

{dataF,z,c}=agrega_observ_media_01(data0,data,y,agr);

► **Input**

data0: data inicial para iniciar a agregação; se "data0=min(data);" a agregação inicia-se com o primeiro valor de *y*.

data: data numérica (por exemplo, 38343) associada a *y*

y: vetor ou matriz

agr: para dados diários, agr=5, passa para médias semanais. Se agr=20 passa para médias mensais.

► **Output**

dataF:

z: médias agregadas

c: número de observações, em cada sub período, usadas para calcular a média.

► **Library**

library util;

► **Fonte**

c:\gauss\srcnic\util\util1.src

19.6 agregga_observ_media_02

► Objectivo

Calcula médias mensais.

► Formato

```
{ym,data}=agrega_observ_media_02(y,ano,mes);
```

► Input

y: vetor ou matriz

ano:

mes:

► Output

ym: médias mensais

data: ano ~ mes

► Library

```
library util;
```

► Fonte

```
c:\gauss\srcnic\util\util1.src
```

19.7 arctanh

► Objectivo

Calcula o arco cuja a tangente hiperbólica é x, $\text{arctanh}(x)$ para $|x| < 1$.

► Formato

```
y=arctanh(x);
```

► Input

x: vetor

► Output

► Library

```
library util;
```

► **Fonte**

```
c:\gauss\srcnic\util\funcoes2.src
```

19.8 bootstrap

► **Objectivo**

Dado um vector x , de dimensão n , faz uma amostra de dimensão n com reposição de x .

► **Formato**

```
y=bootstrap(x);
```

► **Input**

x:

► **Output**

y:

► **Library**

```
library util;
```

► **Fonte**

```
c:\gauss\srcnic\util\util1.src
```

19.9 bootstrap1

► **Objectivo**

Dado um vector x , de dimensão n , faz uma amostra de dimensão n com reposição de x .

► **Formato**

```
y=bootstrap(x,n);
```

► **Input**

x:

n: dimensão do bootstrap

► **Output**

y:

► **Library**

```
library util;
```

► **Fonte**

c:\gauss\srcnic\util\util1.src

19.10 categoriza_01

► **Purpose**

Transforms the values of a matrix into categories.

► **Format**

```
S=categoriza_01(r,q);
```

► **Input**

r: vector $n \times K$

q: vector $(m - 1) \times 1$, where m is the number of categories.

► **Output**

s: vector $n \times K$

► **Exemple**

Suppose

$$r = \begin{bmatrix} 0.5 \\ -2 \\ 3 \\ 0 \end{bmatrix}, \quad q = 0$$

The data is divided into the following intervals $(-\infty, 0)$ e $(0, +\infty)$. Thus

$$S = \begin{bmatrix} 2 \\ 1 \\ 2 \\ 2 \end{bmatrix}.$$

With the same r vector, suppose now that

$$q = \begin{bmatrix} -1 \\ 1 \end{bmatrix}.$$

The data is divided into the following intervals $(-\infty, -1)$, $(-1, 1)$ e $(1, +\infty)$. Hence,

$$S = \begin{bmatrix} 2 \\ 1 \\ 3 \\ 2 \end{bmatrix}.$$

The following instructions allow to discretize a continuous variable into a variable with 10 categories according to the percentiles.

```
quant=.1|.2|.3|.4|.5|.6|.7|.8|.9;
q=quantile(r,quant);
S=categoriza_01(r,q);
```

► Library

library cm; ou library est_etd; ou library util;

► Fonte

```
c:\gauss\srcnic\est_etd\cm.src
c:\gauss\srcnic\util\util2.src
```

19.11 categoriza_02

► Objectivo

Transforma os valores de uma variável em categorias usando dummies

► Formato

```
S=categoriza_02(r,q);
```

► Input

r: vector $n \times K$

q: vector $(m - 1) \times 1$, sendo m o número de categorias.

► Output

s: vector $n \times K$

► Exemplo

Suponha-se

$$r = \begin{bmatrix} 0.5 \\ -2 \\ 3 \\ 0 \end{bmatrix}, \quad q = 0$$

As classes a considerar são $-\infty, 0$ e $(0, +\infty)$.

Logo

$$S = \begin{bmatrix} 0 & 1 \\ 1 & 0 \\ 0 & 1 \\ 0 & 1 \end{bmatrix}.$$

Com o mesmo vector r suponha-se agora

$$q = \begin{bmatrix} -1 \\ 1 \end{bmatrix}.$$

As classes a considerar são $(-\infty, -1)$, $(-1, 1)$ e $(1, +\infty)$.

Logo

$$S = \begin{bmatrix} 0 & 1 & 0 \\ 1 & 0 & 0 \\ 0 & 0 & 1 \\ 0 & 1 & 0 \end{bmatrix}$$

► Library

library cm; ou library util;

► Fonte

c:\gauss\srcnic\est_etd\cm.src

c:\gauss\srcnic\util\util2.src

19.12 com

► Objectivo

Calcular

$$\binom{n}{p} = \frac{\Gamma(n+1)}{\Gamma(p+1)\Gamma(n-p+1)}$$

► Formato

y=com(n,p);

► Input

n: escalar

p: escalar

► Output

y: escalar

► **Library**

library util;

► **Fonte**

c:\gauss\srcnic\util\funcoes2.src

19.13 convert_daily_to_monthly1

► **Objectivo**

Passar de dados diários para dados mensais (último dia do mês)

► **Formato**

y=convert_daily_to_monthly1(z);

► **Input**

z: z=timeseries~day~month~year

► **Output**

y: y=timeseries~day~month~year (apenas ultimo dia de cada mês)

► **Library**

library util;

► **Fonte**

c:\gauss\srcnic\util\util1.src

19.14 cross_corr

► **Purpose**

Estimates

$$\text{Corr}[X_{1t}, X_{2,t-p}], \dots, \text{Corr}[X_{1t}, X_{2,t}], \dots, \text{Corr}[X_{1t}, X_{2,t+p}] \quad (*)$$

where

$$\text{Corr}[X_{1t}, X_{2,t-p}] = \frac{\text{Cov}(X_{1t}, X_{2,t-p})}{\sqrt{\text{Var}[X_1]}\sqrt{\text{Var}[X_2]}}$$

► **Format**

{lags,cr} = cross_corr(x1,x2,p);

► **Input**

x1: $n \times 1$ vector of observations

x2: $n \times 1$ vector of observations

p: see "purpose"

► Output

lags: sequence $\{-p, -p+1, \dots, 0, 1, \dots, p-1, p\}$

cr: sequence (*)

► Observation

X_1 and X_2 should be two stationary whitened processes. Note that $\text{Corr}[X_{1t}, X_{2,t+p}]$ can be interpreted as $\text{Corr}[X_{1,t-p}, X_{2t}]$

► Library

```
library util,pgraph;
```

► Source

```
c:\gauss\srcnic\util\cross_corr.src
```

19.15 cumulative_chi_square_noncentral

► Objectivo

Calcular $F(x; df, \lambda) = P(X \leq x)$ onde X segue uma distribuição do qui-quadrado não central com df graus de liberdade e com parâmetro não central λ

► Formato

```
F=cumulative_chi_square_noncentral(x,df,lambda);
```

► Input

x: vetor de tipo $n \times 1$.

df: graus de liberdade

lam: parâmetro não central

► Output

F: vetor de tipo $n \times 1$.

► **Library**

library util;

► **Fonte**

c:\gauss\srcnic\util\funcoes2.src

19.16 desfas1

► Objectivo

Transformar um vector z de tipo $n \times 1$ numa matriz do tipo

$$y = \begin{bmatrix} 0 & 0 & \cdots & 0 \\ z_1 & 0 & \cdots & 0 \\ z_2 & z_1 & \cdots & 0 \\ \vdots & \vdots & \ddots & \vdots \\ z_{n-1} & z_{n-2} & \cdots & z_{n-m} \end{bmatrix}$$

► Formato

`y=desfas1 (z,m);`

► Input

z: vector de tipo $n \times 1$.

m: escalar inteiro positivo tal que $n > m$.

► Output

y: matriz de tipo $n \times m$.

► Library

`library util;`

► Fonte

`c:\gauss\srcnic\util\matrizes.src`

19.17 desfas2

► Objectivo

Transformar um vector z de tipo $n \times 1$ numa matriz do tipo

$$y = \begin{bmatrix} \cdot & \cdot & \cdots & \cdot \\ z_1 & \cdot & \cdots & \cdot \\ z_2 & z_1 & \cdots & \cdot \\ \vdots & \vdots & \ddots & \vdots \\ z_{n-1} & z_{n-2} & \cdots & z_{n-m} \end{bmatrix}$$

Nota: “.” são valores *missing*.

► Formato

```
y=desfas2(z,m);
```

► **Input**

z: vetor de tipo $n \times 1$.

m: escalar inteiro positivo tal que $n > m$.

► **Output**

y: matriz de tipo $n \times m$.

► **Library**

```
library util;
```

► **Fonte**

```
c:\gauss\srcnic\util\matrizes.src
```

19.18 desfas3

► **Objectivo**

Desfaza o vetor z de tipo $n \times 1$ de acordo com o vetor m . Por exemplo “m=1|3|5;” Vem

$$y = lagn(z, 1) \sim lagn(z, 3) \sim lagn(z, 5)$$

y é um vetor $n \times 1$ com valores *missing* no início.

► **Formato**

```
y=desfas3(z,m);
```

► **Input**

z: vetor de tipo $n \times 1$.

m: vetor de dimensão m

► **Output**

y: matriz de tipo $n \times m$.

► **Library**

```
library util;
```

► **Fonte**

```
c:\gauss\srcnic\util\matrizes.src
```

19.19 desfas4

► Objectivo

Multiplica valores desfasados de z de acordo com a matriz par. Por exemplo,

$$par = \begin{bmatrix} 1 & 0 & 0 \\ 1 & 2 & 0 \\ 2 & 3 & 5 \end{bmatrix}.$$

Dado $z[1:i]$ vem $y=z[i-1] \sim z[i-1]*z[i-2] \sim z[i-2]*z[i-3]*z[i-5] \rightarrow$ escalar

► Formato

`y=desfas4(z,m);`

► Input

z: vetor de tipo $n \times 1$.

par: matriz $k \times m$

► Output

y: vetor linha de dimensão k

► Library

`library util;`

► Fonte

`c:\gauss\srcnic\util\matrizes.src`

19.20 est_desc

► Objectivo

Calcular e apresentar as seguintes estatísticas descritivas: média, variância, *skewness* e *kurtosis*.

► Formato

`{m,var,sk,k,min,max}=est_desc(y);`

► Input

y: vetor das observações.

► Output

m: média de y.

var: variância de y.

sk: *skewness* de y.

k: *kurtosis* de y.

min: $\min_{i=1,\dots,n} \{y_i\}$

max: $\max_{i=1,\dots,n} \{y_i\}$

► Library

```
library util;
```

► Fonte

c:\gauss\srcnic\util\util1.src

► Observações

Variável global: _mostrar=1. Se _mostrar<>1 não apresenta os resultados.

19.21 erf1

► Objectivo

Calcula o $\text{erf}(x)$ para qualquer x real (GAUSS 5.0 assume $x \geq 0$)

► Formato

```
y=erf1(x);
```

► Input

► Output

► Library

```
library util;
```

► Fonte

c:\gauss\srcnic\util\funcoes2.src

19.22 erfi

► Objectivo

Calcula o $\text{erfi}(x) = \frac{2}{\sqrt{\pi}} \int_0^x e^{t^2} dt$

► Formato

y=erfi(x);

► **Input**

x: escalar

► **Output**

y: escalar

► **Library**

library util;

► **Fonte**

c:\gauss\srcnic\util\funcoes2.src

19.23 frequencias

► **Objectivo**

Calcular frequências

► **Formato**

{p,m,freq }=frequencias(x,v);

► **Input**

x: vetor das observações.

v: número de classes ou Nx1 vector, the breakpoints to be used to compute the frequencies

► **Output**

p: vetor vx1, limites inferiores e superiores em cada classe

m: vetor vx1, pontos médios de cada classe

freq: vetor vx1, frequência de cada classe

► **Observações**

$x \leq b[1]$	freq[1]
$b[1] < x \leq b[2]$	freq[2]
...
$b[v-1] < x \leq b[v]$	freq[v]

If a vector of breakpoints is specified, a final breakpoint equal to the maximum value of x will be added if the maximum breakpoint value is smaller.

► **Library**

```
library util;
```

► **Fonte**

```
c:\gauss\srcnic\util\util1.src
```

19.24 funções

Para as rotinas definidas na tabela abaixo é válido o seguinte:

► **Input**

par: vector θ .

x: vector de tipo de $k \times 1$.

► **Output**

y: vector de tipo de $k \times 1$.

► **Library**

```
library util;
```

► **Fonte**

```
c:\gauss\srcnic\util\funcoes1.src
```

Algumas Funções Úteis

Objectivo (calcular:)	Formato
$\exp \left\{ \theta_1/2 + \theta_2/2 (x - \theta_3)^2 \right\}$	y = exponencial(par,x);
$-\exp \left\{ \theta_1 + \theta_2 (x - \theta_5) \right\} + \exp \left\{ \theta_3 - \theta_4 (x - \theta_5) \right\}$	y = exponencial1(par,x);
$e^{\theta_1} (\exp \left\{ -\theta_2 (x - \theta_4) \right\} - \exp \left\{ \theta_3 (x - \theta_4) \right\})$	y = exponencial2(par,x);
$\exp \left\{ \theta_1/2 x - \theta_2 ^3 \right\}$	y = exponencial3(par,x);
$\theta_1 + \theta_2 x + \theta_3 x^2 + \theta_4/x$	y=func1(par,x);
$\theta_1 + \theta_2 x + \theta_3 x^{\theta_4}$	y=func2(par,x);
$\sqrt{\theta_1 + \theta_2 x + \theta_3 x^2}$	y = geral(par,x);
$\theta_1 + \theta_2 x$	y = linear(par,x);
$\theta_1 (\theta_2 - x)$	y = linear1(par,x);
$x (\theta_1 - \theta_2 x)$	y = logis(par,x);
$\theta_1 x ^{\theta_2}$	y = potencia(par,x), y=potencial(par,x)
$\theta \sqrt{x}$	
$\sqrt{\theta_1 + \theta_2 (x - \theta_3)^2}$	y = quadratica(par,x);
$\sqrt{\theta_1 + \theta_2 x}$	y=sqrtlinear(par,x);

Por exemplo,

```
proc linear1(a,x);
local z;
z=a[1]*(a[2]-x);
retp(z);
endp;
```

19.25 ierf

► Objectivo

Calcula o inverso da função erf (x)

► Formato

```
y=ierf(x);
```

► Input

► Output

► Library

```
library util;
```

► Fonte

```
c:\gauss\srcnic\util\funcoes2.src
```

19.26 cdf_logistic

► Objective

Calculates

$$G(x) = \frac{1}{1 + e^{-\gamma(x-m)}}.$$

Note: if $X \sim Logistic$ then $E(X) = m$ and $\text{Var}(X) = \pi / (3\gamma^2)$

► Formato

y=cdf_logistic(x,m,g);

► Input

x:

m:

s:

► Output

► Library

library util;

► Fonte

c:\gauss\srcnic\util\funcoes2.src

19.27 lngammaif

► Objective

Calculates $\log(\gamma(a + bi))$ where $i = \sqrt{-1}$ using the formula (11), page 697 of Eic Weisstein (Concise encyclopedia of Mathematics)

► Formato

y=lngammaif(a,b,n);

► Input

a:

b:

n: precision. The higher is n the greater is the precision (choose $n > 100000$)

► **Output**

► **Library**

library util;

► **Fonte**

c:\gauss\srcnic\util\funcoes2.src

19.28 max_mensal

► **Objective**

Calculates the maximum of month from daily observations and registers the periods at which the maximums are observed.

► **Format**

{max,tmax}=max_mensal(x,mes,d);

► **Input**

x: daily observations

mes: month of the year

d: step of discretization

► **Output**

max:

tmax: periods at which the monthly maximums are observed

► **Library**

library util;

► **Fonte**

c:\gauss\srcnic\util\util3.src

19.29 mod_bessel_1

► **Objectivo**

► **Formato**

y=mod_bessel_1(v,z);

► **Input**

► **Output**

► **Library**

library util;

► **Fonte**

c:\gauss\srcnic\util\funcoes2.src

19.30 momentos_moveis

► **Objectivo**

Calcular $m_t(k) = \frac{1}{h} \sum_{i=t-h+1}^t X_i$ e $\sigma(k) = \sqrt{\frac{1}{h-1} \sum_{i=t-h+1}^t (X_i - m_t(k))^2}$ para $k = 0, 1, \dots, n - h$.

► **Formato**

{m,s}=momentos_moveis(x,h);

► **Input**

x: vetor das observações de X (de tipo $n \times 1$).

h: valor de alisamento $1 < h < n$.

► **Output**

m: vetor das médias móveis de tipo $n \times 1$ (primeiros $h - 1$ valores são missings).

s: vetor dos desvios-padrão móveis de tipo $n \times 1$ (primeiros $h - 1$ valores são missings).

► **Library**

library util;

► **Fonte**

c:\gauss\srcnic\util\util1.src

19.31 rnd_int

► **Objectivo**

Simula um inteiro, com distribuição uniforme discreta, no intervalo $[a, b]$

► **Formato**

```
e=rnd_int(a,b);
```

► **Input**

a: escalar

b: escalar maior do que a

► **Output**

e:

► **Library**

```
library util;
```

► **Fonte**

```
c:\gauss\srcnic\util\util1.src
```

19.32 select1

► **Objectivo**

Selecciona aleatoriamente um valor do vector x

► **Formato**

```
y=select1(x);
```

► **Input**

x: vector

► **Output**

y:

► **Library**

```
library util;
```

► **Fonte**

```
c:\gauss\srcnic\util\util1.src
```

19.33 triang

► Objectivo

Transformar vectores em matrizes $M = [m_{ij}]$ com zeros nos elementos $i < j$.

► Formato

`x = triang(vector,c);`

► Input

vector: vetor de tipo $k \times 1$

colunas: escalar inteiro positivo tal que $k \geq c$

► Output

x: matriz de tipo $k \times c$

► Exemplo

`vector = {5,2,7};`

`x = triang(vector,3);`

`x` é igual a

$$x = \begin{bmatrix} 5 & 0 & 0 \\ 2 & 5 & 0 \\ 7 & 2 & 5 \end{bmatrix}.$$

► Fonte

`c:\gauss\srcnic\util\matrizes.src`

19.34 var_dummy

► Objectivo

Criar uma variável dummy do tipo

0	
1	→ inicio = 2
0	
0	
1	→ periodo = 3
0	
0	
1	→ periodo = 3
0	
0	

► **Formato**

```
d=var_dummy(n,inicio,periodo);
```

► **Input**

n: numero de linhas (de tipo $n \times 1$).

inicio: ver exemplo

periodo: ver exemplo

► **Output**

d: ver exemplo

s:

► **Library**

```
library util;
```

► **Fonte**

```
c:\gauss\srcnic\util\util1.src
```

20 Value at Risk [var]

20.1 hybrid_approach_01

► Objectivo

Calcula o VaR de acordo com a metodologia de Boudoukh, Richardson e Whitelaw (1998).

► Formato

$\{q\} = \text{hybrid_approach_01}(x, \text{janela}, \text{lam}, \text{ordem});$

► Input

x: vetor das observações do processo.

janela: Escalar

lam: Escalar.

ordem: Escalar. Ordem do quantil

► Output

q: vetor de dimensão igual a x e que corresponde ao quantis da ordem fixada em "ordem". As primeiras observações (de 1 a janela) são "missings".

► Library

```
library var;
```

► Fonte

c:\gauss\srcnic\var\met_np.src

21 Outros [...]

21.1 Qreg

► Objectivo

Linear quantile regression.

► Formato

{beta,u_plus,u_minus} = Qreg(Y,X,tau,w);

► Input

y: N*1 vector, dependent variable

x: N*K matrix, independent variables

tau: M*1 vector, quantile levels

w: Nx1 vector, containing weights – or – 0 for uniform weights

► Output

beta: (K+1)*M matrix, estimated parameters

u_plus: N*M matrix, positive part of residuals

u_minus: N*M matrix, negative part of residuals

► Library

library qreg;

► Observações

** Globals:

** __altnam - vector, variable names (default = 0)

** __output - scalar, (default = 1)

** 1 - print the statistics

** 0 - no printing

** _Qreg_algr - scalar, LP algorithm (default = 1)

** 1 for the interior-point method

** 2 for the QP method

Ver também o procedimento $q = \text{localQreg}(Y, X, \tau, x_{\star})$; Purpose: Local quantile regression.

Authors: D. Jacomy, J. Messines and T. Roncalli

http://gro.creditlyonnais.fr/content/rd/home_gauss.htm

Ver o manual em c:\...\srcqreg\

► **Fonte**

c:\...\srcqreg\qreg.src

21.2 kpss

► **Objectivo**

Compute the KPSS nu and tau statistics.

Kwiatkowski, Phillips, Schmidt and Shin [1992], Testing the null hypothesis of stationarity against the alternative of a unit root: how sure are we that economic series have a unit root, Journal of Econometrics, 54, 159-178

► **Formato**

{nu,tau} = kpss(x,order);

► **Input**

x: Nobs*1 vector, data.

order: scalar, maximum lag tested.

► **Output**

nu: (order+1)*1 vector, the NU statistic values.

order: (order+1)*1 vector, the TAU statistic values.

► **Library**

library tsm;

► **Fonte**

c:\...\srctsm\kpss.src

21.3 gera_AR

► **Objectivo**

```

*
*** gera_AR(x,const,ordem_x,par_x,y0,par_y,sigma,s);
***

sigma=-999 —>não existe componente aleatória

-> se p>=q,
-> para t=1,...,p
    y(1)=y0[1]
    ...
    y(p)=y0[p]
-> para t=p+1,...,n
    y(t)=par_x[1]*x(t-ordem_x[1])+...+par_x[q]*x(t-ordem_x[q])+
        +par_y[1]*y(t-1)+...+par_y[p]*y(t-p)+sigma*rndn(n,s)
-> se q>p
-> para t=1,...,q
    y(1)=0
    ...
    y(q-p)=0
    y(q-p+1)=y0[1]
    ...
    y(q)=y0[p]
-> para t=q+1,...,n
    y(t)=par_x[1]*x(t-ordem_x[1])+...+par_x[q]*x(t-ordem_x[q])+
        +par_y[1]*y(t-1)+...+par_y[p]*y(t-p)+sigma*rndn(n,s)

```

nota: neste último caso apresenta-se apenas $y(t)$ para $t=q-p+1, \dots, n$

*/

► Formato

`y=gera_AR(x,const,ordem_x,par_x,y0,par_y,sigma,s);`

► Input

► Output

► Library

?

► Fonte

22 Anexos

22.1 Gráficos pgraph

EXEMPLO:

```
graphset;
begwind;
_pdate=;
fonts ("simplex complex microb simgrma");
window(3,2,0);
_ptitlht=.3; /* dimensão titulos*/
_pnumht=.2; /* dimensão dos valores dos eixos */
_plegctl={2,5,.5,3.6}; /* dimensão das legendas e posição*/
title ("Condit. Density given x]0[=-1 (\204\68 \201= 0.5)");
_plegstr="True Dens. \000"\n
"Proposed Dens. n000"\n
"Euler Dens. \000";
xy(x[,1],x[,2:4]);
nextwind;
title ("Condit. Distribution Function given x]0[=-1 (\204\68 \201= 0.5)");
_plegstr="True DF \000"\n
"Proposed DF \000"\n
"Euler DF \000";
xy(x[,1],x[,5:7]);
nextwind;
title ("Condit. Density given x]0[=0 (\204\68 \201= 0.5)");
_plegstr="True Dens. \000"\n
"Proposed Dens. \000"\n
"Euler Dens. \000";
xy(x[,8],x[,9:11]);
```

```

nextwind;

title ("Condit. Distribution Function given x]0[=0 (\204\68 \201= 0.5)");
_plegstr="True DF \000"\

"Proposed DF \000"\

"Euler DF \000";

xy(x[.,8],x[.,12:14]);

nextwind;

title ("Condit. Density given x]0[=1 (\204\68 \201= 0.5)");
_plegstr="True Dens. \000"\

"Proposed Dens. \000"\

"Euler Dens. \000";

xy(x[.,15],x[.,16:18]);

nextwind;

title ("Condit. Distribution Function given x]0[=1 (\204\68 \201= 0.5)");
_plegstr="True DF \000"\

"Proposed DF \000"\

"Euler DF \000";

xy(x[.,15],x[.,19:21]);

endwind;

```

Comandos uteis:

```

*****
min=0;max=20;step=2;minordiv=4;xtics(min,max,step,minordiv);

min=85;max=135;step=5;minordiv=4;ytics(min,max,step,minordiv);

*****
_ plwidth=10|1|2;
_ pltyle=6|1|1;

INSERIR TEXTO

_pmsgstr ="x]1\000 x]0\000 x]0";
_pmsgctl = { 2 0.1 .2 0 1 1 0,
```

```

2 -0.9 .2 0 1 1 0,
2 -1.9 .2 0 1 1 0};

INSERIR CIRCULO NA PRIMEIRA SERIE (de 4)

_pltype=1|6|6;
_plctrl=1|0|0|0;
_pstype=8;

PASSAR NUM CICLO FOR TITULO STRING PARA COMANDO TITLE
graphset;

_ptek = "temp.tkf";

No fim:

tkf2eps("temp.tkf",nome[1,serie]$+".eps");

```

22.2 Gráficos plot

22.2.1 Hip 1

```

struct plotControl myPlot; // Declare the structure

myPlot = plotGetDefaults("xy"); // Initialize the structure

plotlayout(1,2,1);

plotSetXLabel(&myPlot, "n", "verdana",15, "black");

plotSetYLabel(&myPlot, "MISE", "verdana",15, "black");

plotSetTicLabelFont(&myPlot, "verdana", 15);

plotxy(myplot,x,y);

plotlayout(1,2,2);

plotxy(myplot,t,y);

plotClearLayout();

```

22.2.2 Hip 2

```

struct plotControl myPlot; // Declare the structure

myPlot = plotGetDefaults("xy"); // Initialize the structure

plotSetLegend(&myplot,"off");

plotlayout(2,2,1);

```

```

plotSetXLabel(&myPlot,"x");
plotSetYLabel(&myPlot,);
plotSetTitle( &myPlot, "Conditional Mean");
plotxy(myplot,x,mean(par1,x)^~x);
plotlayout(2,2,2);
plotSetTitle( &myPlot, "Cond. Mean Increment");
plotxy(myplot,x,(-x+mean(par1,x))^~zeros(rows(x),1));
plotCustomLayout(0.1,0,.8,.5);
plotSetTitle( &myPlot, "Simulated Paths - Random Walk Vs. ESTAR");
plotSetXLabel(&myPlot,"time");
plotSetLegend(&myplot,"ESTAR"|"R.Walk");
plotxy(myplot,t,y^~z);
plotClearLayout();

```